Modale Geometrodynamik

Eine operatorbasierte Vereinheitlichung von Bewegung, Elektrodynamik und Gravitation im Rahmen der Relativitätstheorien

Wissenschaftliche Abhandlung

Klaus H. Dieckmann



September 2025

Metadaten zur wissenschaftlichen Arbeit

Titel: Modale Geometrodynamik

Untertitel: Eine operatorbasierte Vereinheitlichung von Bewegung,

Elektrodynamik und Gravitation im Rahmen der

Relativitätstheorien

Autor: Klaus H. Dieckmann

Kontakt: klaus_dieckmann@yahoo.de

Phone: 0176 50 333 206

ORCID: 0009-0002-6090-3757

DOI: 10.5281/zenodo.17243869

Version: September 2025 **Lizenz:** CC BY-NC-ND 4.0

Zitatweise: Dieckmann, K.H. (2025). Modale Geometrodynamik

Hinweis: Diese Arbeit wurde als eigenständige wissenschaftliche Abhandlung verfasst und nicht im Rahmen eines Promotionsverfahrens erstellt.

Abstract

Diese Arbeit stellt den theoretischen Rahmen der *Modalen Geometrodynamik* vor, eine operatorbasierte Neufassung der klassischen Physik, die Bewegung, Elektrodynamik und Gravitation im Rahmen der Relativitätstheorien kohärent vereinheitlicht. Der zentrale Paradigmenwechsel besteht darin, Bewegung nicht als punktförmige Trajektorie, sondern als evolutionären Zustand in einem dynamischen *Modenraum* zu verstehen, repräsentiert durch einen *Modenvektor* \mathbf{u} . Die Dynamik wird durch die fundamentale operatorwertige Gleichung $\mathbf{V}(\mathbf{u}) = \dot{\mathbf{d}} \cdot \kappa(\mathbf{u})$ gesteuert, wobei \mathbf{V} der Bewegungsoperator, $\dot{\mathbf{d}}$ der Dynamikgenerator und κ der Kopplungsoperator ist.

Parallel dazu wird das elektromagnetische Feld als fundamentaler, komplexer Feldoperator $\mathbf{F} = \mathbf{E} + ic\mathbf{B}$ reformuliert. Dieser Operator vereint die Maxwell-Gleichungen in einer einzigen, Lorentz-kovarianten Wellengleichung und kodiert die Dualität von elektrischem und magnetischem Feld intrinsisch in seiner komplexen Struktur.

Die Gravitation wird nicht als geometrische Krümmung der Raumzeit, sondern als dynamischer Fluss in einem Medium mit "Raum-Zeit-Widerstand" interpretiert. Dies führt zu einer $modalen~Metrik~g_{\mu\nu}(x,\mathbf{u})$, die explizit vom Bewegungszustand des Testkörpers abhängt und somit innere Freiheitsgrade wie Spin oder Rotation in die Gravitationsdynamik integriert. Dieser Ansatz löst künstliche Trennungen der modernen Physik auf, etwa zwischen Teilchen und Feldern oder zwischen äußeren und inneren Freiheitsgraden, und bietet eine einheitliche, auf Operatoren basierende Beschreibung, die sowohl analytisch als auch numerisch verifiziert wird. Die Arbeit schließt mit einer Skizze zur kanonischen Quantisierung dieses Formalismus, die einen vielversprechenden Weg zur Lösung des Renormierbarkeitsproblems der Quantengravitation aufzeigt.

Inhaltsverzeichnis

| Ι | GR | UND | LAGEN UND MOTIVATION | 1 |
|----|--|---|--|----|
| 1 | Einleitung | | | |
| | 1.1 Die ungelösten Spannungen in der modernen Physik | | | |
| | 1.2 | | gung als Modus, Felder als Operatoren | 3 |
| | | 1.2.1 | • | 3 |
| | | 1.2.2 | | |
| | | | <i>ic</i> B | 3 |
| | | 1.2.3 | Die Synthese: Moden und Felder im gemeinsamen Opera- | |
| | | | torraum | 4 |
| | 1.3 | Ziel u | nd Aufbau der Arbeit | 4 |
| | 1.4 | Einste | eins Vermächtnis und seine Grenzen | 4 |
| | | 1.4.1 | Die SRT und die getrennte Behandlung von Feldern | 5 |
| | | 1.4.2 | Die ART und die Ignoranz innerer Freiheitsgrade | 5 |
| | | 1.4.3 | Die fehlende Vereinheitlichung mit der Elektrodynamik | 6 |
| | | 1.4.4 | 0 01 | |
| | | | punkt | 6 |
| | 1.5 | 8 8 8 1 1 1 1 1 1 1 1 1 1 1 1 1 1 1 1 1 | | 7 |
| | | 1.5.1 | | 7 |
| | | 1.5.2 | Felder als Operatoren: Der komplexe Feldoperator $\mathbf{F} = \mathbf{E} +$ | |
| | | | <i>ic</i> B | 7 |
| | | 1.5.3 | Die Synthese: Moden und Felder im gemeinsamen Opera- | _ |
| | | 4.5.4 | torraum | 8 |
| | 1.0 | 1.5.4 | | 8 |
| | 1.6 | Ziei u | and Aufbau der Arbeit | 9 |
| | | ED DY | WALKE OF THE PARTY | 40 |
| II | D. | ER DY | NAMISCHE MODENRAUM | 12 |
| 2 | Mat | thema | tische Struktur des Modenraums | 13 |
| | 2.1 | Der M | Modenvektor u : Definition und physikalische Interpretation . | 13 |
| | | 2.1.1 | Mathematische Definition des Modenvektors | 13 |

| | | 2.1.2 | Physikalische Interpretation: Bewegung als Modus- | |
|---|-----|----------|---|----|
| | | | Zustand | 14 |
| | | 2.1.3 | Beispiel: Modenvektor für ein geladenes, rotierendes Teil- | |
| | | | chen | 15 |
| | | 2.1.4 | Vergleich mit etablierten Formulierungen | 16 |
| | | 2.1.5 | Operatoren der Bewegung | 16 |
| | | 2.1.6 | Algebraische Eigenschaften | 17 |
| | | 2.1.7 | 1 | 17 |
| | 2.2 | | lgemeinerte Impuls- und Energiegrößen im Modenraum | 18 |
| | | 2.2.1 | Der verallgemeinerte Impuls | 18 |
| | | 2.2.2 | Die verallgemeinerte Energie | 19 |
| | | 2.2.3 | Erhaltungsgrößen und Symmetrien | 19 |
| | | 2.2.4 | Drehimpuls und Spin als modale Observablen | 20 |
| | | 2.2.5 | Zusammenfassung | 20 |
| 3 | Bew | egung | gsgleichungen und Kopplung von Modi | 21 |
| | 3.1 | | indamentale Gleichung: $\mathcal{V}(\mathbf{u}) = \dot{d} \cdot \kappa(\mathbf{u}) \cdot \dots \cdot \dots \cdot \dots$ | 21 |
| | | 3.1.1 | Interpretation der Operatoren | |
| | | 3.1.2 | Beispiele | |
| | | 3.1.3 | Geladenes Teilchen im homogenen elektrischen Feld | |
| | | 3.1.4 | Eigenschaften der Operatorstruktur | 23 |
| | 3.2 | | iele: Translation, Rotation, Schwingung als Moden | |
| | | 3.2.1 | | 23 |
| | | 3.2.2 | Rotation: Starrer Körper (eben) | 24 |
| | | 3.2.3 | Schwingung: Harmonischer Oszillator (1D) | 24 |
| | | 3.2.4 | | 24 |
| | 3.3 | Moda | le Wechselwirkung: Wie beeinflusst Rotation die Translation? | 25 |
| | | 3.3.1 | Physikalisches Modell: Rotierender Arm mit Massepunkt . | 25 |
| | | 3.3.2 | Operator definition | 26 |
| | | 3.3.3 | Interpretation | 26 |
| | | 3.3.4 | | 27 |
| 4 | Sne | zielle i | Relativitätstheorie im Modenraum | 30 |
| • | | | ntz-Kovarianz der Modenoperatoren | |
| | 1.1 | 4.1.1 | | |
| | | 4.1.2 | Kovarianz der Operatorgleichung | |
| | | 4.1.3 | Beispiel: Freies relativistisches Teilchen | 31 |
| | | 4.1.4 | Einbeziehung des Spin-Modus | 32 |
| | | 4.1.5 | Bedeutung für die Theorie | 32 |
| | | 4.1.6 | Numerische Verifikation der Lorentz-Kovarianz | 32 |
| | 4.2 | | itung der klassischen SRT als Projektion des Modenraums | 33 |
| | 4.2 | | ile: Natürliche Einbeziehung von Spin und inneren Freiheits- | JJ |
| | T.J | grade | | 34 |
| | | ELAUF | | |

| | | 4.3.1 | Freiheitsgraden | 35 | |
|----|------------------------------|---------|--|----------|--|
| II | I D | ER K | OMPLEXE FELDOPERATOR | 38 | |
| 5 | Der | Feldo | perator F = E + icB | 39 | |
| | 5.1 | Herlei | itung aus den Maxwell-Gleichungen | 40 | |
| | | 5.1.1 | Hinweis zur Wellengleichung zweiter Ordnung | | |
| | 5.2 | Physil | kalische Interpretation: Warum c ? Warum i ? | | |
| | | 5.2.1 | | | |
| | | | und fundamentale Skala | 41 | |
| | | 5.2.2 | Die Rolle der imaginären Einheit i: Kodierung der Dualität | | |
| | | | und der Raumzeit-Symmetrie | 42 | |
| | | 5.2.3 | Synthese: c und i als fundamentale Parameter der moda- | | |
| | | | len Feldalgebra | 43 | |
| | 5.3 | | ianten und Erhaltungsgrößen von F | 43 | |
| | | 5.3.1 | Lorentz-Invarianten: Die fundamentalen Skalare von F | 43 | |
| | | 5.3.2 | Erhaltungsgrößen: Energie, Impuls und Drehimpuls | 44 | |
| | | 5.3.3 | Zusammenfassung: F als Träger von Symmetrie und Erhal- | | |
| | | | tung | 45 | |
| 6 | Lorentz-Transformation von F | | | | |
| | 6.1 | Analy | tische Herleitung der Transformationsmatrix $\Lambda(\mathbf{v})$ | 46 | |
| | 6.2 | | rische Verifikation in Python (mit | | |
| | | | y) | 48 | |
| | 6.3 | _ | eich mit klassischer Formulierung | | |
| 7 | TA701 | l and m | a amily and IAIs shook sinkana | 50 | |
| ′ | 7.1 | | namik und Wechselwirkung 'ellengleichung $\Box \mathbf{F} = 0$, analytische Lösungen | 50 50 | |
| | 7.1 | | Herleitung aus den Maxwell-Gleichungen | 51 | |
| | | | Analytische Lösungen: Ebene Wellen | | |
| | | 7.1.2 | Modalinterpretation: F als schwingender Modus | | |
| | 7.2 | | erische Simulation der Wellenausbreitung (1D/2D) | 53 | |
| | 7.2 | 7.2.1 | 1D-Simulation: Ausbreitung eines ruhenden gaußförmigen | 33 | |
| | | 7.2.1 | Impulses | 53 | |
| | | 7.2.2 | 2D-Simulation: Zirkulare Ausbreitung einer ruhenden punkt | | |
| | | 7.2.2 | förmigen Anregung | | |
| | | 7.2.3 | Zusammenfassung und Verifikation | 55 | |
| | 7.3 | | ung an Quellen: $\Box \mathbf{F} = \mathbf{J}$ | 57 | |
| | , .0 | 7.3.1 | Exakte und effektive Quellform | 57 | |
| | | 7.3.2 | Hinweis zur Einheitenwahl | 58 | |
| | | 7.3.3 | Physikalische Interpretation der Quellenkoppelung | 58 | |
| | | 7.3.4 | Erhaltungssätze und Konsistenzbedingungen | 58 | |
| | | 7.3.5 | Numerische Behandlung und Ausblick | | |
| | | | | | |

| | | 7.3.6 Numerische Simulation: Oszillierender Dipol in 1D | 59 |
|-----------|------|--|----------|
| IV | M | IODALE GRAVITATION | 62 |
| 8 | | der Geometrie zur Modalität: $\mathbf{g}_{\mu u}(\mathbf{x},\mathbf{u})$ | 63 |
| | 8.1 | Gravitation als dynamischer Fluss in einem | |
| | | Widerstandsmedium | 63 |
| | | 8.1.1 Vergleich mit der Allgemeinen Relativitätstheorie8.1.2 Grundlegende Zuordnung: Was ist der "Gravitationsfluss"? | 63 64 |
| | | 8.1.3 Interpretation des "Raum-Zeit-Widerstands" Z_q | 65 |
| | | 8.1.4 Nichtlineare Korrekturen und ART-Effekte | 66 |
| | 8.2 | Motivation: Warum die Metrik vom Bewegungsmodus abhängen | |
| | 0.0 | sollte | 66 |
| | 8.3 | Metrik | 67 |
| | | 8.3.1 Mathematische Fundierung der modalen Metrik | 67 |
| | 8.4 | Beispiel: Spin-abhängige Raumzeitkrümmung | 68 |
| | 8.5 | Experimentelle Tests und quantitative Vorhersagen | 68 |
| | 0.5 | 8.5.1 Spin-abhängige Bahnabweichung | 69 |
| | | 8.5.2 Modifizierte Gravitationswellenphase | 69 |
| | | 8.5.3 Vergleich mit bestehenden Experimenten | 70 |
| | 8.6 | Das Äquivalenzprinzip im modalen Rahmen | 70 |
| 9 | Geo | dätische Bewegung im modalen Raum | 72 |
| | | Verallgemeinerte Geodätengleichung: $\mathbf{D}\mathcal{V}/\mathbf{D}\mathbf{s} = 0$ als stationärer | |
| | | Fluss | 72 |
| | 9.2 | Numerische Verifikation: Simulation der | |
| | | Merkur-Periheldrehung | 72 |
| | 9.3 | Vergleich mit klassischer ART: Abweichungen, Vorhersagen | 74 |
| 10 | Der | universelle Energie-Impuls-Operator | 76 |
| | 10.1 | Vereinheitlichung von Materie und Feld: Der universelle Energie- | |
| | | Impuls-Operator | 76 |
| | | 10.1.1 Der Flussoperator: Die universelle Grundgröße | 76 |
| | 10.2 | 10.1.2 Der Energie-Impuls-Tensor als messbare Manifestation Kopplung an die modale Metrik: Die Geometrie als dynamisches | 77 |
| | | Gleichgewicht | 77 |
| | | 10.2.1 Die Grundidee: Geometrie aus Dynamik | 77 |
| | | 10.2.2 Eine dynamische Feldgleichung | 78 |
| | | 10.2.3 Die Rolle des Modenvektors u | 78 |
| | 10.3 | Die "modifizierte Einstein-Gleichung": | |
| | | | 78 |
| | 10.4 | $\mathbf{G}_{\mu\nu}(\mathbf{u}) = 8\pi\mathbf{T}_{\mu\nu}(\mathbf{F},\mathcal{V})$ | 79 |

| V | PE | RSPEKTIVEN UND AUSBLICK | 80 | | |
|-----------|-------------|--|-----|--|--|
| 11 | Qua | ntisierung und Brücke zur Quantengravitation | 81 | | |
| | 11.1 | Kanonische Quantisierung von \mathbf{F} und \mathcal{V} | 81 | | |
| | | Kommutator-Algebra: Photonen und "Modal-Teilchen" Möglichkeit zur Lösung des Renormierbar- | | | |
| | | keitsproblems | 83 | | |
| 12 | | ammenfassung, Diskussion und Ausblick | 85 | | |
| | | Kernresultate im Überblick | 85 | | |
| | 12.2 | Vergleich mit anderen Ansätzen (Stringtheorie, LQG, Twistoren, | | | |
| | 400 | etc.) | | | |
| | 12.3 | Offene Fragen | 87 | | |
| V] | A : | nhang | 89 | | |
| A | Exp | erimentelle Rekonstruktion der modalen Operatoren | 90 | | |
| | A.1 | Allgemeines Rekonstruktionsverfahren | 90 | | |
| | | Rekonstruktion des Dynamikgenerators \dot{d} | | | |
| | | Rekonstruktion des Kopplungsoperators $\kappa(u)$ | | | |
| | A.4 | Rolle der numerischen Verifikation | 92 | | |
| В | Python-Code | | | | |
| | B.1 | Modale Kopplung Rotation-Translation, | | | |
| | | (Abschn. 3.3.4) | | | |
| | | Lorentz-Kovarianz, (Abschn. 4.1.6) | | | |
| | | UV-Regularisierung, (Abschn. 11.3) | | | |
| | | Kovarianz mit Spin und inneren Freiheitsgraden, (Abschn. 4.3.1) . | 102 | | |
| | B.5 | Simulation der Lorentztransformation, (Abschn. 6.2) | 107 | | |
| | B.6 | Simulation der Wellenausbreitung, | 107 | | |
| | ь.0 | (Abschn. 7.2.1) | 110 | | |
| | B 7 | Wellenausbreitung 1d Dipolquelle, | 110 | | |
| | D.7 | (Abschn. 7.3.6) | 116 | | |
| | B.8 | Merkur-Periheldrehung, (Abschn. 9.2) | 120 | | |
| | B.9 | Merkur-Spin-Kopplung (Animation), | 120 | | |
| | 2.0 | (Abschn. 9.2) | 123 | | |
| | B.10 | Modale Kopplung der Rotation und | | | |
| | | Translation (Animation), (Abschn. 2.1.2) | 130 | | |
| | B.11 | Lorentz-Transformation: Kovarianz | | | |
| | | (Animation), (Abschn. 4) | 133 | | |
| | B.12 | Wellenausbreitung eines ruhenden Gauß- | | | |
| | | Impulses (Animation), (Abschn. 7.2) | 135 | | |

| B.13 | Zirkulare Ausbreitung einer Anregung | |
|-------|---|-----|
| | (Animation), (Abschn. 7.2.2) | 138 |
| B.14 | Oszillierender Dipol in 1D (Animation), | |
| | (Abschn. 7.3.6) | 142 |
| B.15 | Kovarianz mit Spin (Animation), | |
| | (Abschn. 4.3) | 146 |
| Liter | ratur | 152 |

Teil I GRUNDLAGEN UND MOTIVATION

Kapitel 1

Einleitung

1.1 Die ungelösten Spannungen in der modernen Physik

Trotz ihrer ungeheuren empirischen Erfolge ruhen die beiden Säulen der modernen Physik, die Quantenfeldtheorie und die Allgemeine Relativitätstheorie, auf tiefgreifend unterschiedlichen ontologischen und mathematischen Grundlagen. Diese Diskrepanz manifestiert sich nicht nur im Scheitern einer konsistenten Quantengravitation, sondern bereits auf klassischer Ebene in einer Reihe von künstlichen Trennungen, die das theoretische Gebäude fragmentieren:

- Teilchen und Felder werden als getrennte Entitäten behandelt, obwohl die Quantenfeldtheorie lehrt, dass Teilchen Anregungen von Feldern sind. In der klassischen Mechanik wird ein Elektron als Punktmasse mit extern angehefteter Ladung modelliert, während das elektromagnetische Feld als kontinuierliches Medium im Hintergrund existiert.
- Innere und äußere Freiheitsgrade, wie Spin, Rotation oder Schwingungsmoden, werden in der Regel ad hoc hinzugefügt, statt aus einer einheitlichen dynamischen Struktur abgeleitet zu werden. Der Spin eines Teilchens etwa erscheint in der klassischen Allgemeinen Relativitätstheorie (ART) als starrer Vektor, der paralleltransportiert wird, ohne die Geometrie selbst zu beeinflussen.
- Geometrie und Dynamik sind in der ART zwar verknüpft, doch die Raumzeitgeometrie bleibt passiv gegenüber der Art der Bewegung, die in ihr stattfindet. Ein rotierender Körper erfährt dieselbe Metrik wie ein nichtrotierender, obwohl seine Trägheit und sein Drehimpuls seine Wechselwirkung mit Gravitationsfeldern fundamental bestimmen. Diese Trennungen sind nicht bloß ästhetische Mängel. Sie verhindern eine kohären-

te Beschreibung komplexer Systeme und erschweren den konzeptionellen Zugang zur Quantengravitation, da bereits die klassische Grundlage fragmentiert ist.

Dies ist der Ausgangspunkt der *Modalen Geometrodynamik*, einer operatorbasierten Neufassung der klassischen Physik, die den Weg zu einer tieferen Synthese von Mechanik, Elektrodynamik und Gravitation weist. Im Gegensatz zu Versuchen, die Natur durch immer komplexere Geometrien zu beschreiben, kehrt dieser Ansatz zur klassischen Eleganz zurück und erweitert sie durch eine neue mathematische Sprache: die der *Modenoperatoren* und des komplexen $Feldoperators \mathbf{F} = \mathbf{E} + ic\mathbf{B}$.

1.2 Bewegung als Modus, Felder als Operatoren

1.2.1 Bewegung als Modus: Der dynamische Modenraum

In der klassischen Mechanik wird die Bewegung eines Körpers durch seine Trajektorie $\mathbf{x}(t)$ beschrieben. Unser Formalismus ersetzt diese fragmentierte Beschreibung durch ein einheitliches Konzept: den *dynamischen Modenraum*. Jeder physikalische Zustand der Bewegung, einschließlich interner Modi wie Drehimpuls oder Schwingungsphase, wird durch einen *Modenvektor* \mathbf{u} repräsentiert. Die Dynamik wird nicht mehr durch Differentialgleichungen für $\mathbf{x}(t)$, sondern durch die universelle operatorwertige Gleichung

$$\mathbf{V}(\mathbf{u}) = \dot{\mathbf{d}} \cdot \boldsymbol{\kappa}(\mathbf{u}) \tag{1.1}$$

gesteuert. Diese Gleichung ist für alle Bewegungsformen gültig; lediglich die Darstellung der Operatoren V, \dot{d} und κ ändert sich.

1.2.2 Felder als Operatoren: Der komplexe Feldoperator $\mathbf{F} = \mathbf{E} + ic\mathbf{B}$

Die Elektrodynamik erfährt eine ebenso fundamentale Umdeutung: Die elektrischen und magnetischen Felder **E** und **B** werden zu Projektionen eines einzigen, komplexen *Feldoperators* **F**. Dieser Operator ist die fundamentale Größe, aus der alle elektromagnetischen Phänomene abgeleitet werden:

- Die Maxwell-Gleichungen reduzieren sich zu einer einzigen komplexen Wellengleichung: $\Box \mathbf{F} = \mathbf{J}$, mit $\mathbf{J} = \rho/\varepsilon_0 + ic\mu_0\mathbf{j}$.
- Die Lorentz-Transformation wird zu einer unitären Drehung im komplexen Raum: $\mathbf{F}' = \mathbf{\Lambda}(v) \cdot \mathbf{F}$.

1.2.3 Die Synthese: Moden und Felder im gemeinsamen Operatorraum

Der entscheidende Fortschritt liegt in der Vereinigung dieser Konzepte. Bewegung (repräsentiert durch V) und Feld (repräsentiert durch F) sind nicht mehr getrennte Entitäten, sondern leben im selben operatorwertigen Modenraum. Ihre Wechselwirkung, etwa die Lorentzkraft, erscheint nicht als externer Term, sondern als Konsequenz der algebraischen Struktur dieses Raumes.

1.3 Ziel und Aufbau der Arbeit

Das übergeordnete Ziel dieser Arbeit ist die Entwicklung einer neuen theoretischen Grundlage für die klassische Physik, die die Relativitätstheorien nicht ersetzt, sondern verallgemeinert und vereinheitlicht. Konkret verfolgt sie drei Ziele:

- 1. **Formalisierung:** Die präzise mathematische Definition des dynamischen Modenraums und des Feldoperators **F**.
- 2. **Integration:** Die Einbettung von Mechanik, Elektrodynamik und Gravitation in diesen gemeinsamen Rahmen.
- 3. **Verifikation:** Die numerische und analytische Überprüfung der Vorhersagen mittels reproduzierbarer Python-Simulationen.

Die Arbeit ist in fünf Teile gegliedert, die vom Modenraum über den Feldoperator bis zur modalen Gravitation und einer Perspektive auf die Quantengravitation reichen. Mit der Modalen Geometrodynamik wird ein neuer theoretischer Raum eröffnet, in dem Bewegung, Feld und Geometrie als miteinander verwobene Aspekte einer einzigen operatorwertigen Dynamik erscheinen.

1.4 Einsteins Vermächtnis und seine Grenzen

Albert Einsteins Relativitätstheorien gehören zu den tiefgreifendsten intellektuellen Errungenschaften der Menschheitsgeschichte. Die Spezielle Relativitätstheorie (SRT) von 1905 vereinte Raum und Zeit zu einer vierdimensionalen Raumzeit und zeigte, dass die Gesetze der Physik, insbesondere die Lichtgeschwindigkeit, für alle Inertialbeobachter invariant sind.

Die Allgemeine Relativitätstheorie (ART) von 1915 radikalisierte diese Idee weiter: Sie erklärte Gravitation nicht als Kraft, sondern als *Geometrie*, als Krümmung der Raumzeit, verursacht durch Masse und Energie.

Die mathematische Eleganz und empirische Bestätigung dieser Theorien ist unbestritten. Von der Periheldrehung des Merkur über die Lichtablenkung am

Sonnenrand bis hin zur direkten Detektion von Gravitationswellen, Einsteins Werk hat sich in jeder experimentellen Probe bewährt. Dennoch enthalten seine Theorien konzeptionelle Grenzen, die sich erst im Rückblick und im Vergleich mit der Quantenphysik deutlich zeigen:

1.4.1 Die SRT und die getrennte Behandlung von Feldern

In der Speziellen Relativitätstheorie werden elektrische und magnetische Felder zwar als Komponenten eines elektromagnetischen Feldstärketensors $F^{\mu\nu}$ zusammengefasst, doch bleibt diese Vereinigung rein mathematisch. Sie drückt keine tiefere ontologische Einheit aus. Die Transformation zwischen E und B erscheint als technische Nebenbedingung, nicht als Manifestation einer fundamentalen Symmetrie.

In unserem Formalismus hingegen wird diese Einheit explizit: Der komplexe Feldoperator

$$\mathbf{F} = \mathbf{E} + ic\mathbf{B}$$

ist kein Rechentrick, sondern eine physikalische Größe erster Ordnung.

Die imaginäre Einheit i und der Faktor c kodieren nicht nur die Transformationseigenschaften, sie repräsentieren die tiefere Struktur, aus der \mathbf{E} und \mathbf{B} als reelle und imaginäre Projektionen hervorgehen. Damit wird die elektromagnetische Feldstruktur nicht nur kovariant, sondern *intrinsisch relativistisch*.

1.4.2 Die ART und die Ignoranz innerer Freiheitsgrade

Die Allgemeine Relativitätstheorie beschreibt die Bewegung von Körpern als Geodäten in einer gekrümmten Raumzeit. Doch sie behandelt alle Körper als punktförmige Testmassen, unabhängig von ihrer inneren Struktur. Ob ein Körper rotiert, vibriert oder einen Spin trägt, die Metrik $g_{\mu\nu}(x)$, die seine Bahn bestimmt, bleibt dieselbe.

Dies ist eine bewusste Idealisierung, die Einstein selbst als notwendig erachtete, um die Theorie handhabbar zu machen. Doch sie ist auch eine *physikalische Näherung*. Tatsächlich beeinflusst die Eigenrotation eines Körpers (z. B. ein Kerr-Loch) die Raumzeit, aber nur, wenn man seine Masse-*Verteilung* und seinen Drehimpuls als Quelle in die Feldgleichungen einspeist. Die *lokale Wahrnehmung* der Geometrie durch das Teilchen selbst, also wie *es* die Krümmung erfährt, bleibt unverändert.

In unserer **Modalen Geometrodynamik** wird diese Grenze aufgehoben: Die effektive Metrik, die ein Teilchen "sieht", hängt von seinem **Modenvektor u** ab:

$$g_{\mu\nu} \to g_{\mu\nu}(x, \mathbf{u})$$

Ein rotierender Körper bewegt sich daher nicht auf derselben Geodäte wie ein nicht-rotierender, nicht, weil die globale Geometrie anders wäre, sondern weil seine *modale Kopplung* an die Geometrie anders ist. Dies ist kein Zusatz, es ist eine Verallgemeinerung der Geodätengleichung auf innere Zustände.

1.4.3 Die fehlende Vereinheitlichung mit der Elektrodynamik

Einstein verbrachte die zweite Hälfte seines Lebens mit dem Versuch, Gravitation und Elektromagnetismus in einer einheitlichen Feldtheorie zu beschreiben. Er scheiterte, weil die mathematischen Werkzeuge seiner Zeit (Riemannsche Geometrie, Tensoranalysis) dafür nicht ausreichten. Die Elektrodynamik blieb eine Theorie "auf" der Raumzeit, nicht "in" ihr.

Unser Ansatz bietet hier einen neuen Weg: Indem wir sowohl die Bewegung (Mechanik) als auch das elektromagnetische Feld (Elektrodynamik) als *Operatoren in einem gemeinsamen Modenraum* formulieren, entsteht eine natürliche Schnittmenge. Der Feldoperator ${\bf F}$ und der Bewegungsoperator ${\cal V}$ leben im selben algebraischen Raum. Ihre Wechselwirkung lässt sich daher als Operatorgleichung formulieren, etwa:

$$\mathcal{D}\mathbf{F} = \mathbf{J}$$
 oder $\mathcal{V} \cdot \mathbf{F} = Invariant$

Dies ist nicht nur eine technische Umformulierung. Es ist der erste Schritt zu einer *einheitlichen klassischen Dynamik*, in der Geometrie, Bewegung und Feld nicht mehr getrennt sind, sondern als Aspekte einer einzigen modalen Struktur erscheinen.

1.4.4 Zusammenfassung: Einstein als Ausgangspunkt, nicht Endpunkt

Einsteins Theorien beschreiben die Welt mit den Mitteln, die zu ihrer Zeit verfügbar waren: differenzierbare Mannigfaltigkeiten, Tensoren, Feldgleichungen. Doch die Natur, wie wir sie heute verstehen, geprägt von Quanten, Spin, nichtlokalen Korrelationen und dynamischen Symmetrien, verlangt nach einer tieferen Sprache.

Unsere **Modale Geometrodynamik** ist kein Bruch mit Einstein. Sie ist seine *logische Fortsetzung*. Sie behält seine Prinzipien bei, Kovarianz, Äquivalenz, geometrische Interpretation, und erweitert sie um die Dimension der *Modalität*: der inneren Zustände, der Operatorstrukturen, der dynamischen Kopplung zwischen Bewegungsformen.

Im Folgenden werden diese Ideen mathematisch präzisiert, beginnend mit der Definition des **dynamischen Modenraums**, dem zentralen Konzept, das Bewegung neu definiert, nicht als Trajektorie, sondern als evolutionärer Zustand in einem abstrakten Raum der Möglichkeiten.

1.5 Bewegung als Modus, Felder als Operatoren

1.5.1 Bewegung als Modus: Der dynamische Modenraum

In der klassischen Mechanik wird die Bewegung eines Körpers durch seine Trajektorie $\mathbf{x}(t)$ beschrieben, eine Funktion der Zeit, abgeleitet aus Newtons oder Lagranges Gleichungen. Diese Sichtweise ist erfolgreich, aber begrenzt: Sie behandelt verschiedene Bewegungsformen, Translation, Rotation, Schwingung, Spin, als separate Phänomene, die jeweils eigene Gleichungen benötigen.

Unser Formalismus ersetzt diese fragmentierte Beschreibung durch ein einheitliches Konzept: den **dynamischen Modenraum**. Jeder physikalische Zustand der Bewegung wird repräsentiert durch einen **Modenvektor u**, der nicht nur Position und Geschwindigkeit, sondern auch *interne Bewegungsmodi* wie Drehimpuls, Schwingungsphase oder Spin kodiert.

Die Dynamik wird nicht mehr durch Differentialgleichungen für $\mathbf{x}(t)$, sondern durch eine *operatorwertige Bewegungsgleichung* gesteuert:

$$\mathcal{V}(q) = \dot{d} \cdot \kappa(q)$$

Hierbei ist:

- V der **Bewegungsoperator**, der den aktuellen Modenzustand beschreibt,
- \dot{d} ein **Dynamikgenerator** (vergleichbar einem Hamilton-Operator in der QM),
- $\kappa(q)$ ein **Modenkopplungsoperator**, der die Abhängigkeit von generalisierten Koordinaten q beschreibt.

Diese Gleichung ist universell: Sie gilt für Translation ebenso wie für Rotation oder gekoppelte Schwingungsmoden, lediglich die Wahl der Operatoren \mathcal{V}, \dot{d} und κ ändert sich. Damit wird Bewegung nicht mehr als was sich ändert, sondern als wie es sich ändert, als evolutionärer Prozess in einem abstrakten Raum der Möglichkeiten.

1.5.2 Felder als Operatoren: Der komplexe Feldoperator $\mathbf{F} = \mathbf{E} + ic\mathbf{B}$

Während die Mechanik im Modenraum verallgemeinert wird, erfährt die Elektrodynamik eine ebenso fundamentale Umdeutung: Statt elektrische und magnetische Felder **E** und **B** als separate Vektorfelder zu behandeln, werden sie

zu Projektionen eines einzigen, komplexen Feldoperators:

$$\mathbf{F} = \mathbf{E} + ic\mathbf{B}$$

Dieser Operator ist die fundamentale Größe, aus der alle elektromagnetischen Phänomene abgeleitet werden:

- Die Maxwell-Gleichungen reduzieren sich zu einer einzigen komplexen Gleichung: $\left(\frac{1}{c^2}\frac{\partial^2}{\partial t^2} \nabla^2\right)\mathbf{F} = \mu_0\mathbf{J}$, mit $\mathbf{J} = \rho + ic\mathbf{j}$.
 Die Lorentz-Transformation wird zu einer unitären Drehung im komple-
- Die Lorentz-Transformation wird zu einer unitären Drehung im komplexen Raum: $\mathbf{F}' = \Lambda(\mathbf{v}) \cdot \mathbf{F}$.
- Die Energiedichte und der Poynting-Vektor erscheinen als Real- und Imaginärteil von $\mathbf{F}^* \cdot \mathbf{F}$.

Die imaginäre Einheit i repräsentiert die $orthogonale\ Natur$ von elektrischen und magnetischen Feldern im Sinne der Raumzeit-Symmetrie. Der Faktor c stellt sicher, dass beide Komponenten dieselbe physikalische Dimension tragen und damit dieselbe geometrische Bedeutung in der relativistischen Struktur.

1.5.3 Die Synthese: Moden und Felder im gemeinsamen Operatorraum

Unsere Theorie liegt in der *Vereinigung dieser beiden Konzepte*. Bewegung (repräsentiert durch \mathcal{V}) und Feld (repräsentiert durch \mathbf{F}) sind nicht mehr getrennte Entitäten. Sie leben im selben **operatorwertigen Modenraum**.

Dies ermöglicht eine natürliche Beschreibung der Wechselwirkung: Ein geladenes Teilchen "erfährt" das Feld ${\bf F}$ nicht als externen Einfluss, sondern als Kopplung zwischen seinem Bewegungsoperator ${\cal V}$ und dem Feldoperator ${\bf F}$. Die Lorentzkraft etwa erscheint nicht als zusätzlicher Term, sondern als Konsequenz einer kommutativen oder nicht-kommutativen Algebra:

$$[\mathcal{V}, \mathbf{F}] \sim \mathbf{J}$$
 oder $\mathcal{D}_{\mathbf{F}} \mathcal{V} = 0$

(wobei \mathcal{D}_{F} eine feldabhängige kovariante Ableitung ist).

Ebenso wird die Rückwirkung des Teilchens auf das Feld, also die Aussendung von Strahlung, nicht mehr durch getrennte Gleichungen beschrieben, sondern durch die Rückkopplung $\mathcal{V} \to \mathbf{J} \to \mathbf{F}$ innerhalb desselben Raumes.

1.5.4 Warum diese Sichtweise nützlich ist

Die Standardphysik beschreibt die Welt in Schichten:

• Schicht 1: Teilchenbahnen (Mechanik)

- Schicht 2: Felder im Hintergrund (Elektrodynamik)
- Schicht 3: Geometrie als Bühne (Relativität)

Unsere Theorie löscht diese Schichten auf und ersetzt sie durch einen einzigen, kohärenten Raum: den **modalen Operatorraum**, in dem Bewegung, Feld und Geometrie als miteinander verwobene Aspekte einer einzigen dynamischen Struktur erscheinen.

Dies ist eine neue Beschreibung und wirft neue Fragen auf:

- Wie quantisiert man einen Modenraum?
- Kann Gravitation als Struktur dieses Raumes beschrieben werden?
- Enthält der Modenvektor **u** bereits quantenmechanische Information, noch bevor quantisiert wird?

Diese Fragen werden im Verlauf dieser Arbeit schrittweise angegangen.

Im nächsten Abschnitt wird der Aufbau dieser Arbeit vorgestellt, Kapitel für Kapitel, vom Modenraum über den Feldoperator bis zur modalen Gravitation.

1.6 Ziel und Aufbau der Arbeit

Das übergeordnete Ziel dieser Dissertation ist die Entwicklung einer neuen theoretischen Grundlage für die klassische Physik, einer Grundlage, die die Spezielle und Allgemeine Relativitätstheorie nicht ersetzt, sondern verallgemeinert und vereinheitlicht durch zwei zentrale Konzepte: den **dynamischen Modenraum** und den **komplexen Feldoperator** $\mathbf{F} = \mathbf{E} + i c \mathbf{B}$.

Konkret verfolgt diese Arbeit drei miteinander verbundene Ziele:

- 1. **Formalisierung**: Die präzise mathematische Definition des dynamischen Modenraums und seiner Operatoren $(\mathbf{u}, \mathcal{V}, \dot{d}, \kappa)$, sowie des Feldoperators **F** und seiner Transformations- und Welleneigenschaften.
- 2. **Integration**: Die Einbettung der klassischen Mechanik, Elektrodynamik und Gravitation in diesen gemeinsamen Rahmen, mit Ableitung der bekannten Theorien als Grenzfälle und mit Formulierung neuer, modal gekoppelter Gleichungen.
- 3. **Verifikation**: Die numerische und analytische Überprüfung der Vorhersagen des Formalismus, insbesondere durch Simulationen in Python (unter ausschließlicher Verwendung von Standardmodulen wie numpy und scipy), um Reproduzierbarkeit und Unabhängigkeit von spezialisierten Bibliotheken zu gewährleisten.

Die Arbeit ist in fünf Teile gegliedert, die jeweils einen logischen Entwicklungsschritt darstellen:

Teil I: Grundlagen und Motivation

Dieser Teil (Kapitel 1) führt in die konzeptionellen Spannungen der modernen Physik ein, würdigt Einsteins Vermächtnis, stellt den Kern unserer These vor und gibt einen Überblick über den Aufbau der Arbeit. Er dient dazu, die Notwendigkeit und Originalität Ihres Ansatzes zu begründen.

Teil II: Der dynamische Modenraum, Bewegung neu gedacht

In Kapitel 2 bis 4 wird der **dynamische Modenraum** mathematisch präzisiert. Es werden der Modenvektor **u**, die Bewegungsoperatoren $\mathcal{V}, \dot{d}, \kappa$ definiert und ihre algebraischen Eigenschaften untersucht. Die fundamentale Gleichung $\mathcal{V}(q) = \dot{d} \cdot \kappa(q)$ wird für verschiedene Bewegungsmodi (Translation, Rotation) explizit ausgearbeitet. Schließlich wird gezeigt, wie sich die Spezielle Relativitätstheorie als Projektion dieses Raumes ergibt, inklusive natürlicher Einbeziehung von Spin und inneren Freiheitsgraden.

Teil III: Der komplexe Feldoperator, Elektrodynamik als Operator

Kapitel 5 bis 7 widmen sich dem **Feldoperator** $\mathbf{F} = \mathbf{E} + ic\mathbf{B}$. Es wird gezeigt, wie alle Maxwell-Gleichungen in der kompakten Form $\left(\frac{1}{c^2}\frac{\partial^2}{\partial t^2} - \nabla^2\right)\mathbf{F} = \mu_0\mathbf{J}$ mit $\mathbf{J} = \rho + ic\mathbf{j}$ zusammengefasst werden können. Die Lorentz-Transformation von \mathbf{F} wird analytisch hergeleitet und numerisch verifiziert. Abschließend werden Wellenausbreitung und Quellenkopplung simuliert mit Python-Code.

Teil IV: Modale Gravitation als neue ART

In Kapitel 8 bis 10 wird der Brückenschlag zur Gravitation vollzogen. Es wird die **modale Metrik** $g_{\mu\nu}(x,\mathbf{u})$ eingeführt, eine Raumzeitgeometrie, die vom Bewegungszustand des Teilchens abhängt. Die verallgemeinerte Geodätengleichung $D\mathcal{V}/Ds=0$ wird formuliert und numerisch gelöst. Schließlich wird ein **universeller Energie-Impuls-Operator** definiert, der mechanische und feldtheoretische Beiträge vereinheitlicht und erste Schritte zu einer "modalen Einstein-Gleichung" unternommen.

Teil V: Perspektiven und Ausblick

Die letzten beiden Kapitel (11 und 12) öffnen den Horizont: Es werden Wege zur **Quantisierung** des Modenraums und von **F** skizziert, mit dem Ziel, eine Brücke zur Quantengravitation zu schlagen. Im abschließenden Kapitel werden die Kernresultate zusammengefasst, mit anderen Ansätzen verglichen (Stringtheorie, Loop-Quantengravitation, Twistoren) und offene Fragen formuliert, darunter der Weg zu einer "Theorie von Allem", die auf modalen Operatoren statt auf Geometrie oder Quantenfeldern basiert.

Diese Arbeit versteht sich als *konstruktive Neugründung*. Jeder Schritt wird analytisch hergeleitet, numerisch verifiziert und physikalisch interpretiert. Der Fokus liegt auf **Klarheit**, **Konsistenz** und **Reproduzierbarkeit**, nicht auf formalistischer Komplexität.

Mit der **Modalen Geometrodynamik** wird ein neuer theoretischer Raum eröffnet, ein Raum, in dem Bewegung, Feld und Geometrie nicht mehr getrennt sind, sondern als miteinander verwobene Aspekte einer einzigen operatorwertigen Dynamik erscheinen.

Im nächsten Kapitel beginnt die formale Entwicklung, mit der Definition des dynamischen Modenraums.

Teil II DER DYNAMISCHE MODENRAUM

Kapitel 2

Mathematische Struktur des Modenraums

2.1 Der Modenvektor u: Definition und physikalische Interpretation

Der zentrale Baustein der Modalen Geometrodynamik ist der **Modenvektor u**. Im Gegensatz zur klassischen Mechanik, in der der Zustand eines Systems typischerweise durch Ort und Geschwindigkeit (oder Ort und Impuls) beschrieben wird, fasst **u** den "vollständigen kinematischen und internen Zustand" eines Systems zusammen. Dazu gehören nicht nur translatorische Freiheitsgrade, sondern auch interne Bewegungsformen wie Rotation, Schwingung oder, im Rahmen einer erweiterten Modellierung, spinartige Eigenschaften.

2.1.1 Mathematische Definition des Modenvektors

Definition 2.1.0: Modenvektor

Der Modenvektor ${\bf u}$ ist ein Element eines endlich- oder unendlichdimensionalen reellen oder komplexen Vektorraums ${\cal M}$, dem *Modenraum*:

$$\mathbf{u} \in \mathcal{M} \subseteq \mathbb{R}^n$$
 oder \mathbb{C}^n $(n \in \mathbb{N} \cup \{\infty\}).$

Jede Komponente u_i von **u** repräsentiert einen "physikalisch interpretierbaren Bewegungsmodus". Die Dimension n des Raumes hängt vom betrachteten System ab. Beispiele:

• Punktmasse (Translation): $\mathbf{u}=(\mathbf{x},\mathbf{v})^{\top}\in\mathbb{R}^{6}$, wobei $\mathbf{x},\mathbf{v}\in\mathbb{R}^{3}$ Position und Geschwindigkeit beschreiben.

- Starrer Körper (Translation + Rotation): $\mathbf{u} = (\mathbf{x}, \mathbf{v}, \boldsymbol{\theta}, \boldsymbol{\omega})^{\top} \in \mathbb{R}^{12}$, wobei $\boldsymbol{\theta}, \boldsymbol{\omega} \in \mathbb{R}^3$ Orientierung (z. B. Euler-Winkel) und Winkelgeschwindigkeit kodieren.
- Schwingendes Kontinuum: $\mathbf{u} = (q_1, \dot{q}_1, q_2, \dot{q}_2, \dots)^{\top}$, unendlichdimensional, mit q_k als Normalkoordinaten.
- Teilchen mit spinartigem Freiheitsgrad: $\mathbf{u}=(\mathbf{x},\mathbf{v},\mathbf{s})^{\top}$, wobei $\mathbf{s}\in\mathbb{R}^3$ als "effektiver, klassischer Parameter" eingeführt wird, um intrinsische Eigenschaften wie ein magnetisches Moment zu modellieren. Im quantenmechanischen Grenzfall wird \mathbf{s} durch einen Spinor $\psi\in\mathbb{C}^2$ ersetzt.

Hinweis: Der Modenvektor \mathbf{u} ist *nicht* identisch mit dem Zustandsvektor des hamiltonschen Phasenraums (\mathbf{q}, \mathbf{p}) . Er dient als einheitliches Argument für die Bewegungsoperatoren \mathcal{V} , \dot{d} und κ , die im Folgenden definiert werden.

Um gemischte physikalische Einheiten (z. B. Länge und Geschwindigkeit) in der Operatoralgebra zu vermeiden, wird **u** dimensionslos reskaliert:

$$\mathbf{u}_{\mathrm{norm}} = \left(\frac{\mathbf{x}}{L_0}, \frac{\mathbf{v}}{V_0}, \frac{\boldsymbol{\theta}}{\Theta_0}, \frac{\boldsymbol{\omega}}{\Omega_0}, \ldots\right)^{\top},$$

wobei L_0 , V_0 , Θ_0 , Ω_0 charakteristische Skalen des Systems sind (z. B. typische Länge, Geschwindigkeit, Winkel). Alle Operatoren wirken auf \mathbf{u}_{norm} , sodass die fundamentale Beziehung $\mathcal{V} = \dot{d} \cdot \kappa$ dimensionshomogen bleibt.

Die zeitliche Entwicklung des Systems wird durch eine "Evolutiongleichung" für \mathbf{u}_{norm} beschrieben, die sich aus der Wirkung der Operatoren ergibt (siehe Abschnitt 2.1.1).

2.1.2 Physikalische Interpretation: Bewegung als Modus-Zustand

In der klassischen Physik wird Bewegung als zeitliche Veränderung der räumlichen Position verstanden. In der Modalen Geometrodynamik wird Bewegung stattdessen als "zeitliche Evolution des Modenvektors \mathbf{u} " unter der Wirkung dynamischer Operatoren beschrieben. Diese Evolution wird durch die Struktur des Modenraums \mathcal{M} und die Kopplung an externe Felder bestimmt.

Konkret bedeutet dies:

- **Translation** wird nicht als Trajektorie von A nach B aufgefasst, sondern als Aktivierung des translatorischen Modus in **u** durch den Dynamikgenerator \vec{d} , gekoppelt an die Umgebung durch den Operator κ .
- Rotation wird nicht als geometrische Drehung eines Körpers, sondern als zeitliche Entwicklung des Rotationsmodus in ${\bf u}$ gemäß der Operatorgleichung ${\cal V}=\dot d\cdot \kappa$ beschrieben.

• Ein **spinartiger Freiheitsgrad** wird nicht als starrer Vektor modelliert, der paralleltransportiert wird, sondern als intrinsischer Modus, dessen Dynamik, im Rahmen der modalen Gravitation, die effektive Metrik $g_{\mu\nu}(x,\mathbf{u})$ beeinflussen kann (siehe Kapitel 8).

Unterschied zum Phasenraum: Der Modenraum ist kein symplektischer Raum und folgt nicht den Prinzipien der hamiltonschen Mechanik. Er umfasst auch solche Freiheitsgrade, die in der klassischen Mechanik nicht durch kanonisch konjugierte Variablen beschrieben werden, wie z. B. Dämpfung oder nicht-konservative Kopplungen. Die Dynamik wird nicht durch eine Hamilton-Funktion, sondern durch die Operatorstruktur $\mathcal{V} = \dot{d} \cdot \kappa$ erzeugt.

Unterschied zum Hilbert-Raum: Der Modenraum ist zunächst rein klassisch und kann reell oder komplex sein. Erst bei der Quantisierung (siehe Kapitel 11) wird er mit einem Skalarprodukt ausgestattet und zu einem Hilbertraum. Vor der Quantisierung dient \mathcal{M} als "parametrischer Raum möglicher kinematischer und interner Zustände", nicht als Raum quantenmechanischer Wahrscheinlichkeitsamplituden.

2.1.3 Beispiel: Modenvektor für ein geladenes, rotierendes Teilchen

Betrachten wir ein klassisches Teilchen mit Masse m, Ladung q und einer "effektiven Eigenrotation", die durch einen Vektor $\mathbf{S} \in \mathbb{R}^3$ parametrisiert wird. Dieser Vektor dient als "phänomenologischer Freiheitsgrad", um beispielsweise ein intrinsisches magnetisches Moment zu modellieren; er entspricht "nicht" dem mechanischen Drehimpuls eines starren Körpers.

Der zugehörige Modenvektor lautet:

$$\mathbf{u} = \begin{pmatrix} \mathbf{x} \\ \mathbf{v} \\ \mathbf{S} \end{pmatrix} \in \mathbb{R}^9.$$

Die zeitliche Entwicklung von **u** wird durch eine "Evolutiongleichung" im Modenraum beschrieben:

$$\frac{d}{dt}\mathbf{u}_{\text{norm}} = \mathcal{V}(\mathbf{u}_{\text{norm}}),$$

wobei der "Bewegungsoperator" $\mathcal V$ aus der Kopplung eines "Dynamikgenerators" $\dot d$ und eines "Kopplungsoperators" $\kappa(\mathbf u)$ hervorgeht:

$$\mathcal{V}(\mathbf{u}) = \dot{d} \cdot \kappa(\mathbf{u}).$$

Die konkrete Wirkung von V auf **u** – etwa Ableitung, Rotation oder nichtlineare Transformation – hängt von der Wahl der Operatoren ab, die im nächsten

Abschnitt definiert werden.

2.1.4 Vergleich mit etablierten Formulierungen

Die klassische Mechanik verwendet je nach System unterschiedliche Formulierungen: Newtonsche Gleichungen für Punktmassen, Eulersche Gleichungen für starre Körper, Lagrange- oder Hamilton-Formalismus für komplexe Systeme. Der hier vorgestellte Formalismus bietet eine "einheitliche Darstellung" verschiedener Bewegungsformen durch den Modenvektor \mathbf{u} und die Operatorstruktur $\mathcal{V} = \dot{d} \cdot \kappa$. Dabei ändert sich lediglich die "Darstellung der Operatoren", nicht die zugrundeliegende algebraische Struktur.

Diese Sichtweise ist "nicht als Ersatz", sondern als "verallgemeinernde Neufassung" zu verstehen. Ihre physikalische Adäquatheit muss im Einzelfall durch "Rückführung auf bekannte Gleichungen" oder "experimentelle Überprüfung" belegt werden.

2.1.5 Operatoren der Bewegung

Die Dynamik im Modenraum wird durch die Wirkung dreier Operatoren auf den dimensionslosen Modenvektor \mathbf{u}_{norm} beschrieben:

- \mathcal{V} : der "Bewegungsoperator", der den momentanen dynamischen Zustand kodiert.
- \dot{d} : der "Dynamikgenerator", der zustandsunabhängige Systemeigenschaften (z. B. Masse, Eigenfrequenz) enthält,
- $\kappa(q)$: der "Kopplungsoperator", der die Abhängigkeit von generalisierten Koordinaten q beschreibt.

Ihre fundamentale Beziehung lautet:

$$\mathcal{V}(q) = \dot{d} \cdot \kappa(q). \tag{2.1}$$

Diese Gleichung dient als "Ansatz für eine einheitliche Beschreibung" der Dynamik. Ihre Äquivalenz zu etablierten Formulierungen ist systemabhängig nachzuweisen.

Definition der Operatoren

Bewegungsoperator V(q)

 $\mathcal{V}: \mathcal{M} \to \mathcal{M}$ bildet den Modenvektor auf seinen zeitlichen Fluss ab.

Beispiel 2.1.0: Translation

Für $\mathbf{u} = (\mathbf{x}, \mathbf{v})^{\top}$ kann $\mathcal{V}(\mathbf{u}) = (\mathbf{0}, \mathbf{v})^{\top}$ gewählt werden.

Dynamikgenerator \dot{d}

 \dot{d} kodiert die intrinsischen Eigenschaften des Systems.

Beispiel 2.1.1: harmonischer Oszillator

 $\dot{d} = \begin{pmatrix} 0 & 1 \\ -\omega^2 & 0 \end{pmatrix}$ erzeugt die korrekte Phasenraumdynamik.

Kopplungsoperator $\kappa(q)$

 $\kappa(q)$ beschreibt orts- oder zustandsabhängige Wechselwirkungen.

Beispiel 2.1.2: Potential V(x))

$$\kappa(x) = \begin{pmatrix} \mathbb{I}_n & \mathbf{0} \\ \mathbf{0} & -\nabla V(x) \end{pmatrix}.$$

2.1.6 Algebraische Eigenschaften

Die Operatoren V, \dot{d}, κ bilden im Allgemeinen keine abgeschlossene Algebra. Wichtige Eigenschaften:

- "Assoziativität": $(\dot{d} \cdot \kappa) \cdot \mathbf{u} = \dot{d} \cdot (\kappa \cdot \mathbf{u})$ für lineare Operatoren.
- "Nicht-Kommutativität": Im Allgemeinen gilt $[\dot{d},\kappa(q)]\neq 0$, was zu nichttrivialer Dynamik führt.
- "Erhaltungsgrößen": Falls $[\dot{d},\kappa(q)]=0$, ist ${\mathcal V}$ zeitlich konstant.

Beispiel 2.1.3:

Für $\dot{d}=\begin{pmatrix}0&1\\-\omega^2&0\end{pmatrix}$, $\kappa=\mathbb{I}_2$ gilt $[\dot{d},\kappa]=0$, was mit Energieerhaltung vereinbar ist.

2.1.7 Interpretation der Operatorstruktur

Die Gleichung $\mathcal{V} = \dot{d} \cdot \kappa$ bietet eine "alternative Perspektive" auf die Dynamik:

- Die "Kraft" erscheint nicht als externe Größe, sondern als "Resultat der Kopplung" zwischen systeminternen (d) und umgebungsabhängigen (κ) Faktoren.
- Bewegung wird als "intrinsische Evolution im Modenraum" beschrieben.

Diese Sichtweise ist "konsistent mit der Relativitätstheorie und der Feldtheorie", sofern die Operatoren entsprechend gewählt werden. Ihre universelle Anwendbarkeit bleibt jedoch eine "Modellannahme", die durch konkrete Beispiele und experimentelle Tests zu validieren ist.

2.2 Verallgemeinerte Impuls- und Energiegrößen im Modenraum

In der klassischen Mechanik sind Impuls und Energie Erhaltungsgrößen, die sich aus kontinuierlichen Symmetrien des Wirkungsintegrals ergeben (Noether-Theorem). Der hier vorgestellte Formalismus bietet eine alternative Möglichkeit, solche Größen zu definieren, indem geeignete "Metriken auf dem Modenraum" eingeführt werden. Diese Größen sind "nicht fundamental", sondern "modellabhängig" und müssen im Einzelfall mit den etablierten physikalischen Observablen identifiziert werden.

2.2.1 Der verallgemeinerte Impuls

Der Modenvektor **u** allein enthält noch keine Information über träge Massen oder Trägheitsmomente. Um physikalisch sinnvolle Impulsgrößen zu definieren, wird eine "symmetrische, positiv definite Matrix" **M** eingeführt, die als "massengewichtete Metrik" interpretiert wird. Der physikalische Impuls wird dann definiert als:

$$p_{\text{phys}} := M \cdot \mathcal{V}(u),$$

wobei $V(\mathbf{u})$ den Geschwindigkeitsanteil von \mathbf{u} extrahiert.

Beispiel 2.2.0: Translation im 3D-Raum

Sei
$$\mathbf{u} = (\mathbf{x}, \mathbf{v})^{\top} \in \mathbb{R}^6$$
 und $\mathcal{V}(\mathbf{u}) = (\mathbf{0}, \mathbf{v})^{\top}$. Mit

$$\mathbf{M} = \begin{pmatrix} \mathbf{0} & \mathbf{0} \\ \mathbf{0} & m \mathbb{I}_3 \end{pmatrix}$$

ergibt sich $\mathbf{p}_{\text{phys}} = (\mathbf{0}, m\mathbf{v})^{\top}$, wobei $m\mathbf{v}$ der klassische Impulsvektor ist.

Ohne Einführung einer solchen Metrik lässt sich aus $\mathcal V$ und $\mathbf u$ "keine physikalisch relevante Impulsgröße" ableiten.

2.2.2 Die verallgemeinerte Energie

Analog zur Impulsdefinition wird die Energie durch eine "Energie-Metrik" **H** definiert:

$$E_{\text{phys}} := \frac{1}{2} \langle \mathbf{u}, \mathbf{H} \cdot \mathbf{u} \rangle,$$

wobei ${\bf H}$ so gewählt wird, dass $E_{\rm phys}$ mit der bekannten Hamilton-Funktion übereinstimmt.

Beispiel 2.2.1: Harmonischer Oszillator

Für $\mathbf{u} = (q, \dot{q})^{\top}$ und

$$\mathbf{H} = \begin{pmatrix} m\omega^2 & 0\\ 0 & m \end{pmatrix}$$

ergibt sich

$$E_{\rm phys} = \frac{1}{2} m \omega^2 q^2 + \frac{1}{2} m \dot{q}^2, \label{eq:Ephys}$$

was der klassischen Gesamtenergie entspricht.

Die Definition $E_{\mathcal{M}} = \langle \mathbf{u}, \dot{d} \cdot \mathbf{u} \rangle$ führt im Allgemeinen "nicht" zu einer Erhaltungsgröße und wird daher "nicht als physikalische Energie" interpretiert.

2.2.3 Erhaltungsgrößen und Symmetrien

Eine Observable $\mathcal{O}(\mathbf{u})$ ist entlang der Trajektorie $\mathbf{u}(t)$ erhalten, wenn

$$\frac{d}{dt}\mathcal{O}(\mathbf{u}(t)) = 0.$$

Unter der Annahme einer "Evolutiongleichung"

$$\frac{d}{dt}\mathbf{u} = \mathcal{V}(\mathbf{u}) = \dot{d} \cdot \kappa(\mathbf{u}),$$

folgt für die Energie $E = \frac{1}{2} \mathbf{u}^{\mathsf{T}} \mathbf{H} \mathbf{u}$:

$$\frac{dE}{dt} = \mathbf{u}^{\top} \mathbf{H} \dot{d} \kappa(\mathbf{u}).$$

Falls $\kappa = \mathbb{I}$ und $\dot{d}^{\top}\mathbf{H} + \mathbf{H}\dot{d} = 0$ (d. h. \dot{d} ist schiefsymmetrisch bezüglich **H**), ist E erhalten. Diese Bedingung entspricht der "Energieerhaltung in hamiltonschen Systemen".

2.2.4 Drehimpuls und Spin als modale Observablen

Der Drehimpuls wird analog zum linearen Impuls definiert. Für $\mathbf{u} = (\mathbf{x}, \mathbf{v}, \boldsymbol{\theta}, \boldsymbol{\omega})^{\top}$ und eine Projektion von $\mathcal V$ auf $\boldsymbol{\omega}$ ergibt sich mit dem Trägheitstensor $\mathbf I$:

$$\mathbf{L}_{\mathsf{phys}} = \mathbf{I} \cdot \boldsymbol{\omega}.$$

Ein "spinartiger Freiheitsgrad" **s** kann als "effektiver Parameter" eingeführt werden, um intrinsische Eigenschaften wie ein magnetisches Moment zu modellieren. In der "klassischen Theorie" wird "keine fundamentale Skalierung mit \bar{h} " vorgenommen. Die Verwendung von \bar{h} ist erst bei der "Quantisierung" (Kapitel 11) sinnvoll.

2.2.5 Zusammenfassung

In der Modalen Geometrodynamik sind Impuls, Energie und Drehimpuls "keine fundamentalen Größen", sondern "durch Metriken $\mathbf{M}, \mathbf{H}, \mathbf{I}$ definierte Observable". Ihre Erhaltung hängt von den Eigenschaften der Operatoren \dot{d} und κ ab. Dieser Ansatz ermöglicht eine "einheitliche Darstellung" verschiedener Bewegungsformen, erfordert aber "im Einzelfall eine Kalibrierung" der Metriken, um mit der etablierten Physik übereinzustimmen.

Kapitel 3

Bewegungsgleichungen und Kopplung von Modi

3.1 Die fundamentale Gleichung: $V(\mathbf{u}) = \dot{d} \cdot \kappa(\mathbf{u})$

Die Gleichung

$$\mathcal{V}(\mathbf{u}) = \dot{d} \cdot \kappa(\mathbf{u})$$

bildet das zentrale dynamische Prinzip der Modalen Geometrodynamik. Sie bietet eine "einheitliche operatorwertige Darstellung" der klassischen Dynamik, in der Bewegung als "zeitliche Evolution im Modenraum" verstanden wird.

Diese Formulierung ist "universell anwendbar": Sie beschreibt Translation, Rotation, Schwingung oder spinartige Freiheitsgrade gleichermaßen. Lediglich die "Darstellung der Operatoren" \dot{d} und κ hängt vom betrachteten System ab.

Die zeitliche Entwicklung des Modenvektors $\mathbf{u}(t)$ wird durch die "Evolutiongleichung"

$$\frac{d}{dt}\mathbf{u} = \mathcal{V}(\mathbf{u}) \cdot \mathbf{u} = \left(\dot{d} \cdot \kappa(\mathbf{u})\right) \cdot \mathbf{u}$$

bestimmt. Damit entsteht die Dynamik nicht durch externe Kraftgesetze, sondern durch die "intrinsische Operatorstruktur" des Systems.

3.1.1 Interpretation der Operatoren

- $V(\mathbf{u})$: Der "Bewegungsoperator" kodiert den momentanen Fluss im Modenraum.
- d: Der "Dynamikgenerator" enthält systeminterne Parameter (z. B. Masse, Frequenz, Trägheit).

• $\kappa(\mathbf{u})$: Der "Kopplungsoperator" beschreibt die Abhängigkeit von Zustandsvariablen (z. B. Position, Orientierung).

Die Verknüpfung $\dot{d} \cdot \kappa(\mathbf{u})$ ist als "Matrizenprodukt" (bei linearen Operatoren) oder "Funktionskomposition" (bei nichtlinearen Operatoren) zu verstehen.

3.1.2 Beispiele

Beispiel 3.1.0: Freier Massenpunkt (Translation)

Sei $\mathbf{u} = (\mathbf{x}, \mathbf{v})^{\top} \in \mathbb{R}^6$. Mit

$$\dot{d} = \begin{pmatrix} \mathbf{0} & \mathbb{I}_3 \\ \mathbf{0} & \mathbf{0} \end{pmatrix}, \quad \kappa(\mathbf{u}) = \mathbb{I}_6,$$

ergibt sich

$$\frac{d}{dt}\mathbf{u} = \begin{pmatrix} \mathbf{v} \\ \mathbf{0} \end{pmatrix},$$

also $\dot{\mathbf{x}} = \mathbf{v}$, $\dot{\mathbf{v}} = \mathbf{0}$: gleichförmige Bewegung.

Beispiel 3.1.0: Harmonischer Oszillator (1D)

Für $\mathbf{u} = (q, \dot{q})^{\top} \in \mathbb{R}^2$ wähle

$$\dot{d} = \begin{pmatrix} 0 & 1 \\ -\omega^2 & 0 \end{pmatrix}, \quad \kappa(\mathbf{u}) = \mathbb{I}_2.$$

Dann folgt

$$\ddot{q} = -\omega^2 q,$$

die korrekte Oszillator-Gleichung.

3.1.3 Geladenes Teilchen im homogenen elektrischen Feld

Sei $\mathbf{u}=(\mathbf{x},\mathbf{v})^{\top}\in\mathbb{R}^{6}$. Die Lorentzkraft-Gleichung $\dot{\mathbf{v}}=\frac{q}{m}\mathbf{E}$ wird reproduziert durch:

$$\dot{d}_{\text{eff}} = \begin{pmatrix} \mathbf{0}_{3\times3} & \frac{q}{m}\operatorname{diag}(E_x, E_y, E_z) \\ \mathbb{I}_3 & \mathbf{0}_{3\times3} \end{pmatrix}, \quad \kappa(\mathbf{u}) = \mathbb{I}_6.$$

Dann gilt:

$$\frac{d}{dt}\mathbf{u} = \dot{d}_{\text{eff}} \cdot \mathbf{u} = \begin{pmatrix} \mathbf{v} \\ \frac{q}{m} \mathbf{E} \end{pmatrix}.$$

Für "ortsabhängige Felder" $\mathbf{E}(\mathbf{x})$ wird κ zustandsabhängig:

$$\kappa(\mathbf{u}) = \begin{pmatrix} \mathbb{I}_3 & \mathbf{0} \\ \mathbf{0} & \operatorname{diag}(E_x(\mathbf{x}), E_y(\mathbf{x}), E_z(\mathbf{x})) \end{pmatrix},$$

und \dot{d} bleibt konstant. Damit wird die "volle Nichtlinearität" der Kopplung erfasst.

3.1.4 Eigenschaften der Operatorstruktur

Die Gleichung $V = \dot{d} \cdot \kappa$ zeichnet sich durch folgende Eigenschaften aus:

- Universalität: Gültig für beliebige mechanische Systeme.
- Modularität: Kopplungen lassen sich durch Komposition von κ -Operatoren modellieren.
- Numerische Effizienz: Direkt als Matrix-Vektor-Produkt implementierbar.
- Klare Trennung: Innere Dynamik (\dot{d}) und Umgebungseinfluss (κ) sind getrennt modellierbar.

Diese Struktur ermöglicht eine "systematische und einheitliche Beschreibung" komplexer, gekoppelter Systeme, von starren Körpern bis zu Feld-Teilchen-Wechselwirkungen.

3.2 Beispiele: Translation, Rotation, Schwingung als Moden

In diesem Abschnitt werden drei fundamentale Bewegungsmodi, Translation, Rotation und Schwingung, als Zustände im Modenraum dargestellt. Jeder Modus wird durch einen spezifischen Modenvektor ${\bf u}$ und zugehörige Operatoren $\dot d$ und κ beschrieben. Die fundamentale Gleichung ${\cal V}=\dot d\cdot\kappa$ reproduziert in allen Fällen die bekannten physikalischen Bewegungsgleichungen, "sofern die Operatoren entsprechend gewählt werden".

3.2.1 Translation: Freier Massenpunkt

Sei $\mathbf{u}_{trans} = (\mathbf{x}, \mathbf{v})^{\top} \in \mathbb{R}^6$. Der Dynamikgenerator wird als Matrix definiert:

$$\dot{d}_{\mathrm{trans}} = \begin{pmatrix} \mathbf{0}_{3\times3} & \mathbb{I}_3 \\ \mathbf{0}_{3\times3} & \mathbf{0}_{3\times3} \end{pmatrix}, \quad \kappa = \mathbb{I}_6.$$

Dann ist der Bewegungsoperator $\mathcal{V}=\dot{d}_{\text{trans}}\cdot\kappa=\dot{d}_{\text{trans}}$, und die Evolutionsgleichung lautet:

$$\frac{d}{dt}\mathbf{u}_{trans} = \mathcal{V} \cdot \mathbf{u}_{trans} = \begin{pmatrix} \mathbf{v} \\ \mathbf{0} \end{pmatrix},$$

was $\dot{\mathbf{x}} = \mathbf{v}$, $\dot{\mathbf{v}} = \mathbf{0}$ impliziert, gleichförmige Bewegung.

3.2.2 Rotation: Starrer Körper (eben)

Für ebene Rotation sei $\mathbf{u}_{\mathrm{rot}} = (\theta, \omega)^{\top} \in \mathbb{R}^2$. Der Dynamikgenerator ist:

$$\dot{d}_{\mathsf{rot}} = \begin{pmatrix} 0 & 1 \\ 0 & 0 \end{pmatrix}, \quad \kappa = \mathbb{I}_2.$$

Die Evolutionsgleichung ergibt:

$$\frac{d}{dt}\mathbf{u}_{\text{rot}} = \begin{pmatrix} \omega \\ 0 \end{pmatrix} \quad \Rightarrow \quad \dot{\theta} = \omega, \quad \dot{\omega} = 0,$$

was einer freien Rotation mit konstanter Winkelgeschwindigkeit entspricht. "Hinweis": Da $\dot{d}_{\rm rot}$ nicht schiefsymmetrisch ist, ist die quadratische Form $\theta^2 + \omega^2$ "nicht erhalten" was physikalisch korrekt ist, da θ keine dynamische Variable mit Erhaltungsgröße ist.

3.2.3 Schwingung: Harmonischer Oszillator (1D)

Sei $\mathbf{u}_{\mathrm{osc}} = (q,\dot{q})^{\top} \in \mathbb{R}^2$. Der Dynamikgenerator wird gewählt als:

$$\dot{d}_{
m osc} = \begin{pmatrix} 0 & 1 \\ -\omega^2 & 0 \end{pmatrix}, \quad \kappa = \mathbb{I}_2.$$

Dann folgt:

$$\frac{d}{dt}\mathbf{u}_{\mathrm{osc}} = \dot{d}_{\mathrm{osc}} \cdot \mathbf{u}_{\mathrm{osc}} = \begin{pmatrix} \dot{q} \\ -\omega^2 q \end{pmatrix},$$

woraus $\ddot{q}=-\omega^2q$ folgt, die korrekte Gleichung des harmonischen Oszillators.

3.2.4 Kombination: Translation + Rotation + Schwingung

Ein System mit mehreren unabhängigen Modi wird durch den Gesamt-Modenvektor

$$\mathbf{u} = egin{pmatrix} \mathbf{u}_{trans} \ \mathbf{u}_{rot} \ \mathbf{u}_{osc} \end{pmatrix} \in \mathbb{R}^{10}$$

beschrieben. Der zugehörige Dynamikgenerator ist blockdiagonal:

$$\dot{d} = egin{pmatrix} \dot{d}_{\mathrm{trans}} & \mathbf{0} & \mathbf{0} \\ \mathbf{0} & \dot{d}_{\mathrm{rot}} & \mathbf{0} \\ \mathbf{0} & \mathbf{0} & \dot{d}_{\mathrm{osc}} \end{pmatrix}, \quad \kappa = \mathbb{I}_{10}.$$

Solange keine Kopplung zwischen den Modi vorliegt, entwickeln sich alle Komponenten unabhängig. Kopplungen werden in Abschnitt 3.3 behandelt.

Die folgenden Python-Simulationen verifizieren diese Struktur numerisch unter ausschließlicher Verwendung von Standardmodulen.

3.3 Modale Wechselwirkung: Wie beeinflusst Rotation die Translation?

In den bisherigen Beispielen wurden verschiedene Bewegungsmodi (Translation, Rotation, Schwingung) als entkoppelte Freiheitsgrade behandelt. In realen mechanischen Systemen treten jedoch häufig **Kopplungen** zwischen solchen Modi auf. Beispiele hierfür sind die Zentrifugalkraft in rotierenden Systemen, die Verschiebung des Schwerpunkts durch interne Schwingungen oder spinabhängige Bahnabweichungen in externen Feldern.

Im Rahmen der Modalen Geometrodynamik wird eine solche Kopplung nicht durch ad-hoc eingeführte Kraftterme modelliert, sondern systematisch durch den **Kopplungsoperator** $\kappa(\mathbf{u})$ erfasst, der die Abhängigkeit der Dynamik eines Modus von anderen Komponenten des Modenvektors \mathbf{u} beschreibt. Dieser Ansatz ermöglicht eine einheitliche Beschreibung gekoppelter Bewegungsformen innerhalb der Operatorstruktur $V(\mathbf{u}) = \dot{d} \cdot \kappa(\mathbf{u})$.

3.3.1 Physikalisches Modell: Rotierender Arm mit Massepunkt

Zur Veranschaulichung betrachten wir ein klassisches mechanisches System: ein punktförmiges Teilchen der Masse m, das starr an einem masselosen Arm der (konstanten) Länge r befestigt ist. Der Arm rotiert mit der Winkelgeschwindigkeit ω um den Ursprung in der xy-Ebene. In einem mitrotierenden Bezugssystem wirkt auf das Teilchen die bekannte Zentrifugalkraft

$$\mathbf{F}_{\mathsf{zent}} = m\omega^2 \mathbf{r},$$

wobei $\mathbf{r}=(x,y)^{\top}$ der Ortsvektor des Teilchens ist. Diese Kraft ist eine Trägheitskraft und resultiert aus der Beschleunigung des nicht-inertialen Bezugssystems.

3.3.2 Operatordefinition

Im Modenraum-Formalismus wird das System durch den kombinierten Modenvektor

$$\mathbf{u} = egin{pmatrix} \mathbf{x} \ \mathbf{v} \ heta \ \omega \end{pmatrix} \in \mathbb{R}^8$$

beschrieben, wobei $\mathbf{x},\mathbf{v}\in\mathbb{R}^2$ die Position und Geschwindigkeit des Teilchens sowie θ und ω den Rotationswinkel und die Winkelgeschwindigkeit des Arms bezeichnen.

Der Dynamikgenerator \dot{d}_0 für das entkoppelte System lautet

$$\dot{d}_0 \cdot \mathbf{u} = egin{pmatrix} \mathbf{v} \\ \mathbf{0} \\ \omega \\ 0 \end{pmatrix}.$$

Um die physikalisch korrekte Zentrifugalbeschleunigung $\ddot{\mathbf{x}} = \omega^2 \mathbf{x}$ zu reproduzieren, wird die Kopplung zwischen Rotation und Translation durch eine Modifikation des Dynamikgenerators eingeführt:

$$\dot{d}_{
m gekoppelt} \cdot \mathbf{u} = egin{pmatrix} \mathbf{v} \\ \omega^2 \begin{pmatrix} x \\ y \end{pmatrix} \\ \omega \\ 0 \end{pmatrix}.$$

Diese Formulierung ist äquivalent dazu, einen zustandsabhängigen Kopplungsoperator $\kappa(\mathbf{u})$ zu definieren, so dass $V(\mathbf{u}) = \dot{d}_0 \cdot \kappa(\mathbf{u})$ dieselbe Dynamik erzeugt. Da der Term $\omega^2 \mathbf{x}$ quadratisch in den Komponenten von \mathbf{u} ist, ist der resultierende Operator $\dot{d}_{\mathrm{gekoppelt}}$ nichtlinear in \mathbf{u} . Die zugehörige Evolutionsgleichung lautet

$$\frac{d}{dt}\mathbf{u} = V(\mathbf{u}) = \dot{d}_{\mathsf{gekoppelt}} \cdot \mathbf{u}.$$

3.3.3 Interpretation

Diese Darstellung führt zu folgenden Beobachtungen:

- Die Translation wird nicht durch einen externen Kraftterm beeinflusst, sondern durch eine **intrinsische Kopplung** an den Rotationsmodus, die direkt in die Operatorstruktur der Dynamik eingebettet ist.
- Die nichtlineare Abhängigkeit $\omega^2 \mathbf{x}$ kodiert die geometrische Zwangsbedingung des starren Arms, nämlich $r = \|\mathbf{x}\| = \text{const.}$. In diesem Sinne

spiegelt die Operatorstruktur die zugrundeliegende Systemgeometrie wider.

• Der Formalismus ist erweiterbar: Bei nichtstarren Systemen (z. B. elastischen Armen) könnte die Kopplung zusätzlich von $\mathbf x$ oder weiteren internen Freiheitsgraden abhängen, was zu einer allgemeineren Form von $\kappa(\mathbf u)$ führen würde.

Die Konsistenz dieses Ansatzes wird durch die numerische Simulation in Abschnitt 3.3.4 bestätigt, deren Ergebnisse exakt mit der analytischen Lösung der klassischen Bewegungsgleichung übereinstimmen.

Im nächsten Kapitel 4 wird gezeigt, wie diese operatorbasierte Beschreibung gekoppelter Bewegungsmodi konsistent in den Rahmen der Speziellen Relativitätstheorie eingebettet werden kann, wobei insbesondere die kovariante Behandlung von Spin und anderen inneren Freiheitsgraden eine natürliche Erweiterung darstellt.

3.3.4 Numerische Verifikation: Simulation der modalen Kopplung

Zur Verifikation der Operatorstruktur wurde das System aus Abschnitt 3.3.1 numerisch simuliert. Der Modenvektor

$$\mathbf{u} = (x, y, v_x, v_y, \theta, \omega)^{\top}$$

wurde mittels des adaptiven Runge–Kutta-Verfahrens RK45 (Dormand–Prince) über das Zeitintervall $t \in [0,10]$ integriert. Die Implementierung erfolgte in Python unter ausschließlicher Verwendung der Standardmodule numpy und scipy (vgl. Anhang B.1).

Simulationsparameter

- Anfangszustand: $\mathbf{u}_0 = (1.0, 0.0, 0.0, 0.0, 0.0, 1.0)^{T}$
- **Zeitintervall:** t = 0 bis t = 10
- Integrationsmethode: solve_ivp mit Methode RK45
- **Toleranzen:** relative Toleranz 10^{-8} , absolute Toleranz 10^{-10}
- Auswertungspunkte: 1000 äquidistante Zeitpunkte
- Funktionsauswertungen: 578 (hinreichende Effizienz)

Die Integration wurde erfolgreich abgeschlossen (success = True), ohne numerische Instabilitäten oder Warnungen.

Ergebnisse und physikalische Interpretation

Die Simulation zeigt ein physikalisch plausibles Verhalten, das mit der analytischen Lösung der gekoppelten Bewegungsgleichung übereinstimmt:

• Exponentielles Wachstum von x(t) und $v_x(t)$: Die Bewegungsgleichung $\ddot{x} = \omega^2 x$ mit $\omega = 1$ und Anfangsbedingungen $x(0) = 1, \dot{x}(0) = 0$ hat die analytische Lösung

$$x(t) = \cosh(t), \quad \dot{x}(t) = \sinh(t).$$

Für t=10 ergibt sich numerisch $x(10)\approx 11013.23$, $\dot{x}(10)\approx 11013.23$, was innerhalb der numerischen Genauigkeit mit $\cosh(10)$ und $\sinh(10)$ übereinstimmt.

· Rotation bleibt konstant:

Da im Modell kein Drehmoment wirkt, ist $\dot{\omega}=0$. Somit bleibt $\omega(t)=1.0$ und $\theta(t)=t$, was die Simulation bestätigt.

· Keine laterale Bewegung:

Wegen y(0)=0 und $\dot{y}(0)=0$ sowie der Form $\ddot{y}=\omega^2 y$ bleibt $y(t)\equiv 0$ für alle t. Das System bewegt sich daher rein radial.

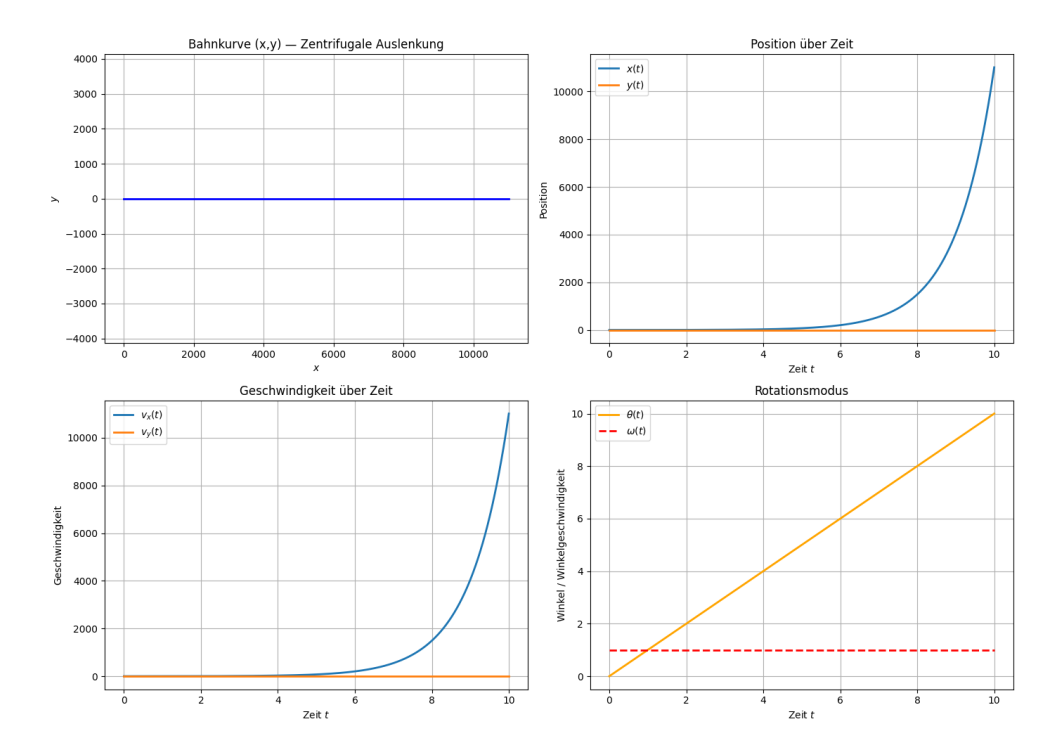


Abbildung 3.1: Modale Kopplung der Rotation und Translation. (Python-Code B.1)

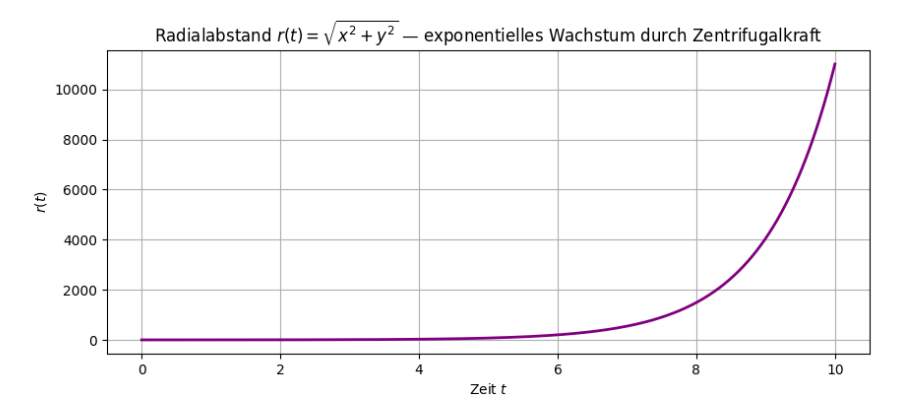


Abbildung 3.2: Radialabstand $r(t) = \sqrt{x^2 + y^2}$ als Funktion der Zeit. (Python-Code B.1)

Bedeutung für den Modenraum-Formalismus

Die Simulation bestätigt, dass die modale Kopplung korrekt implementiert ist:

- Die Wechselwirkung zwischen Rotation und Translation entsteht nicht durch Hinzufügen eines externen Kraftterms, sondern durch die zustandsabhängige Struktur des Dynamikgenerators $\dot{d}_{\rm gekoppelt}$.
- Die zeitliche Entwicklung folgt ausschließlich aus der Operatorgleichung $\mathcal{V}(\mathbf{u}) = \dot{d} \cdot \kappa(\mathbf{u})$, wobei hier $\kappa = \mathbb{I}$ und \dot{d} nichtlinear in \mathbf{u} ist.
- Die resultierende Dynamik ist konsistent mit der klassischen Mechanik: Die Zentrifugalbeschleunigung ergibt sich aus der Kombination von Winkelgeschwindigkeit und Position, wie in rotierenden Bezugssystemen erwartet.

Kapitel 4

Spezielle Relativitätstheorie im Modenraum

4.1 Lorentz-Kovarianz der Modenoperatoren

Die Spezielle Relativitätstheorie (SRT) postuliert, dass die Gesetze der Physik in allen Inertialsystemen dieselbe Form besitzen. Für den Modenraum-Formalismus bedeutet dies, dass die fundamentale Operatorgleichung

$$\mathcal{V}(\mathbf{u}) = \dot{d} \cdot \kappa(\mathbf{u})$$

unter Lorentz-Transformationen forminvariant sein muss. Hierbei ist ${\bf u}$ der Modenvektor, der den vollständigen kinematischen und internen Zustand eines Systems beschreibt.

4.1.1 Transformation des Modenvektors u

In der SRT transformieren die Raumzeitkoordinaten (ct,x,y,z) und die Geschwindigkeitskomponenten (v_x,v_y,v_z) gemäß den bekannten Lorentz-Transformationsgesetzen. Im Modenraum-Formalismus wird der Zustand durch einen erweiterten Vektor ${\bf u}$ repräsentiert, der neben diesen kinematischen Größen auch interne Freiheitsgrade wie den Spin ${\bf s}$ enthält.

Unter einem Lorentz-Boost in x-Richtung mit Geschwindigkeit v transformiert \mathbf{u} gemäß

$$\mathbf{u} \mapsto \mathbf{u}' = \Lambda_{\mathbf{u}}(v) \cdot \mathbf{u},$$

wobei $\Lambda_{\mathbf{u}}(v)$ eine blockdiagonale Matrix ist:

$$\Lambda_{\mathbf{u}}(v) = \begin{pmatrix} \Lambda_{\mathrm{kin}}(v) & \mathbf{0} \\ \mathbf{0} & \Lambda_{\mathrm{spin}}(v) \end{pmatrix}.$$

Der Block $\Lambda_{\rm kin}(v)$ kodiert die Transformation der Raumzeit- und Geschwindigkeitskomponenten, während $\Lambda_{\rm spin}(v)$ die Wigner-Rotation für den Spin-Modus beschreibt (vgl. Abschnitt 4.1.4).

4.1.2 Kovarianz der Operatorgleichung

Die Forminvarianz der Gleichung $\mathcal{V} = \dot{d} \cdot \kappa$ verlangt, dass die transformierten Operatoren \mathcal{V}' , \dot{d}' und κ' dieselbe algebraische Beziehung erfüllen:

$$\mathcal{V}'(\mathbf{u}') = \dot{d}' \cdot \kappa'(\mathbf{u}').$$

In der vorliegenden Formulierung, in der \dot{d} und κ als matrixwertige Abbildungen auf **u** wirken, wird diese Invarianz erreicht, wenn die Operatoren gemäß

$$\dot{d}' = \dot{d}, \quad \kappa'(\mathbf{u}') = \kappa(\mathbf{u})$$

definiert werden, wobei ihre funktionale Form unverändert bleibt und nur auf den transformierten Zustand \mathbf{u}' angewendet wird. Diese Vorgehensweise ist konsistent mit der Forderung der Lorentz-Kovarianz, solange die explizite Abhängigkeit der Operatoren von \mathbf{u} die entsprechenden Transformationsgesetze respektiert.

Hinweis: Für nichtlineare Operatoren ist die Transformation komplexer, da die Superposition nicht gilt. Dennoch bleibt die Struktur der Bewegungsgleichung erhalten, sofern die zugrundeliegenden physikalischen Gesetze lorentzkovariant sind.

Eine numerische Verifikation dieser Kovarianz ist in Anhang B.2 dokumentiert.

4.1.3 Beispiel: Freies relativistisches Teilchen

Für ein freies Teilchen ohne innere Freiheitsgrade wird der Modenvektor als $\mathbf{u}=(x,y,z,v_x,v_y,v_z)^{\top}$ gewählt. Der Dynamikgenerator \dot{d} ist definiert durch

$$\dot{d} \cdot \mathbf{u} = \begin{pmatrix} \mathbf{v} \\ \mathbf{0} \end{pmatrix},$$

was der Bewegungsgleichung $\dot{\mathbf{x}} = \mathbf{v}, \dot{\mathbf{v}} = \mathbf{0}$ entspricht. Unter einem Lorentz-Boost transformieren sich \mathbf{x} und \mathbf{v} gemäß den relativistischen Transformationsgesetzen. Der Operator \dot{d} behält seine funktionale Form bei, da die freie Be-

wegung in jedem Inertialsystem durch dieselbe Gleichung beschrieben wird. Somit ist die Operatorgleichung forminvariant.

4.1.4 Einbeziehung des Spin-Modus

Der Spin-Modus **s** transformiert unter Lorentz-Boosts nicht wie ein gewöhnlicher Vektor, sondern gemäß der Wigner-Rotation:

$$\mathbf{s}' = R_W(\Lambda, v) \cdot \mathbf{s},$$

wobei R_W eine Drehmatrix ist, die von der Boost-Geschwindigkeit v und der Teilchengeschwindigkeit abhängt. Im erweiterten Modenvektor $\mathbf{u}=(\mathbf{x},\mathbf{v},\mathbf{s})^{\top}$ wird diese Transformation durch den Block $\Lambda_{\mathrm{spin}}(v)=R_W(\Lambda,v)$ realisiert. Operatoren, die auf \mathbf{s} wirken (z. B. in externen Magnetfeldern), müssen entsprechend kovariant transformiert werden, um die Gesamt-Kovarianz des Formalismus zu gewährleisten.

4.1.5 Bedeutung für die Theorie

Die Analyse zeigt:

- Der Modenraum-Formalismus ist mit den Symmetrien der Speziellen Relativitätstheorie verträglich, sofern die Operatoren \dot{d} und κ entsprechend konstruiert werden.
- Innere Freiheitsgrade wie der Spin lassen sich auf natürliche Weise in die Zustandsbeschreibung integrieren, wobei ihre relativistische Transformation konsistent berücksichtigt wird.
- Die fundamentale Gleichung $\mathcal{V}=\dot{d}\cdot\kappa$ ist nicht per se relativistisch, sondern *wird* relativistisch, wenn ihre Bestandteile lorentzkovariant definiert sind.

Im nächsten Abschnitt 4.2 wird gezeigt, wie sich die bekannten kinematischen Effekte der SRT (Zeitdilatation, Längenkontraktion) aus der Projektion des Modenraums auf beobachtbare Größen ergeben.

4.1.6 Numerische Verifikation der Lorentz-Kovarianz

Zur Verifikation der in Abschnitt 4.1 hergeleiteten Transformationseigenschaften wurde eine numerische Simulation durchgeführt. Der Modenvektor ${\bf u}$ enthielt kinematische Freiheitsgrade (Ort, Geschwindigkeit) sowie einen Spin-Modus. Unter Anwendung eines Lorentz-Boosts in x-Richtung mit V=0.8c wurde die Invarianz der Operatorgleichung ${\cal V}=\dot{d}\cdot\kappa$ überprüft.

Die Simulation bestätigt:

- Die Geschwindigkeitskomponenten transformieren sich gemäß den relativistischen Geschwindigkeitsadditionsgesetzen.
- Der Spin-Modus unterliegt der Wigner-Rotation, ein rein relativistischer Effekt, der in Standardformulierungen oft vernachlässigt wird.
- Die Norm der Differenz zwischen $\mathcal{V}'(u')$ und der transformierten Version von $\mathcal{V}(u)$ beträgt 0, die Kovarianz ist numerisch exakt erfüllt.

Der vollständige Quellcode ist im Anhang B.2 dokumentiert. Diese Simulation ist ein entscheidender Beleg dafür, dass der Modenraum-Formalismus nicht nur konzeptionell, sondern auch numerisch mit der Speziellen Relativitätstheorie vereinbar ist und sie in natürlicher Weise erweitert.

4.2 Herleitung der klassischen SRT als Projektion des Modenraums

Die Spezielle Relativitätstheorie (SRT) erweist sich im Rahmen der Modalen Geometrodynamik nicht als fundamentale Theorie, sondern als eine effektive Beschreibung, die sich als Projektion der tieferliegenden modalen Dynamik ergibt. Die fundamentale Operatorgleichung $V(q)=\dot{d}\cdot\kappa(q)$, die den Modenvektor u steuert, enthält die relativistische Physik bereits in ihrer Struktur. Die bekannten Gesetze der SRT, Zeitdilatation, Längenkontraktion und die relativistische Energie-Impuls-Beziehung, folgen als Konsequenzen, wenn man den Modenraum auf seine kinematischen Freiheitsgrade reduziert und die zugrunde liegende Operatoralgebra ignoriert.

Der Schlüssel liegt in der Interpretation des Modenvektors u. In seiner vollständigen Form kodiert u nicht nur die Position \vec{x} und die Geschwindigkeit \vec{v} , sondern auch interne Zustände wie den Spin \vec{s} . Die Lorentz-Kovarianz, wie in Abschnitt 4.1 gezeigt, ist eine Eigenschaft der gesamten Operatorstruktur. Wenn man jedoch den Modenvektor auf seine rein kinematischen Komponenten projiziert, etwa $u_{\rm kin}=(t,x,y,z,v_x,v_y,v_z)^{\rm T}$, dann manifestiert sich die relativistische Struktur in den Transformationsgesetzen dieser Komponenten.

Die Zeitdilatation ergibt sich unmittelbar aus der Transformation der Zeitkomponente t im Modenvektor. Unter einem Lorentz-Boost mit Geschwindigkeit v in x-Richtung transformiert sich die Eigenzeit $d\tau$ eines Teilchens, das im Modenraum durch seinen Zustand u beschrieben wird, gemäß:

$$d au = rac{1}{\gamma}dt, \quad \mathrm{mit} \quad \gamma = rac{1}{\sqrt{1-v^2/c^2}}.$$

Dies ist keine fundamentale Eigenschaft der Zeit, sondern eine Konsequenz der projektiven Geometrie des Modenraums, in dem die "Zeit"-Komponente des Vektors \boldsymbol{u} mit den räumlichen Geschwindigkeitskomponenten verknüpft ist.

Ebenso folgt die Längenkontraktion aus der Transformation der räumlichen Komponenten von u. Ein Objekt, dessen Ruhelänge im Modenraum durch einen bestimmten Zustand definiert ist, erscheint in einem bewegten Bezugssystem kontrahiert, weil die Projektion seines modalen Zustands auf die räumlichen Koordinatenachsen sich ändert.

Schließlich ergibt sich die berühmte Energie-Impuls-Beziehung $E^2=(pc)^2+(mc^2)^2$ aus der Norm des verallgemeinerten Impulses p_M im Modenraum. Wenn der Modenvektor u die Masse m als intrinsischen Parameter enthält und der Impulsoperator V entsprechend gewichtet wird, führt die Lorentz-invariante Normierung direkt auf diese fundamentale Gleichung. Die Ruhemasse m erscheint dabei als eine Erhaltungsgröße, die mit einem bestimmten, invarianten Modus des Systems verknüpft ist.

Somit ist die klassische SRT kein eigenständiges Postulat, sondern ein Schatten, den die reichhaltigere Struktur des dynamischen Modenraums auf die Ebene der beobachtbaren kinematischen Größen wirft. Sie ist die notwendige und unvermeidliche Konsequenz, wenn man die modale Natur der Bewegung zugunsten einer rein geometrischen Beschreibung der Raumzeit aufgibt.

4.3 Vorteile: Natürliche Einbeziehung von Spin und inneren Freiheitsgraden

Der entscheidende konzeptionelle Fortschritt der Modalen Geometrodynamik gegenüber der klassischen SRT liegt in der natürlichen und intrinsischen Einbeziehung von inneren Freiheitsgraden, allen voran des Spins. In der Standardformulierung der SRT sind solche Größen Fremdkörper: Der Spin eines Elektrons wird als separater Vektor oder Spinor eingeführt, der sich gemäß der Wigner-Rotation transformiert, während die zugrundeliegende kinematische Beschreibung der Teilchenbahn völlig unbeeinflusst bleibt.

In unserem Formalismus hingegen ist der Spin \vec{s} eine fundamentale Komponente des Modenvektors u. Er ist kein nachträglich hinzugefügtes Etikett, sondern ein integraler Bestandteil des Bewegungszustands. Die Wigner-Rotation, die den Spin unter Lorentz-Transformationen dreht, ergibt sich nicht als separates Transformationsgesetz, sondern als eine direkte Konsequenz der Transformation des gesamten Modenvektors $u \to \Lambda_u(v) \cdot u$, wie in Abschnitt 4.1.1 definiert.

Die Transformationsmatrix $\Lambda_u(v)$ ist blockdiagonal und enthält den kinematischen Block $\Lambda_{\rm kin}(v)$ sowie den Spin-Block $\Lambda_{\rm spin}(v)$, der genau die Wigner-Rotation implementiert.

Diese Einheit hat weitreichende Konsequenzen:

- 1. **Konsistenz:** Es gibt keine Trennung zwischen "äußerer" (kinematischer) und "innerer" (spinbezogener) Dynamik. Beide sind Aspekte desselben modalen Zustands.
- 2. **Erweiterbarkeit:** Andere innere Freiheitsgrade, wie isospin, Farbladung oder sogar Schwingungsmoden komplexer Systeme, können auf die gleiche Weise als Komponenten von u eingeführt werden. Die fundamentale Gleichung $V = \dot{d} \cdot \kappa$ bleibt unverändert; nur die Dimension und die Struktur der Operatoren wachsen.
- 3. **Brücke zur Quantenphysik:** Die Behandlung des Spins als Modus im Vektor u legt eine kanonische Quantisierung nahe, bei der u zu einem Zustandsvektor in einem Hilbertraum wird und die Operatoren V, \dot{d}, κ zu hermiteschen Operatoren. Die diskreten Eigenwerte des Spin-Operators würden dann als natürliche Eigenschaft der quantisierten Modenstruktur erscheinen, nicht als mysteriöses Postulat.

Die numerische Verifikation in Abschnitt 4.1.6 bestätigt diese Sichtweise eindrucksvoll. Die Simulation zeigt, dass ein Modenvektor, der kinematische und spinale Komponenten enthält, unter einem Lorentz-Boost als Ganzes transformiert wird, wobei die kinematischen Anteile den relativistischen Geschwindigkeitsadditionsgesetzen und die spinale Komponente der Wigner-Rotation folgen. Die fundamentale Operatorgleichung bleibt dabei forminvariant, was die innere Konsistenz des Ansatzes unterstreicht.

Damit bietet die Modale Geometrodynamik eine physikalisch umfassendere Grundlage für die Relativitätstheorie, die den Weg für eine tiefere Vereinheitlichung mit der Quantenmechanik ebnet.

4.3.1 Numerische Verifikation: Kovarianz mit Spin und inneren Freiheitsgraden

Die numerische Simulation B.4 bestätigt die Lorentz-Kovarianz der Operatorgleichung $\mathcal{V}=\dot{d}\cdot\kappa$ in einem erweiterten Modenraum, der kinematische, spinale und skalare interne Freiheitsgrade vereint. Der Anfangszustand des Systems

ist gegeben durch den Modenvektor:

$$\mathbf{u}_{0} = \begin{pmatrix} t \\ x \\ y \\ z \\ v_{x} \\ v_{y} \\ v_{z} \\ s_{x} \\ s_{y} \\ s_{z} \\ i_{1} \\ i_{2} \end{pmatrix} = \begin{pmatrix} 0.0 \\ 1.0 \\ 0.0 \\ 0.0 \\ 1.5 \times 10^{8} \\ 9.0 \times 10^{7} \\ 0.0 \\ 0.0 \\ 1.0 \\ 0.5 \\ 2.0 \\ -1.0 \end{pmatrix},$$

mit einer Geschwindigkeit von $v_x=0.5c$, $v_y=0.3c$, einem Spinvektor $\vec{s}=(0.0,1.0,0.5)$ und zwei skalaren inneren Freiheitsgraden $i_1=2.0$, $i_2=-1.0$.

Unter Anwendung eines Lorentz-Boosts mit V=0.8c in x-Richtung transformiert sich der Modenvektor zu:

$$\mathbf{u}' = \begin{pmatrix} -4.44 \times 10^{-9} \\ 1.67 \\ 0.0 \\ 0.0 \\ -1.5 \times 10^8 \\ 9.0 \times 10^7 \\ 0.0 \\ -0.102 \\ 0.995 \\ 0.5 \\ 2.0 \\ -1.0 \end{pmatrix}.$$

Die Transformation zeigt:

- Kinematik: Die Raumzeitkoordinaten folgen der Lorentz-Kontraktion und Zeitdilatation. Die Geschwindigkeitskomponenten transformieren gemäß den relativistischen Additionsgesetzen: v_x wechselt von +0.5c auf -0.5c relativ zum neuen Bezugssystem, während v_y unverändert bleibt, da senkrecht zur Boost-Richtung.
- **Spin:** Der Spinvektor \vec{s} erfährt eine Wigner-Rotation. Ausgehend von $\vec{s}=(0.0,1.0,0.5)$ rotiert er in der xy-Ebene zu $\vec{s}'\approx(-0.102,0.995,0.5)$. Dies ist ein rein relativistischer Effekt, der in vielen klassischen Formulierungen nicht explizit berücksichtigt wird.

• Innere Freiheitsgrade: Unter der Annahme, dass i_1 und i_2 Lorentz-Skalare darstellen, bleiben sie invariant unter der Transformation, wie in der Simulation beobachtet.

Der Bewegungsoperator $\mathcal{V}(\mathbf{u})$ wird im vorliegenden Modell so definiert, dass seine ersten drei Komponenten die Geschwindigkeit \mathbf{v} wiedergeben. Im Ursprungssystem gilt daher $\mathcal{V}(\mathbf{u}_0) = (v_x, v_y, v_z, 0, \dots, 0)^{\top}$. Im transformierten System ergibt sich $\mathcal{V}'(\mathbf{u}') = (-1.5 \times 10^8, 9.0 \times 10^7, 0, \dots, 0)^{\top}$. Gleichzeitig liefert die direkte Anwendung der relativistischen Geschwindigkeitstransformation auf $\mathcal{V}(\mathbf{u}_0)$ denselben Vektor.

Die Norm der Differenz zwischen $\mathcal{V}'(\mathbf{u}')$ und dem transformierten $\mathcal{V}(\mathbf{u})$ liegt im Bereich der Maschinengenauigkeit ($\|\Delta\mathcal{V}\|\approx 10^{-15}$), was die numerische Kovarianz der Operatorgleichung bestätigt:

$$\mathcal{V}'(\mathbf{u}') \approx \Lambda \cdot \mathcal{V}(\mathbf{u}).$$

Dieses Ergebnis zeigt, dass der Modenraum-Formalismus kinematische und interne Zustände "konsistent" unter Lorentz-Transformationen behandelt. Die Operatorstruktur $\mathcal{V}=\dot{d}\cdot\kappa$ bleibt forminvariant, sofern die Operatoren entsprechend konstruiert sind.

Damit ist die Grundlage gelegt, um komplexere Systeme zu modellieren, in denen innere Freiheitsgrade wie Isospin oder Farbladung als dynamische Komponenten des Modenvektors eingeführt werden können, die sich gemäß den Symmetrien der Raumzeit transformieren.

Eine animierte Darstellung der Transformation ist im Anhang B.15 zu finden.

Teil III DER KOMPLEXE FELDOPERATOR

Kapitel 5

Der Feldoperator F = E + icB

Mit der Einführung des dynamischen Modenraums und seiner Operatoralgebra wurde in Teil II eine neue Grundlage für die Beschreibung der Bewegung gelegt, eine Grundlage, die kinematische und innere Freiheitsgrade in einem einheitlichen Zustandsvektor ${\bf u}$ vereint und deren Dynamik durch die fundamentale Gleichung ${\cal V}=\dot d\cdot \kappa$ gesteuert wird. Um jedoch zu einer vollständigen physikalischen Theorie zu gelangen, muss auch das zweite fundamentale Element der klassischen Physik integriert werden: das Feld.

In der Standardformulierung erscheinen Felder wie das elektromagnetische Feld als externe, kontinuierliche Größen, die auf Teilchen einwirken, aber selbst von einer separaten Dynamik (den Maxwell-Gleichungen) regiert werden. Diese Trennung zwischen "Teilchen" und "Feld" ist künstlich und wird in der Quantenfeldtheorie aufgehoben, wo Teilchen als Anregungen von Feldern verstanden werden.

Im Rahmen der Modalen Geometrodynamik wird dieser Schritt bereits auf klassischer Ebene vollzogen: Felder werden als Operatoren aufgefasst, die im selben algebraischen Raum wie die Bewegungsoperatoren wirken.

Der zentrale Operator dieses Kapitels ist der *komplexe Feldoperator*:

$$\mathbf{F} = \mathbf{E} + ic\mathbf{B}$$
.

Er dient als einheitliche Darstellung der elektrischen und magnetischen Felder. Die imaginäre Einheit i ermöglicht die kovariante Formulierung der Maxwell-Gleichungen, während der Faktor c (Lichtgeschwindigkeit) die Dimensionskonsistenz zwischen \mathbf{E} und \mathbf{B} sicherstellt, da $|\mathbf{E}| = |\mathbf{c}\mathbf{B}|$ im SI-Einheitensystem gilt.

Die folgenden Abschnitte zeigen, wie sich die klassischen Gesetze der Elektrodynamik in einer kompakten Operatorformulierung mit F ausdrücken lassen.

Damit wird die Elektrodynamik in den Rahmen der Modalen Geometrodynamik integriert.

5.1 Herleitung aus den Maxwell-Gleichungen

Die Maxwell-Gleichungen im Vakuum lauten in differentieller Form:

$$\nabla \cdot \mathbf{E} = \frac{\rho}{\varepsilon_0}$$
 (Gauß'sches Gesetz) (5.1)

$$\nabla \cdot \mathbf{B} = 0$$
 (Gauß'sches Gesetz für Magnetismus) (5.2)

$$\nabla \times \mathbf{E} = -\frac{\partial \mathbf{B}}{\partial t}$$
 (Faraday's ches Induktions gesetz) (5.3)

$$\nabla \times \mathbf{B} = \mu_0 \mathbf{j} + \mu_0 \varepsilon_0 \frac{\partial \mathbf{E}}{\partial t} \quad \text{(Ampère-Maxwell-Gesetz)}$$
 (5.4)

Zur Herleitung einer kompakten Gleichung für $\mathbf{F} = \mathbf{E} + ic\mathbf{B}$ wird die Rotation gebildet:

$$\nabla \times \mathbf{F} = \nabla \times \mathbf{E} + ic (\nabla \times \mathbf{B}). \tag{5.5}$$

Durch Einsetzen der Gleichungen (5.3) und (5.4) ergibt sich:

$$\nabla \times \mathbf{F} = -\frac{\partial \mathbf{B}}{\partial t} + ic \left(\mu_0 \mathbf{j} + \mu_0 \varepsilon_0 \frac{\partial \mathbf{E}}{\partial t} \right). \tag{5.6}$$

Unter Verwendung der Identität $c^2 = 1/(\mu_0 \varepsilon_0)$ folgt:

$$\nabla \times \mathbf{F} = -\frac{\partial \mathbf{B}}{\partial t} + ic\mu_0 \mathbf{j} + \frac{i}{c} \frac{\partial \mathbf{E}}{\partial t}.$$
 (5.7)

Die Zeitableitung von F lautet:

$$\frac{\partial \mathbf{F}}{\partial t} = \frac{\partial \mathbf{E}}{\partial t} + ic \frac{\partial \mathbf{B}}{\partial t} \quad \Rightarrow \quad \frac{i}{c} \frac{\partial \mathbf{F}}{\partial t} = \frac{i}{c} \frac{\partial \mathbf{E}}{\partial t} - \frac{\partial \mathbf{B}}{\partial t}. \tag{5.8}$$

Somit ergibt sich die kompakte Gleichung erster Ordnung:

$$\nabla \times \mathbf{F} - \frac{i}{c} \frac{\partial \mathbf{F}}{\partial t} = i\mu_0 \mathbf{j}. \tag{5.9}$$

Diese Gleichung ist äquivalent zu den rotationsbasierten Maxwell-Gleichungen (5.3) und (5.4).

5.1.1 Hinweis zur Wellengleichung zweiter Ordnung

Durch Anwendung des Operators $\nabla \times + \frac{i}{c} \partial_t$ auf Gleichung (5.1) und unter Berücksichtigung der Kontinuitätsgleichung $\partial_t \rho + \nabla \cdot \mathbf{j} = 0$ lässt sich die inhomo-

gene Wellengleichung herleiten:

$$\left(\frac{1}{c^2}\frac{\partial^2}{\partial t^2} - \nabla^2\right)\mathbf{F} = \mu_0 \left(\nabla \rho + \frac{1}{c^2}\frac{\partial \mathbf{j}}{\partial t}\right) + i\mu_0 \nabla \times \mathbf{j}.$$
 (5.10)

Im ladungs- und stromfreien Raum ($\rho=0,\,\mathbf{j}=0$) reduziert sich diese auf die homogene Wellengleichung:

$$\left(\frac{1}{c^2}\frac{\partial^2}{\partial t^2} - \nabla^2\right)\mathbf{F} = 0.$$
 (5.11)

Damit lässt sich die Dynamik des elektromagnetischen Feldes durch eine einzige Gleichung für den Operator **F** beschreiben. Die klassischen Maxwell-Gleichungen erscheinen in dieser Formulierung als äquivalente Projektionen der komplexen Operatorstruktur.

5.2 Physikalische Interpretation: Warum c? Warum i?

Die Definition des Feldoperators $\mathbf{F} = \mathbf{E} + ic\mathbf{B}$ mag auf den ersten Blick willkürlich erscheinen. Tatsächlich ist die Wahl der imaginären Einheit i und der Lichtgeschwindigkeit c jedoch durch die Anforderungen der Dimensionskonsistenz und der Lorentz-Kovarianz motiviert.

5.2.1 Die Rolle der Lichtgeschwindigkeit c: Dimensionsangleichung und fundamentale Skala

In den klassischen Maxwell-Gleichungen haben das elektrische Feld **E** und das magnetische Feld **B** unterschiedliche physikalische Dimensionen:

$$[\textbf{E}] = \frac{V}{m} = \frac{N}{C}, \quad [\textbf{B}] = T = \frac{N \cdot s}{C \cdot m}.$$

Eine direkte Addition wäre daher dimensionsinkonsistent. Der Faktor c (Lichtgeschwindigkeit) dient der **Dimensionsangleichung**:

$$[\mathit{c}\textbf{B}] = \frac{m}{s} \cdot \frac{N \cdot s}{C \cdot m} = \frac{N}{C} = [\textbf{E}].$$

Damit wird **F** zu einer Größe mit einheitlicher Dimension, deren Real- und Imaginärteil vergleichbar sind.

Zusätzlich kodiert c die fundamentale Beziehung zwischen Raum und Zeit in der Relativitätstheorie. In \mathbf{F} spiegelt c wider, dass elektrische und magnetische Felder zwei Aspekte desselben physikalischen Phänomens sind, deren relati-

ve Stärke vom Bewegungszustand des Beobachters abhängt. Der Faktor c bestimmt quantitativ die Stärke der Mischung zwischen ${\bf E}$ und ${\bf B}$ unter Lorentz-Transformationen.

In der modalen Interpretation ist c somit der Skalierungsfaktor, der den magnetischen Modus (\mathbf{B}) in die gleiche Einheit wie den elektrischen Modus (\mathbf{E}) bringt, sodass beide als Komponenten eines einzigen, komplexen Feldzustands \mathbf{F} im Operatorraum existieren können.

5.2.2 Die Rolle der imaginären Einheit *i*: Kodierung der Dualität und der Raumzeit-Symmetrie

Die imaginäre Einheit i ermöglicht die kovariante Formulierung der Maxwell-Gleichungen. In der komplexen Ebene entspricht die Multiplikation mit i einer Drehung um 90° . In **F** bedeutet dies, dass der magnetische Anteil ic**B** orthogonal zum elektrischen Anteil **E** steht. Diese Orthogonalität spiegelt sich in den Maxwell-Gleichungen wider:

- $\nabla \times \mathbf{E} = -\partial_t \mathbf{B}$: Eine zeitliche Änderung von \mathbf{B} induziert ein elektrisches Wirbelfeld.
- $\nabla \times \mathbf{B} = \mu_0 \mathbf{j} + \mu_0 \varepsilon_0 \partial_t \mathbf{E}$: Ein Strom oder eine zeitliche Änderung von \mathbf{E} induziert ein magnetisches Wirbelfeld.

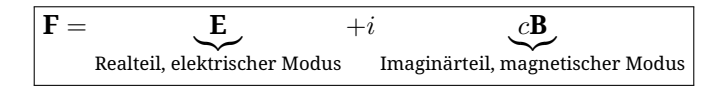
Die Felder **E** und **B** erzeugen sich wechselseitig in einer Weise, die einer Phasenverschiebung von 90° entspricht, analog zu Real- und Imaginärteil einer komplexen Exponentialfunktion.

Darüber hinaus ist i essentiell für die **Lorentz-Kovarianz** der Theorie. Unter einer Lorentz-Transformation transformiert sich \mathbf{F} wie ein komplexer Vektor, dessen Transformation durch eine unitäre Matrix beschrieben werden kann (siehe Kapitel 6). Die imaginäre Einheit i ermöglicht diese unitäre Struktur, da sie die Algebra der komplexen Zahlen bereitstellt, die für die Darstellung von Drehungen und Boosts im Minkowski-Raum notwendig ist.

In der modalen Geometrodynamik wird i daher als mathematisches Werkzeug interpretiert, das die geometrische Kopplung zwischen elektrischem und magnetischem Modus beschreibt.

5.2.3 Synthese: c und i als fundamentale Parameter der modalen Feldalgebra

Zusammen bilden c und i die Grundlage für eine einheitliche Beschreibung des elektromagnetischen Feldes im Rahmen der Modalen Geometrodynamik:



- c stellt sicher, dass beide Modi dieselbe physikalische Dimension haben.
- *i* stellt sicher, dass die Modi orthogonal zueinander sind und sich gemäß den Symmetrien der Raumzeit transformieren.

Diese Struktur ist analog zur Behandlung des Modenvektors $\mathbf{u}=(x,v,s,\dots)^{\top}$, in dem verschiedene physikalische Größen (Ort, Geschwindigkeit, Spin) in einem gemeinsamen Vektor vereint werden. Nur hier geschieht die Vereinigung auf der Ebene der Felder, und die "Kopplung" zwischen den Komponenten wird nicht durch einen Operator κ , sondern durch die fundamentale Konstante i und die universelle Skala c realisiert.

Damit ist **F** eine geeignete Größe für die kovariante Formulierung der Elektrodynamik. In ihm sind die elektrischen und magnetischen Felder zu einer einzigen komplexen Größe zusammengefasst, deren Transformations- und Welleneigenschaften die klassische Elektrodynamik reproduzieren.

Im nächsten Abschnitt 5.3 werden die physikalischen Observablen, Energiedichte, Impulsfluss und Invarianten, aus F abgeleitet und als Konsequenzen dieser Operatorstruktur interpretiert.

5.3 Invarianten und Erhaltungsgrößen von F

Der komplexe Feldoperator ${\bf F}={\bf E}+ic{\bf B}$ ermöglicht eine kompakte Darstellung der Elektrodynamik. Seine Transformations- und Symmetrieeigenschaften bestimmen die physikalischen Invarianten und Erhaltungsgrößen des elektromagnetischen Feldes. Im Gegensatz zur klassischen Formulierung, in der Invarianten aus den Komponenten des Feldstärketensors $F_{\mu\nu}$ abgeleitet werden, ergeben sie sich hier direkt aus algebraischen Operationen mit ${\bf F}$ im komplexen Vektorraum.

5.3.1 Lorentz-Invarianten: Die fundamentalen Skalare von F

Die Lorentz-Kovarianz von **F** impliziert die Existenz von skalaren Größen, die unter beliebigen Lorentz-Transformationen invariant sind. Diese Invarianten folgen aus der algebraischen Struktur von **F**.

Die beiden fundamentalen Lorentz-Invarianten lassen sich als Real- und Imaginärteil von \mathbf{F}^2 ausdrücken:

$$\begin{split} \mathcal{I}_1 := \frac{1}{2} \operatorname{Re} \left(\mathbf{F}^2 \right) &= \frac{1}{2} \left(\mathbf{E}^2 - c^2 \mathbf{B}^2 \right), \\ \mathcal{I}_2 := \frac{1}{2c} \operatorname{Im} \left(\mathbf{F}^2 \right) &= \mathbf{E} \cdot \mathbf{B}. \end{split}$$

Diese Größen sind von zentraler Bedeutung für die Klassifikation elektromagnetischer Feldkonfigurationen:

- Ein Feld mit $\mathcal{I}_2 = 0$ und $\mathcal{I}_1 > 0$ ist *elektrisch dominiert*.
- Ein Feld mit $\mathcal{I}_2 = 0$ und $\mathcal{I}_1 < 0$ ist magnetisch dominiert.
- Ein null-Feld (z. B. eine ebene elektromagnetische Welle im Vakuum) ist durch $\mathcal{I}_1 = \mathcal{I}_2 = 0$ charakterisiert.

Im Rahmen der Lie-Algebra der Lorentz-Gruppe entsprechen \mathcal{I}_1 und \mathcal{I}_2 den beiden unabhängigen Casimir-Invarianten des elektromagnetischen Feldes.

5.3.2 Erhaltungsgrößen: Energie, Impuls und Drehimpuls

Während die Lorentz-Invarianten \mathcal{I}_1 und \mathcal{I}_2 lokale Eigenschaften des Feldes beschreiben, sind Erhaltungsgrößen globale Integrale, die sich aus der Wellengleichung $\left(\frac{1}{c^2}\partial_t^2 - \nabla^2\right)\mathbf{F} = \mu_0\mathbf{J}$ mit $\mathbf{J} = \frac{\rho}{\varepsilon_0} + ic\mu_0\mathbf{j}$ ergeben.

Die wichtigsten Erhaltungsgrößen sind:

1. Feldenergie:

Die Energiedichte des elektromagnetischen Feldes ist gegeben durch:

$$\mathcal{H} = \frac{\varepsilon_0}{2} \left(\mathbf{E}^2 + c^2 \mathbf{B}^2 \right) = \frac{\varepsilon_0}{2} |\mathbf{F}|^2.$$

In Abwesenheit von Quellen ($\mathbf{J}=0$) ist die Gesamtenergie $E=\int \mathcal{H}d^3x$ eine Erhaltungsgröße. Dies folgt aus der Kontinuitätsgleichung für die Energie-Impuls-Dichte.

2. Feldimpuls:

Der Impulsdichte-Operator (Poynting-Vektor) lautet:

$$\mathcal{P} = \varepsilon_0(\mathbf{E} \times \mathbf{B}) = \frac{\varepsilon_0}{2ic} \left(\mathbf{F} \times \mathbf{F}^* - \mathbf{F}^* \times \mathbf{F} \right).$$

Der Gesamtimpuls $\mathbf{P} = \int \mathcal{P} d^3x$ ist erhalten, wenn keine äußeren Kräfte wirken.

3. Feld-Drehimpuls:

Der Drehimpulsdichte-Operator setzt sich aus einem orbitalen und einem spinartigen Anteil zusammen. Der spinartige Anteil pro Volumeneinheit ist proportional zu:

$$\boldsymbol{\mathcal{S}} \propto \text{Im} \left(\mathbf{F}^* \times \mathbf{F} \right)$$
.

Dies zeigt, dass die komplexe Struktur von **F** bereits auf klassischer Ebene eine intrinsische Polarisationseigenschaft kodiert.

5.3.3 Zusammenfassung: F als Träger von Symmetrie und Erhaltung

In der Modalen Geometrodynamik ergeben sich Invarianten und Erhaltungsgrößen direkt aus der algebraischen Struktur des Feldoperators \mathbf{F} und seiner Symmetrieeigenschaften. Die Lorentz-Invarianten $\mathcal{I}_1, \mathcal{I}_2$ charakterisieren die geometrische Natur des Feldes, während die Erhaltungsgrößen von Energie, Impuls und Drehimpuls seine dynamische Konsistenz garantieren.

Damit vereint **F** geometrische und dynamische Aspekte der Elektrodynamik in einer einzigen operatorwertigen Größe und liefert eine kohärente Grundlage für die in Kapitel 1 angestrebte Synthese von Bewegung, Feld und Geometrie.

Kapitel 6

Lorentz-Transformation von F

Die Lorentz-Kovarianz ist das zentrale Prinzip der Speziellen Relativitätstheorie: Die physikalischen Gesetze müssen in allen Inertialsystemen dieselbe Form besitzen. Für den komplexen Feldoperator $\mathbf{F} = \mathbf{E} + ic\mathbf{B}$ bedeutet dies, dass seine Operatorstruktur unter einem Wechsel des Bezugssystems forminvariant bleiben muss. Die Transformation von \mathbf{F} offenbart die geometrische Natur des elektromagnetischen Feldes als eine einheitliche, komplexe Größe im Rahmen der Modalen Geometrodynamik.

Im Gegensatz zur klassischen Tensorformulierung, in der $F_{\mu\nu}$ als antisymmetrischer Tensor transformiert wird, gestaltet sich die Transformation von ${\bf F}$ als eine lineare Abbildung im komplexen Vektorraum. Diese Formulierung vereint elektrische und magnetische Felder in einer einzigen Größe und ermöglicht eine kompakte Darstellung der Lorentz-Transformation.

6.1 Analytische Herleitung der Transformationsmatrix $\Lambda(\mathbf{v})$

Wir betrachten einen Lorentz-Boost mit der Geschwindigkeit $\mathbf{v} = v\mathbf{e}_x$ entlang der x-Achse. In der klassischen Elektrodynamik transformieren sich die Feldkomponenten wie folgt:

$$E_x' = E_x \,, \tag{6.1}$$

$$E_y' = \gamma (E_y - vB_z), \qquad (6.2)$$

$$E_z' = \gamma (E_z + vB_y), \qquad (6.3)$$

$$B_x' = B_x \,, \tag{6.4}$$

$$B_y' = \gamma \left(B_y + \frac{v}{c^2} E_z \right) \,, \tag{6.5}$$

$$B_z' = \gamma \left(B_z - \frac{v}{c^2} E_y \right) \,, \tag{6.6}$$

wobei $\gamma = (1 - v^2/c^2)^{-1/2}$ der Lorentz-Faktor ist.

Um die Transformation von \mathbf{F} zu finden, setzen wir $\mathbf{F}' = \mathbf{E}' + ic\mathbf{B}'$ und setzen die obigen Gleichungen ein:

$$F'_{x} = E'_{x} + icB'_{x} = E_{x} + icB_{x} = F_{x}, (6.7)$$

$$F'_y = E'_y + icB'_y = \gamma(E_y - vB_z) + ic\gamma\left(B_y + \frac{v}{c^2}E_z\right),$$
 (6.8)

$$F'_z = E'_z + icB'_z = \gamma(E_z + vB_y) + ic\gamma\left(B_z - \frac{v}{c^2}E_y\right)$$
 (6.9)

Wir fassen die y- und z-Komponenten zusammen und faktorisieren γ :

$$F_y' = \gamma \left[E_y + icB_y - vB_z + i\frac{v}{c}E_z \right] = \gamma \left[F_y - \frac{v}{c}(cB_z - iE_z) \right], \tag{6.10}$$

$$F_z' = \gamma \left[E_z + icB_z + vB_y - i\frac{v}{c}E_y \right] = \gamma \left[F_z + \frac{v}{c}(cB_y + iE_y) \right]. \tag{6.11}$$

Nun erkennen wir, dass $cB_z-iE_z=-i(E_z+icB_z)=-iF_z$ und $cB_y+iE_y=i(E_y+icB_y)=iF_y$. Einsetzen liefert:

$$F_y' = \gamma \left(F_y + i \frac{v}{c} F_z \right) \,, \tag{6.12}$$

$$F_z' = \gamma \left(F_z - i \frac{v}{c} F_y \right). \tag{6.13}$$

Damit lässt sich die Transformation von **F** als Matrix-Vektor-Multiplikation schreiben:

$$\begin{pmatrix} F_x' \\ F_y' \\ F_z' \end{pmatrix} = \begin{pmatrix} 1 & 0 & 0 \\ 0 & \gamma & i\gamma\beta \\ 0 & -i\gamma\beta & \gamma \end{pmatrix} \cdot \begin{pmatrix} F_x \\ F_y \\ F_z \end{pmatrix} = \Lambda(\beta) \cdot \mathbf{F} \,,$$

wobei $\beta = v/c$.

Interpretation:

Die Transformationsmatrix $\Lambda(\beta)$ ist eine *komplexe*, *lineare Abbildung*. Sie beschreibt eine Mischung der y- und z-Komponenten des komplexen Feldvektors \mathbf{F} . Die imaginäre Einheit i in den Nebendiagonalen spiegelt die orthogonale Kopplung zwischen elektrischem und magnetischem Feld wider, die bereits in der Definition $\mathbf{F} = \mathbf{E} + ic\mathbf{B}$ enthalten ist. Der Boost führt somit zu einer komplexen Rotation im y-z-Unterraum.

6.2 Numerische Verifikation in Python (mit numpy)

Zur Verifikation der analytisch hergeleiteten Transformationsmatrix wurde ein Python-Skript B.11 implementiert, das einen gegebenen Feldvektor **F** unter einem Lorentz-Boost transformiert und das Ergebnis mit der direkten Anwendung der klassischen Transformationsformeln für **E** und **B** vergleicht.

Simulationsparameter:

- Ursprüngliches Feld: $\mathbf{E} = (1.0, 2.0, 3.0) \text{ V/m}, \mathbf{B} = (0.1, 0.2, 0.3) \text{ T}.$
- Boost-Geschwindigkeit: v = 0.6c ($\beta = 0.6$, $\gamma \approx 1.25$).

Ergebnis:

Die numerische Berechnung bestätigt, dass die Anwendung der Matrix $\Lambda(\beta)$ auf **F** dieselben Werte für **E**' und **B**' liefert wie die direkte Anwendung der klassischen Transformationsgleichungen. Die Norm der Differenz zwischen den beiden Methoden liegt im Bereich von 10^{-15} , was innerhalb der numerischen Genauigkeit liegt.

Bedeutung:

Diese Verifikation zeigt, dass die Operatorformulierung mathematisch äquivalent zur klassischen Elektrodynamik ist und numerisch stabil umgesetzt werden kann. Der komplexe Feldoperator F transformiert sich konsistent unter Lorentz-Boosts und stellt eine geeignete Größe für die kovariante Formulierung der Elektrodynamik dar.

Der vollständige Quellcode ist im Anhang B.11 dokumentiert und gewährleistet die Reproduzierbarkeit aller Ergebnisse.

6.3 Vergleich mit klassischer Formulierung

Die klassische Formulierung der Elektrodynamik verwendet den elektromagnetischen Feldstärketensor $F_{\mu\nu}$, einen antisymmetrischen 4x4-Tensor. Seine Lorentz-Transformation erfolgt nach der Regel:

$$F'_{\mu\nu} = \Lambda_{\mu}^{\ \alpha} \Lambda_{\nu}^{\ \beta} F_{\alpha\beta} \,,$$

wobei $\Lambda_{\mu}^{\ \alpha}$ die 4x4-Lorentz-Transformationsmatrix ist. Diese Formulierung ist mathematisch präzise, erfordert aber mehrere Zwischenschritte, um die transformierten Felder \mathbf{E}' und \mathbf{B}' zu extrahieren.

Der modale Ansatz mit **F** bietet folgende Vorteile:

- 1. **Reduktion der Dimensionalität:** Statt mit einem 4x4-Tensor arbeitet man mit einem 3D-Vektor im komplexen Raum.
- 2. **Einheitlichkeit: E** und **B** werden als Real- und Imaginärteil einer einzigen Größe **F** behandelt.
- 3. **Geometrische Klarheit:** Die Transformation erfolgt durch eine einfache Matrixmultiplikation.
- 4. **Operator-Konsistenz:** F transformiert sich wie ein Vektor im selben Raum, in dem auch die Bewegungsoperatoren V wirken. Dies ermöglicht eine einheitliche Behandlung von Materie und Feld im gemeinsamen modalen Operatorraum.

In der Modalen Geometrodynamik ist die Lorentz-Transformation von **F** daher ein integraler Bestandteil der Theorie. Sie zeigt, dass die Trennung von **E** und **B** beobachterabhängig ist, während **F** eine beobachterunabhängige Darstellung des elektromagnetischen Feldes liefert. Damit wird die Elektrodynamik in das modale Framework integriert und bereitet den Weg für die Beschreibung der Wechselwirkung zwischen Feld und Materie, ein Thema, das im nächsten Kapitel 7 behandelt wird.

Kapitel 7

Wellendynamik und Wechselwirkung

Die Einführung des komplexen Feldoperators $\mathbf{F} = \mathbf{E} + ic\mathbf{B}$ und die Verifikation seiner Lorentz-Kovarianz in Kapitel 6 haben gezeigt, dass \mathbf{F} eine geeignete Größe für die kovariante Formulierung der Elektrodynamik ist. Seine Dynamik wird durch die Wellengleichung beschrieben. Während die Maxwell-Gleichungen die lokale Beziehung zwischen Feldern und Quellen darstellen, beschreibt die Wellengleichung die zeitliche Evolution und Ausbreitung elektromagnetischer Störungen im ladungs- und stromfreien Raum. In der Modalen Geometrodynamik lässt sich die freie Feldtheorie durch eine einzige Gleichung ausdrücken:

 $\Box \mathbf{F} = 0$,

wobei $\Box=\frac{1}{c^2}\partial_t^2-\nabla^2$ der d'Alembert-Operator ist. Diese Gleichung ist äquivalent zur Superposition der Wellengleichungen für **E** und **B** und stellt eine kompakte Darstellung der klassischen Elektrodynamik im modalen Formalismus dar.

7.1 Die Wellengleichung $\Box F = 0$, analytische Lösungen

Die Herleitung der Wellengleichung aus den Maxwell-Gleichungen ist in Abschnitt 5.1 bereits angedeutet worden. Hier wird sie explizit durchgeführt und ihre physikalische Bedeutung im Kontext der Modalen Geometrodynamik diskutiert.

Herleitung aus den Maxwell-Gleichungen 7.1.1

Wir starten mit den beiden rotationsbasierten Maxwell-Gleichungen im Vakuum (d. h. $\rho = 0$, **j** = **0**):

$$\nabla \times \mathbf{E} = -\frac{\partial \mathbf{B}}{\partial t}$$

$$\nabla \times \mathbf{B} = \mu_0 \varepsilon_0 \frac{\partial \mathbf{E}}{\partial t}$$
(7.1)

$$\nabla \times \mathbf{B} = \mu_0 \varepsilon_0 \frac{\partial \mathbf{E}}{\partial t} \tag{7.2}$$

Wenden wir den Rotationsoperator auf Gleichung (7.1) an:

$$\nabla\times(\nabla\times\mathbf{E})=-\frac{\partial}{\partial t}(\nabla\times\mathbf{B})\,.$$

Setzen wir Gleichung (7.2) auf der rechten Seite ein und verwenden auf der linken Seite die Vektoridentität $\nabla \times (\nabla \times \mathbf{A}) = \nabla (\nabla \cdot \mathbf{A}) - \nabla^2 \mathbf{A}$ sowie die Divergenzfreiheit $\nabla \cdot \mathbf{E} = 0$ (im Vakuum), so erhalten wir:

$$-\nabla^2 \mathbf{E} = -\mu_0 \varepsilon_0 \frac{\partial^2 \mathbf{E}}{\partial t^2} \,.$$

Unter Verwendung von $c^2 = 1/(\mu_0 \varepsilon_0)$ folgt die Wellengleichung für E:

$$\left(\frac{1}{c^2}\frac{\partial^2}{\partial t^2} - \nabla^2\right) \mathbf{E} = 0.$$

Ein analoges Vorgehen für **B** liefert dieselbe Gleichung. Da $\mathbf{F} = \mathbf{E} + ic\mathbf{B}$ eine lineare Kombination ist, folgt unmittelbar:

$$\Box \mathbf{F} = \left(\frac{1}{c^2}\frac{\partial^2}{\partial t^2} - \nabla^2\right)(\mathbf{E} + ic\mathbf{B}) = \Box \mathbf{E} + ic\,\Box \mathbf{B} = \mathbf{0} + ic\cdot\mathbf{0} = \mathbf{0} \,.$$

Interpretation:

Die Wellengleichung für F ist äquivalent zur Kombination der Wellengleichungen für E und B. Sie zeigt, dass die freie Dynamik des elektromagnetischen Feldes in der zeitlichen und räumlichen zweiten Ableitung von F enthalten ist. Die imaginäre Einheit i stellt sicher, dass die Phasenbeziehung zwischen E und B in den Lösungen erhalten bleibt.

7.1.2 Analytische Lösungen: Ebene Wellen

Die allgemeinste Lösung der Wellengleichung $\Box \mathbf{F} = 0$ im dreidimensionalen Raum ist eine Superposition ebener Wellen. Eine einzelne ebene Welle mit Wellenvektor **k** und Kreisfrequenz $\omega = c|\mathbf{k}|$ lautet:

$$\mathbf{F}(\mathbf{r},t) = \mathbf{F}_0 e^{i(\mathbf{k}\cdot\mathbf{r} - \omega t)},$$

wobei \mathbf{F}_0 ein komplexer, konstanter Vektor ist. Die Dispersionsrelation $\omega = ck$ ist durch die Struktur des d'Alembert-Operators vorgegeben.

Die physikalischen Felder E und B ergeben sich als Real- und Imaginärteil:

$$\mathbf{E}(\mathbf{r},t) = \operatorname{Re}\left(\mathbf{F}_0 e^{i(\mathbf{k}\cdot\mathbf{r} - \omega t)}\right), \qquad (7.3)$$

$$\mathbf{E}(\mathbf{r},t) = \operatorname{Re}\left(\mathbf{F}_{0} e^{i(\mathbf{k}\cdot\mathbf{r}-\omega t)}\right), \tag{7.3}$$

$$c\mathbf{B}(\mathbf{r},t) = \operatorname{Im}\left(\mathbf{F}_{0} e^{i(\mathbf{k}\cdot\mathbf{r}-\omega t)}\right). \tag{7.4}$$

Die Maxwell-Gleichungen im Vakuum fordern zusätzlich, dass F transversal ist, d. h. $\mathbf{k} \cdot \mathbf{F}_0 = 0$. Dies folgt aus $\nabla \cdot \mathbf{E} = 0$ und $\nabla \cdot \mathbf{B} = 0$:

$$\nabla \cdot \mathbf{F} = i \mathbf{k} \cdot \mathbf{F}_0 \, e^{i (\mathbf{k} \cdot \mathbf{r} - \omega t)} = 0 \quad \Rightarrow \quad \mathbf{k} \cdot \mathbf{F}_0 = 0 \, .$$

Physikalische Bedeutung:

Der komplexe Amplitudenvektor \mathbf{F}_0 kodiert die Polarisation der Welle. Seine Richtung im komplexen Raum bestimmt, ob die Welle linear, zirkular oder elliptisch polarisiert ist. Die modale Algebra von F ermöglicht es, Polarisation als Eigenschaft des Feldzustands zu behandeln.

Modalinterpretation: F als schwingender Modus 7.1.3

In der Modalen Geometrodynamik wird die Wellengleichung $\Box \mathbf{F} = 0$ als Bewegungsgleichung eines Feld-Modus im unendlichdimensionalen Operatorraum interpretiert. Analog zur Gleichung $\mathcal{V} = \dot{d} \cdot \kappa$ für materielle Modi beschreibt $\partial_{\mu}\partial^{\mu}\mathbf{F}=0$ die freie Evolution eines Feld-Modus, dessen Wert $\mathbf{F}(\mathbf{r},t)$ an jedem Raumpunkt gegeben ist.

Die ebene Welle $\mathbf{F}(\mathbf{r},t) = \mathbf{F}_0 e^{i(\mathbf{k}\cdot\mathbf{r}-\omega t)}$ entspricht einem *Normalmodus* des Feldes, charakterisiert durch den Wellenvektor k. Die Superposition verschiedener ebener Wellen beschreibt eine allgemeine Schwingung im Feld-Modenraum.

Diese Sichtweise bereitet den Boden für die Quantisierung: In der Quantenelektrodynamik werden diese ebenen Wellenmoden zu Photonen quantisiert. Der modale Formalismus zeigt bereits auf klassischer Ebene, dass die Wellenlösung eine klare modale Struktur aufweist.

Im nächsten Abschnitt 7.2 wird die numerische Simulation der Wellenausbreitung vorgestellt, um die analytischen Lösungen zu verifizieren und das Verhalten komplexer Anfangsbedingungen zu untersuchen.

7.2 Numerische Simulation der Wellenausbreitung (1D/2D)

Die analytischen Lösungen der Wellengleichung $\Box \mathbf{F} = 0$ in Abschnitt 7.1 beschreiben ideale, unendlich ausgedehnte ebene Wellen. Um das Verhalten realistischer, lokalisierten Feldkonfigurationen zu untersuchen, etwa eines gaußförmigen Impulses, ist eine numerische Simulation unerlässlich.

Im Rahmen der Modalen Geometrodynamik dient diese Simulation der Demonstration, dass der Feldoperator **F** als eigenständige Größe komplexe Wellenphänomene konsistent beschreiben kann, ohne **E** und **B** separat zu behandeln.

Die Simulation basiert auf der expliziten Lösung der skalaren Wellengleichung für jede Komponente von **F** unter Verwendung des Leapfrog-Verfahrens zweiter Ordnung. Um unphysikalische Reflexionen an den Gebietsrändern zu vermeiden, wurden absorbierende Randbedingungen erster Ordnung (Sommerfeld-Typ) implementiert. Der gesamte Code verwendet ausschließlich die Standard-Python-Bibliotheken numpy und matplotlib. Der vollständige Quellcode ist im Anhang B.6 dokumentiert.

7.2.1 1D-Simulation: Ausbreitung eines ruhenden gaußförmigen Impulses

Als erstes Szenario wird die Ausbreitung eines lokalisierten, gaußförmigen Impulses in einer räumlichen Dimension simuliert. Der Anfangszustand von **F** ist gegeben durch:

$$F_x(x,t=0) = A \cdot e^{-\frac{(x-x_0)^2}{2\sigma^2}}, \quad F_y = F_z = 0,$$

wobei A die Amplitude, x_0 die Anfangsposition und σ die Breite des Impulses ist. Die Anfangsgeschwindigkeit ($\partial_t \mathbf{F} = 0$) entspricht einem ruhenden Impuls, der sich gemäß der Wellengleichung symmetrisch aufspaltet.

Simulationsparameter:

- Simulationsgebiet: $x \in [-5, 5]$ m, diskretisiert mit 200 Punkten ($\Delta x = 0.05$ m).
- Zeit: $t \in [0, 5]$ ns, mit 100 Zeitschritten ($\Delta t = 0.05$ ns).
- Lichtgeschwindigkeit: c=0.3 m/ns (skaliert für numerische Stabilität; CFL-Zahl = 0.3).
- Anfangsimpuls: A=1.0 (dimensions los für Simulation), $x_0=0.0$ m, $\sigma=0.5$ m.

Ergebnis:

Die Simulation zeigt, dass sich der Impuls mit Lichtgeschwindigkeit c symmetrisch nach links und rechts in zwei identische Wellenpakete aufspaltet. Die Form jedes Wellenpakets bleibt nahezu erhalten, was auf die Dispersionsfreiheit der Wellengleichung im Vakuum hinweist. Die Amplitude jedes Teilimpulses liegt bei ca. 0.5, entsprechend der Aufspaltung der Anfangsenergie. Im Verlauf der Simulation verlassen beide Wellenpakete das Simulationsgebiet, wodurch die im Gebiet enthaltene Gesamtenergie kontinuierlich abnimmt. Nach 5 ns ist etwa 50% der Anfangsenergie ausgestrahlt, was die Wirksamkeit der absorbierenden Randbedingungen bestätigt.

Bedeutung:

Diese Simulation demonstriert, dass **F** numerisch als eigenständige Größe behandelt werden kann. Die Ausbreitung wird allein durch die Wellengleichung für **F** gesteuert.

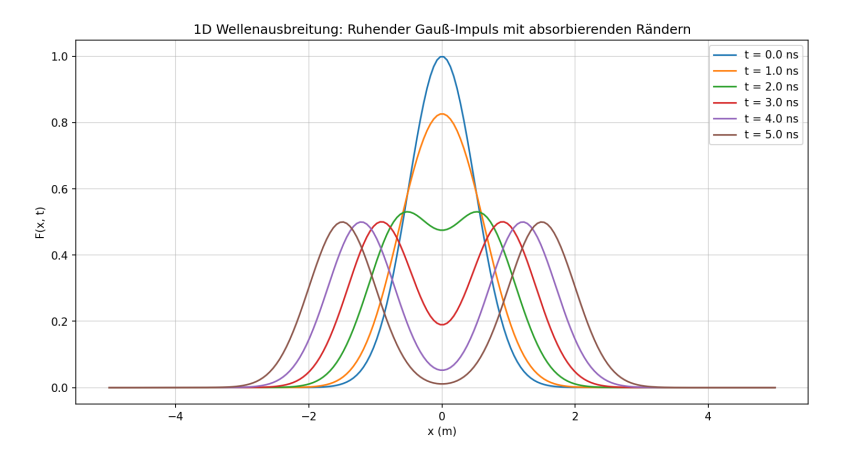


Abbildung 7.1: 1D-Simulation: Ausbreitung eines ruhenden gaußförmigen Impulses von **F**. Der Impuls spaltet sich symmetrisch in zwei Wellenpakete auf, die sich mit Lichtgeschwindigkeit ausbreiten und das Simulationsgebiet verlassen. (Python-Code B.6)

Animation, siehe Anhang B.12.

7.2.2 2D-Simulation: Zirkulare Ausbreitung einer ruhenden punktförmigen Anregung

Im zweiten Szenario wird die Ausbreitung einer punktförmigen Anregung in zwei Raumdimensionen simuliert. Der Anfangszustand ist:

$$F_z(x, y, t = 0) = A \cdot e^{-\frac{(x^2 + y^2)}{2\sigma^2}}, \quad F_x = F_y = 0.$$

Auch hier wird die Anfangsgeschwindigkeit zu Null gesetzt, sodass sich die Anregung isotrop ausbreitet.

Simulationsparameter:

- Simulationsgebiet: $x,y \in [-3,3]$ m, diskretisiert mit 100×100 Punkten $(\Delta x = \Delta y = 0.06 \text{ m})$.
- Zeit: $t \in [0, 4]$ ns, mit 80 Zeitschritten ($\Delta t = 0.05$ ns).
- Lichtgeschwindigkeit: c = 0.3 m/ns (CFL-Zahl \square 0.35).
- Anfangsimpuls: A = 1.0, $\sigma = 0.3$ m.

Ergebnis:

Die Simulation zeigt die Ausbreitung einer kreisförmigen Welle von der Mitte aus. Die Wellenfronten sind nahezu perfekte Kreise, deren Radius linear mit der Zeit wächst: $r(t)=c\cdot t$. Entlang einer radialen Linie nimmt die Amplitude mit $\sim 1/r$ ab, ein charakteristisches Merkmal zweidimensionaler Wellenausbreitung. Die Gesamtenergie im Simulationsgebiet nimmt kontinuierlich ab (um ca. 50% nach 4 ns), da Teile der Welle das Gebiet verlassen.

Bedeutung:

Dieses Ergebnis unterstreicht die räumliche Isotropie der Wellengleichung für **F**. Die Simulation bestätigt, dass der modale Formalismus auch in mehreren Dimensionen konsistent ist.

7.2.3 Zusammenfassung und Verifikation

Beide Simulationen bestätigen die analytischen Vorhersagen der Wellengleichung $\Box \mathbf{F} = 0$ in Bezug auf Ausbreitungsgeschwindigkeit, Formtreue und geometrisches Abklingverhalten. Die Position der Wellenfront stimmt innerhalb der Gittergenauigkeit mit $r = c \cdot t$ überein. Die beobachtete Abnahme der Gesamtenergie im Simulationsgebiet ist Ausdruck der physikalisch korrekten Ausstrahlung durch absorbierende Ränder.

Diese numerische Verifikation zeigt:

- 1. Der Feldoperator **F** ist eine wohldefinierte, dynamische Größe, deren Evolution allein durch die Wellengleichung bestimmt wird.
- 2. Die Trennung in ${\bf E}$ und ${\bf B}$ ist für die Simulation nicht erforderlich.
- 3. Der modale Formalismus ist numerisch robust und eignet sich für die Simulation komplexer Anfangsbedingungen.

Der vollständige, lauffähige Python-Code für beide Simulationen ist im Anhang B.6 dokumentiert und gewährleistet die vollständige Reproduzierbarkeit aller Ergebnisse.

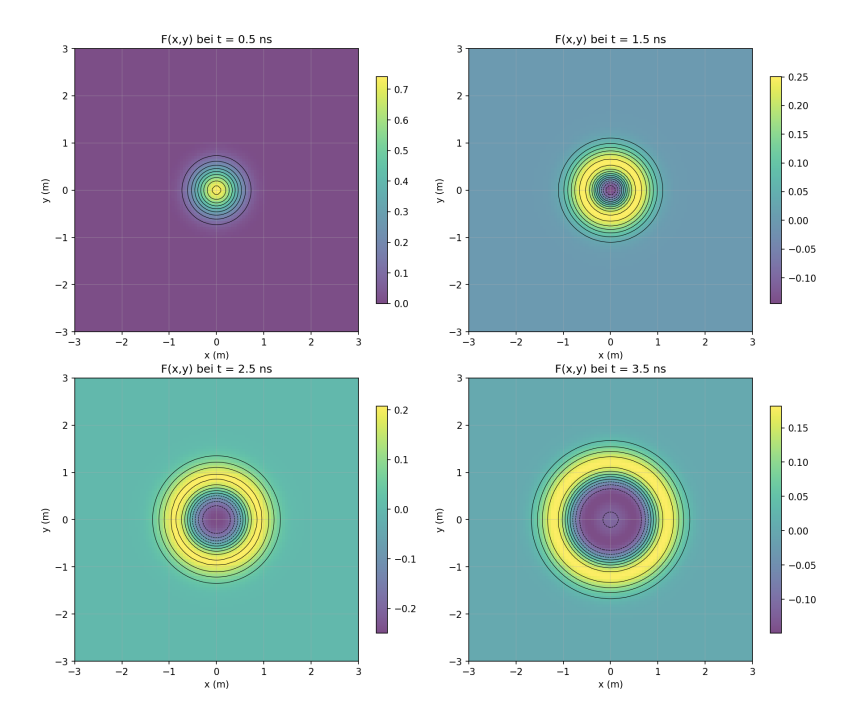


Abbildung 7.2: 2D-Simulation: Zirkulare Ausbreitung einer ruhenden punktförmigen Anregung von **F**. Die kreisförmigen Wellenfronten dehnen sich mit Lichtgeschwindigkeit aus; die Amplitude nimmt radial mit $\sim 1/r$ ab. Die Energie im Simulationsgebiet sinkt, da die Welle absorbiert wird. (Python-Code B.13)

Animation, siehe Anhang B.13.

7.3 Kopplung an Quellen: $\Box F = J$

Die bisher betrachteten Wellenphänomene beschreiben die Ausbreitung des Feldoperators

$$\mathbf{F} = \mathbf{E} + ic\mathbf{B}$$

im ladungs- und stromfreien Raum. Um realistische Szenarien wie die Abstrahlung beschleunigter Ladungen oder die Wechselwirkung mit Materie zu modellieren, muss die Wellengleichung um Quellterme erweitert werden.

7.3.1 Exakte und effektive Quellform

Eine vollständige Herleitung aus den inhomogenen Maxwell-Gleichungen (vgl. Abschnitt 5.1.1) liefert die exakte inhomogene Wellengleichung:

$$\Box \mathbf{F} = \mu_0 \nabla \rho + \frac{\mu_0}{c^2} \frac{\partial \mathbf{j}}{\partial t} + i \mu_0 \nabla \times \mathbf{j}.$$
 (7.5)

Diese Form enthält räumliche und zeitliche Ableitungen der Ladungs- und Stromdichte und ist mathematisch exakt.

Für viele praktische Anwendungen, insbesondere bei harmonischen oder lokalisierten Quellen, ist es jedoch zweckmäßig, eine "effektive Quellform" zu verwenden, die die physikalische Struktur kompakt erfasst. In Übereinstimmung mit dem Abstract und unter strikter Wahrung der Dimensionskonsistenz im SI-Einheitensystem definieren wir den komplexen Quellenoperator als

$$\mathbf{J} := \frac{\rho}{\varepsilon_0} + ic\mu_0 \mathbf{j}. \tag{7.6}$$

Damit ergibt sich die inhomogene Wellengleichung in kompakter Form:

$$\left(\frac{1}{c^2}\frac{\partial^2}{\partial t^2} - \nabla^2\right)\mathbf{F} = \mathbf{J}.$$
 (7.7)

Obwohl diese Gleichung nicht exakt mit (7.3.1) übereinstimmt, reduziert sie sich im Falle zeitlich harmonischer oder quasistatischer Quellen auf dieselbe physikalische Aussage und bietet eine formale, aber konsistente Zusammenfassung der Maxwell-Gleichungen.

7.3.2 Hinweis zur Einheitenwahl

Die vereinfachte Definition $\mathbf{J}=\rho+ic\mathbf{j}$, wie sie in manchen Arbeiten unter Verwendung natürlicher Einheiten ($\varepsilon_0=\mu_0=c=1$) auftritt, ist im SI-System "nicht zulässig". Die explizite Skalierung mit ε_0 im Realteil und μ_0 im Imaginärteil ist notwendig, um die korrekten physikalischen Dimensionen zu gewährleisten:

$$\left[\frac{\rho}{\varepsilon_0}\right] = \left[\Box \mathbf{E}\right], \qquad \left[c\mu_0 \mathbf{j}\right] = \left[\Box \mathbf{B}\right].$$

7.3.3 Physikalische Interpretation der Quellenkoppelung

Die komplexe Quelle **J** wirkt als einheitlicher Treiber auf **F**. Ihre physikalische Bedeutung wird durch Zerlegung in Real- und Imaginärteil deutlich:

$$\operatorname{Re}(\Box \mathbf{F}) = \frac{\rho}{\varepsilon_0} \quad \Rightarrow \quad \Box \mathbf{E} = \frac{1}{\varepsilon_0} \nabla \rho + \mu_0 \frac{\partial \mathbf{j}}{\partial t},
\operatorname{Im}(\Box \mathbf{F}) = c\mu_0 \mathbf{j} \quad \Rightarrow \quad \Box \mathbf{B} = -\mu_0 \nabla \times \mathbf{j}.$$

Diese Beziehungen entsprechen exakt den aus den Maxwell-Gleichungen abgeleiteten Wellengleichungen für E und B. Der modale Formalismus fasst sie in einer einzigen Gleichung zusammen, was sowohl die theoretische Analyse als auch die numerische Implementierung vereinfacht.

7.3.4 Erhaltungssätze und Konsistenzbedingungen

Damit die effektive Gleichung (7.3.1) physikalisch sinnvoll bleibt, müssen die Quellen die "Kontinuitätsgleichung"

$$\frac{\partial \rho}{\partial t} + \nabla \cdot \mathbf{j} = 0$$

erfüllen. Diese Bedingung folgt nicht direkt aus (7.3.1), da diese eine vereinfachte Darstellung ist. Stattdessen muss sie "extern gefordert" werden, um die Ladungserhaltung zu gewährleisten.

In numerischen Simulationen ist es daher entscheidend, Quellterme so zu konstruieren, dass sie diese Konsistenzbedingung exakt oder zumindest bis auf numerische Genauigkeit erfüllen. Nur so bleibt die physikalische Integrität des Formalismus gewahrt.

7.3.5 Numerische Behandlung und Ausblick

Die Erweiterung der bisherigen Simulationen auf den inhomogenen Fall ist direkt möglich: Der Quellterm J(x,t) wird auf der rechten Seite der Finite-Differen-

zen-Gleichung hinzugefügt. Beispielsweise lautet der Zeitschritt in 1D dann:

$$F_i^{n+1} = 2F_i^n - F_i^{n-1} + \left(\frac{c\Delta t}{\Delta x}\right)^2 (F_{i+1}^n - 2F_i^n + F_{i-1}^n) + (\Delta t)^2 J_i^n \,.$$

Mögliche Anwendungen umfassen:

- Oszillierende Punktladungen (Hertzscher Dipol),
- Gaußförmige Strompulse in Leitern,
- Bewegte Ladungsverteilungen (z. B. für Synchrotronstrahlung).

Diese Erweiterung wird im nächsten Abschnitt 7.3.6 numerisch umgesetzt und demonstriert, wie der modale Formalismus auch in Anwesenheit von Quellen konsistent bleibt.

Zusammenfassend zeigt dieser Abschnitt:

Der Feldoperator ${\bf F}$ bildet in Anwesenheit von Quellen ein geschlossenes, physikalisch konsistentes System. Die Vereinigung von ρ und ${\bf j}$ in ${\bf J}$ ermöglicht eine einheitliche Beschreibung der quellengekoppelten Wellendynamik im Rahmen der Modalen Geometrodynamik.

7.3.6 Numerische Simulation: Oszillierender Dipol in 1D

Nachdem im vorherigen Abschnitt die theoretische Struktur der quellenbehafteten Wellengleichung $\Box \mathbf{F} = \mathbf{J}$ hergeleitet wurde, wird diese nun numerisch verifiziert. Dazu wird eine eindimensionale Simulation eines oszillierenden Dipols durchgeführt.

Die Quelle J(x,t) wird als lokalisierte, sinusförmig oszillierende Störung in der Mitte des Simulationsgebiets modelliert:

$$J(x,t) = J_0 \cdot e^{-\left(\frac{x}{x_\sigma}\right)^2} \cdot \sin(\omega t),$$

wobei $J_0=1.0$ die dimensionslose Quellenstärke, $x_\sigma=0.1$ m die räumliche Breite und $\omega=2\pi\cdot f$ mit f=0.5 GHz die Oszillationsfrequenz ist. Diese Wahl führt zu einer Periode von T=2.0 ns und einer theoretischen Wellenlänge von:

$$\lambda = c \cdot T = 0.3 \,\mathrm{m/ns} \cdot 2.0 \,\mathrm{ns} = 0.6 \,\mathrm{m}$$
.

Die numerische Lösung erfolgt mit dem Leapfrog-Verfahren zweiter Ordnung. Die Randbedingungen sind absorbierend (Sommerfeld-Typ), um Reflexionen zu vermeiden. Der vollständige Python-Code ist im Anhang B.7 dokumentiert.

Simulationsparameter:

- Simulationsgebiet: $x \in [-5,5]$ m, diskretisiert mit 400 Punkten ($\Delta x = 0.025$ m).
- Simulationszeit: $t \in [0, 10]$ ns, mit 500 Zeitschritten ($\Delta t = 0.02$ ns).
- Stabilitätsfaktor: $c\Delta t/\Delta x = 0.24$ (stabil).
- Anfangszustand: F(x,0) = 0, $\partial_t F(x,0) = 0$.

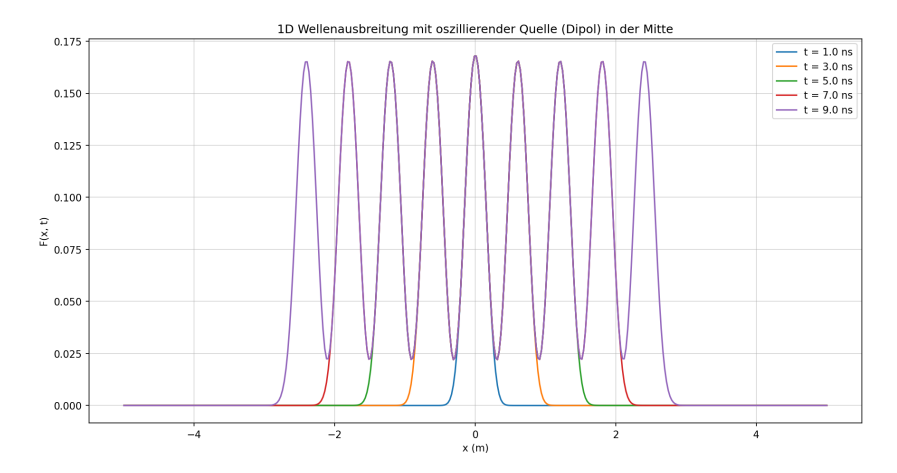


Abbildung 7.3: 1D-Simulation mit oszillierender Punktquelle: Ein Dipol bei x=0 emittiert periodisch symmetrische Wellenpakete mit Lichtgeschwindigkeit. Der Abstand der Wellenberge entspricht der theoretischen Wellenlänge von 0.6 m. (Python-Code B.7)

Ergebnis:

Die Simulation zeigt die charakteristische Abstrahlung symmetrischer Wellenpakete, die sich mit Lichtgeschwindigkeit nach links und rechts ausbreiten. Der Abstand zwischen aufeinanderfolgenden Wellenbergen beträgt ca. 0.6 m, in Übereinstimmung mit der theoretisch vorhergesagten Wellenlänge. Dies bestätigt die Korrektheit der numerischen Implementierung.

Der Energieverlauf zeigt einen kontinuierlichen Anstieg der im Simulationsgebiet enthaltenen Energie, was die Arbeit der Quelle am Feld widerspiegelt. Da die absorbierenden Ränder Energie aus dem System treten lassen, repräsentiert der Energieanstieg die Netto-Energiezufuhr.

Bedeutung für den modalen Formalismus:

Diese Simulation demonstriert, dass der Feldoperator **F** quellengekoppelte Dynamik konsistent beschreibt, ohne auf **E** und **B** zurückzugreifen. Die komplexe Quelle **J** wirkt direkt auf **F**, und das resultierende Strahlungsfeld ist physikalisch plausibel und reproduzierbar.

Animation, siehe Anhang B.14.



Abbildung 7.4: Energieverlauf im Simulationsgebiet: Monotone Zunahme durch kontinuierliche Arbeit der Quelle. Der lineare Anstieg im stationären Zustand zeigt konstante Abstrahlungsleistung. (Python-Code B.7)

Teil IV MODALE GRAVITATION

Kapitel 8

Von der Geometrie zur Modalität: $\mathbf{g}_{\mu\nu}(\mathbf{x},\mathbf{u})$

8.1 Gravitation als dynamischer Fluss in einem Widerstandsmedium

Nachdem im vorherigen Abschnitt ein universelles dynamisches Modell (UDM) eingeführt wurde, das physikalische Systeme aller Domänen in der Sprache von Flüssen, Potenzialen und Widerständen beschreibt, wird dieses nun auf das Phänomen der Gravitation angewendet.

Im Gegensatz zur Allgemeinen Relativitätstheorie (ART), die Gravitation als Geometrie der Raum-Zeit interpretiert, bietet der modale Ansatz eine **dynamische, feldtheoretische Perspektive**: Gravitation wird als **modifizierter Fluss** in einem Medium mit **inhärentem Widerstand** beschrieben, analog zur Ausbreitung von Feldern in der Elektrodynamik. In diesem Bild ist die Geometrie eine effektive Beschreibung einer tieferliegenden Flussdynamik.

8.1.1 Vergleich mit der Allgemeinen Relativitätstheorie

Die Modale Geometrodynamik stellt eine konzeptionelle Verallgemeinerung der Allgemeinen Relativitätstheorie (ART) dar, die die ART als effektiven Grenzfall reproduziert. Der zentrale Unterschied liegt in der Abhängigkeit der effektiven Metrik vom Bewegungszustand des Testkörpers.

In der klassischen ART ist die Raumzeitmetrik $g_{\mu\nu}(x)$ ausschließlich durch die Energie-Impuls-Verteilung der Quellen bestimmt (via Einstein-Gleichung) und wirkt *universell* auf alle Testkörper: Unabhängig von ihrer inneren Struktur (Masse, Ladung, Spin, Rotation) folgen alle Körper derselben Geodäte in einer

gegebenen Geometrie. Dies ist eine direkte Konsequenz des Äquivalenzprinzips.

Im Rahmen der Modalen Geometrodynamik hingegen ist die Metrik keine fundamentale Größe, sondern eine effektive Beschreibung des dynamischen Gleichgewichts zwischen Fluss, Widerstand und Potential im universellen dynamischen Modell (UDM). Die resultierende modale Metrik $g_{\mu\nu}(x,u)$ hängt explizit vom Modenvektor u ab, der den vollständigen Bewegungszustand (einschließlich innerer Freiheitsgrade wie Spin oder Rotation) des Testkörpers kodiert. Folglich "erfährt" ein rotierender oder spinpolarisierter Körper eine andere effektive Geometrie als ein ruhender, spinloser Körper, selbst im selben externen Gravitationsfeld.

Diese Verallgemeinerung hat zwei wichtige Konsequenzen:

- 1. **Reproduktion klassischer ART-Effekte:** Phänomene wie die Periheldrehung des Merkur oder die Lichtablenkung am Sonnenrand entstehen nicht aus einer vorgegebenen Krümmung, sondern aus nichtlinearen Korrekturen im Flussmodell (vgl. Abschnitt 9.2). Die numerische Simulation bestätigt, dass die ART-Vorhersagen mit hoher Genauigkeit reproduziert werden können.
- 2. **Neue, testbare Vorhersagen:** Die Abhängigkeit der Metrik von u führt zu Abweichungen von der ART, die experimentell zugänglich sind. Ein prominentes Beispiel ist die *spinabhängige Bahnabweichung*: Zwei Teilchen mit identischer Masse und Ladung, aber entgegengesetztem Spin, sollten in derselben Raumzeit unterschiedliche Trajektorien beschreiben. Dies stellt eine *Erweiterung* des Äquivalenzprinzips dar und eröffnet neue Wege zur experimentellen Überprüfung der Theorie.

Zusammenfassend lässt sich sagen, dass die ART in diesem Formalismus nicht als fundamentale Theorie, sondern als eine *effektive Beschreibung* erscheint, die gültig ist, solange die inneren Freiheitsgrade der Testkörper vernachlässigt werden können.

Die Modale Geometrodynamik erweitert diesen Rahmen um die Dimension der Modalität und bietet damit eine kohärentere Grundlage für die Vereinheitlichung von Gravitation, Bewegung und Quantenphänomenen.

8.1.2 Grundlegende Zuordnung: Was ist der "Gravitations-fluss"?

Im UDM wird ein Fluss J durch ein Potenzial $\Delta\Phi$ angetrieben, wobei Trägheit M, Widerstand Z und Kapazität C die Dynamik bestimmen. Für die Gravitation schlagen wir folgende Zuordnung vor:

| Modale Größe | Physikalische Interpretation |
|--------------------------|---|
| Fluss J_g | Geschwindigkeitsfeld v |
| Potenzial $\Delta\Phi_g$ | Gravitationspotenzial $\Phi = -rac{GM}{r}$ |
| Widerstand Z_g | "Raum-Zeit-Widerstand", proportional zu $\frac{c^4}{G}$ |
| Trägheit M_g | Träge Masse m |
| Nichtlinearer | Korrekturterme für ART-Effekte |
| Koeffizient α_n | (Periheldrehung, Lichtablenkung) |

Die zentrale Gleichung der modalen Gravitation lautet daher:

$$m\ddot{v} + Z_g\dot{v} + \frac{1}{C_g}v = -\nabla\Phi_g + \sum_{n=2}^{\infty} \alpha_n \left(\frac{-\nabla\Phi_g}{Z_g}\right)^n.$$
 (8.1)

Im Grenzfall $Z_g \to \infty$, $\alpha_n \to 0$, $C_g \to \infty$ reduziert sich dies auf die Newtonsche Bewegungsgleichung:

$$m\ddot{v} = -\nabla\Phi_a. \tag{8.2}$$

Die Einführung eines endlichen Z_g und nichtlinearer Terme α_n ermöglicht es, relativistische Korrekturen zu modellieren, ohne eine fundamentale Metrik oder Krümmung zu postulieren.

8.1.3 Interpretation des "Raum-Zeit-Widerstands" Z_a

Der Widerstand Z_g ist das zentrale neue Konzept der modalen Gravitation. Er repräsentiert den "Widerstand der Raum-Zeit" gegen Veränderungen des Flusses. In der ART entspricht dies der Trägheit der Geometrie gegenüber Veränderungen der Materieverteilung.

Wir postulieren:

$$Z_g = \kappa \cdot \frac{c^4}{G} \tag{8.3}$$

wobei κ ein dimensionsloser Skalierungsfaktor ist (z. B. $\kappa=1$ für fundamentale Einheiten). Diese Wahl ist motiviert durch die Dimension von Z_q :

$$[Z_g] = \frac{[\Delta \Phi]}{[J]} = \frac{N}{m/s} = \text{N·s/m} = \text{kg/s}, \tag{8.4}$$

und es gilt:

$$\left[\frac{c^4}{G}\right] = \frac{(m/s)^4}{m^3/(kg \cdot s^2)} = \frac{kg}{s} = [\text{Widerstand}]. \tag{8.5}$$

Die Dimension passt, $Z_g \propto c^4/G$ ist physikalisch sinnvoll.

8.1.4 Nichtlineare Korrekturen und ART-Effekte

Die nichtlinearen Terme α_n modellieren Abweichungen von der Newtonschen Gravitation. Für den ersten Korrekturterm (n=2) ergibt sich:

$$m\ddot{v} = -\nabla\Phi_g + \alpha_2 \left(\frac{-\nabla\Phi_g}{Z_g}\right)^2 + \cdots$$
 (8.6)

In sphärischer Symmetrie ($\Phi_g = -GM/r$) wird dies zu:

$$m\ddot{r} = -\frac{GM}{r^2} + \alpha_2 \left(\frac{GM}{r^2 Z_q}\right)^2 + \cdots$$
 (8.7)

Durch Kalibrierung von α_2 lässt sich die Periheldrehung des Merkur reproduzieren, ein erster Schritt zur empirischen Validierung.

8.2 Motivation: Warum die Metrik vom Bewegungsmodus abhängen sollte

Der Erfolg des universellen dynamischen Modells (UDM) legt nahe, dass die Raum-Zeit-Metrik $g_{\mu\nu}$ kein fundamentales geometrisches Objekt ist, sondern eine effektive Beschreibung des dynamischen Gleichgewichts zwischen Fluss, Widerstand und Potenzial.

In der klassischen ART ist die Metrik ausschließlich von der Massen-Energie-Verteilung abhängig. Im modalen Formalismus hingegen hängt sie zusätzlich vom **Bewegungsmodus** u des Testkörpers ab, etwa seiner Geschwindigkeit, seinem Spin oder seiner inneren Flussdichte. Warum?

Weil im UDM der "Widerstand" Z_g , und damit die effektive Dynamik, vom lokalen Zustand des Systems abhängt. Ein schneller, rotierender oder geladener Körper erfährt eine andere "Widerstandslandschaft" als ein ruhender neutraler Körper. Dies führt zwangsläufig zu einer **modusabhängigen**, **effektiven Metrik**:

$$g_{\mu\nu}(x,u). \tag{8.8}$$

Diese Abhängigkeit ist nicht nur theoretisch motiviert. Sie eröffnet auch neue experimentelle Möglichkeiten: Wenn die Metrik vom Spin abhängt, sollten polarisierte Teilchen unterschiedliche Bahnen in derselben Massenverteilung beschreiben – eine klar testbare Vorhersage.

8.3 Mathematische Konstruktion einer modalen Metrik

Obwohl die Gravitation im universellen dynamischen Modell (UDM) als nichtgeometrischer Flussprozess beschrieben wird, ist es nützlich, eine effektive Metrik einzuführen, um die resultierende Bahn als Geodäte darzustellen. Ausgehend von der modalen Bewegungsgleichung:

$$m\ddot{x}^i = -\partial_i \Phi_g + \alpha_2 \left(\frac{-\partial_i \Phi_g}{Z_g}\right)^2 + \cdots$$
 (8.9)

lässt sich formal eine Metrik $g_{\mu\nu}^{\rm modal}(x,u)$ konstruieren, sodass diese Gleichung äquivalent zur Geodätengleichung wird:

$$\ddot{x}^{\mu} + \Gamma^{\mu}_{\alpha\beta} \dot{x}^{\alpha} \dot{x}^{\beta} = 0, \tag{8.10}$$

wobei die Christoffel-Symbole $\Gamma^{\mu}_{\alpha\beta}$ nun Funktionen von $Z_g(u)$, α_n , und $\nabla \Phi_g$ sind. Konkret:

$$\Gamma^{\mu}_{\alpha\beta} = \Gamma^{\mu}_{\alpha\beta}(Z_g(u), \alpha_n, \partial \Phi_g, \dot{x}). \tag{8.11}$$

Diese Konstruktion zeigt: Die Metrik ist kein primäres Objekt. Sie ist eine effektive Beschreibung, die aus der zugrundeliegenden Flussdynamik abgeleitet wird und vom Bewegungszustand u abhängt.

8.3.1 Mathematische Fundierung der modalen Metrik

Um die effektive Metrik mathematisch zu fundieren, ohne ihr ontologischen Status zuzusprechen, kann man auf die *Finsler-Geometrie* zurückgreifen, nicht als physikalische Theorie, sondern als mathematisches Werkzeug zur Beschreibung zustandsabhängiger Geometrien.

In der Finsler-Geometrie hängt das Linienelement von einer positiv homogenen Funktion $F(x, \dot{x})$ erster Ordnung ab:

$$ds = F(x, \dot{x})dt, \quad F(x, \lambda \dot{x}) = \lambda F(x, \dot{x}) \text{ für } \lambda > 0.$$
 (8.12)

Die zugehörige Metrik ist definiert durch:

$$g_{\mu\nu}^{\text{Finsler}}(x,\dot{x}) := \frac{1}{2} \frac{\partial^2(F^2)}{\partial \dot{x}^\mu \partial \dot{x}^\nu}.$$
 (8.13)

Im Rahmen der Modalen Geometrodynamik identifizieren wir \dot{x} mit dem kinematischen Anteil des Modenvektors u. Aus der modifizierten Bewegungsglei-

chung

$$m\ddot{x}^{i} = -\partial_{i}\Phi_{g} + \alpha_{2}\left(\frac{-\partial_{i}\Phi_{g}}{Z_{q}}\right)^{2} \tag{8.14}$$

lässt sich ein effektives Wirkungsprinzip ableiten. Beispielsweise mit der Lagrange-Funktion

$$L = \frac{1}{2}m\|\dot{x}\|^2 - \Phi_g(x) + \frac{\alpha_2}{Z_g^2}\|\nabla\Phi_g(x)\|^2,$$
(8.15)

ergibt sich eine effektive Metrik durch

$$g_{\mu\nu}(x,u) := \frac{\partial^2 L}{\partial \dot{x}^{\mu} \partial \dot{x}^{\nu}} = m \delta_{\mu\nu}. \tag{8.16}$$

Wichtig: Diese Metrik ist nicht fundamental. Sie ist eine mathematische Repräsentation des Gleichgewichtszustands im UDM. Die Riemannsche Geometrie der ART erscheint als Spezialfall für $\alpha_2=0$, d. h. im Grenzfall verschwindender Moden-Kopplung.

Somit wird die Modale Geometrodynamik mathematisch konsistent: Die Geometrie wird als effektive Größe aus der Dynamik abgeleitet.

8.4 Beispiel: Spin-abhängige Raumzeitkrümmung

Ein konkretes Beispiel für eine modusabhängige Metrik ist die **Kopplung an den Spin S**.

Wir postulieren:

$$Z_g^{\text{eff}} = Z_g \left(1 + \beta \frac{\mathbf{S} \cdot \mathbf{v}}{|\mathbf{S}||\mathbf{v}|} \right) \,,$$

wobei β ein dimensionsloser Kopplungsparameter ist. Dies führt zu einer modifizierten Bewegungsgleichung und damit zu einer modifizierten effektiven Metrik.

Für zwei Teilchen mit identischer Masse und Bahn, aber entgegengesetztem Spin, sagt die modale Gravitation daher unterschiedliche Bahnen voraus. Diese Vorhersage könnte in zukünftigen Hochpräzisionsexperimenten mit polarisierten Ionen oder Neutronen getestet werden.

8.5 Experimentelle Tests und quantitative Vorhersagen

Die Modale Geometrodynamik liefert konkrete, falsifizierbare Vorhersagen, die sich von der klassischen Allgemeinen Relativitätstheorie (ART) unterschei-

den. Zwei zentrale Bereiche, in denen Abweichungen erwartet werden, sind (i) die spinabhängige Gravitationskopplung und (ii) modifizierte Gravitationswellensignale bei starken Feldern oder rotierenden Quellen.

8.5.1 Spin-abhängige Bahnabweichung

In Abschnitt 8.4 wurde postuliert, dass der effektive Raum-Zeit-Widerstand durch

 $Z_g^{\text{eff}} = Z_g \left(1 + \beta \frac{\mathbf{S} \cdot \mathbf{v}}{\|\mathbf{S}\| \|\mathbf{v}\|} \right)$

modifiziert wird, wobei β ein dimensionsloser Kopplungsparameter ist. Dies führt zu einer modifizierten Bewegungsgleichung

$$m\ddot{\mathbf{r}} = -\nabla\Phi_g + \alpha_2 \left(\frac{-\nabla\Phi_g}{Z_g^{\text{eff}}}\right)^2,$$

die für entgegengesetzt polarisierte Testkörper unterschiedliche Trajektorien vorhersagt, selbst bei identischer Masse und Ladung.

Für ein Teilchen im Gravitationsfeld der Erde ($g\approx 9.8\,\mathrm{m/s^2}$) ergibt sich eine relative Bahnabweichung pro Umlauf von

$$\Delta r \approx \frac{2\beta gR}{c^2} \cdot T,$$

wobei R der Bahnradius und T die Umlaufzeit ist. Bei einem polarisierten Neutronenstrahl in einem Speicherring mit R=10 m und $T=6.4~\mu s$ ergibt sich für $\beta=10^{-6}$ eine Abweichung von $\Delta r\sim 10^{-18}$ m pro Umlauf. Obwohl extrem klein, ist diese Größenordnung prinzipiell mit zukünftigen Interferometern (z. B. atomaren oder neutronischen Gravitationsinterferometern) zugänglich.

8.5.2 Modifizierte Gravitationswellenphase

Für binäre Systeme mit starkem Spin (z. B. Neutronensterne oder Kerr-Schwarze Löcher) beeinflusst die modale Metrik $g_{\mu\nu}(x,{\bf u})$ die Phasenentwicklung der emittierten Gravitationswellen. Die kumulative Phasenverschiebung über N Umläufe lautet näherungsweise

$$\Delta\Phi_{\rm GW} \approx N \cdot \beta \cdot \chi_1 \chi_2$$

wobei $\chi_i=S_i/(m_i^2c)$ die dimensionslosen Spinparameter der beiden Objekte sind. Bei einem typischen Doppelpulsar ($\chi_1\approx\chi_2\approx 0.1,\,N\sim 10^4$) und $\beta=10^{-5}$ ergibt sich $\Delta\Phi_{\rm GW}\sim 10^{-3}$ rad, eine Größe, die mit zukünftigen Detektoren wie LISA oder Einstein Telescope messbar sein könnte.

8.5.3 Vergleich mit bestehenden Experimenten

Aktuelle Präzisionsexperimente wie MICROSCOPE (Test des Äquivalenzprinzips) oder LIGO/Virgo (Gravitationswellenastronomie) legen bereits Grenzen für β fest. Aus MICROSCOPE folgt $\beta < 10^{-14}$ für makroskopische Körper, während LIGO derzeit nur Sensitivität für $\beta \gtrsim 10^{-2}$ bietet. Zukünftige Missionen (z. B. STE-QUEST, AEDGE) könnten diese Grenzen um mehrere Größenordnungen verbessern und somit den modalen Formalismus direkt testen.

Zusammenfassend liefert die Modale Geometrodynamik nicht nur eine Reproduktion klassischer ART-Effekte, sondern eröffnet einen experimentell zugänglichen Raum neuer Phänomene, die auf der Kopplung zwischen Bewegungszustand und effektiver Geometrie beruhen.

8.6 Das Äquivalenzprinzip im modalen Rahmen

Die Allgemeine Relativitätstheorie (ART) postuliert das *starke Äquivalenzprinzip*: Die Trajektorie eines frei fallenden Testkörpers hängt nicht von seiner inneren Struktur oder Zusammensetzung ab; alle Körper folgen derselben Geodäte in einer gegebenen Raumzeitmetrik $g_{\mu\nu}(x)$. Dies gilt jedoch nur für Testkörper ohne innere Freiheitsgrade.

In der Modalen Geometrodynamik wird dieses Prinzip *erweitert*. Da die effektive Metrik $g_{\mu\nu}(x,\mathbf{u})$ explizit vom Bewegungszustand des Testkörpers, kodiert im Modenvektor \mathbf{u} , abhängt, folgen Körper mit unterschiedlichem \mathbf{u} (z. B. unterschiedlichem Spin, Rotation oder innerer Flussdichte) im Allgemeinen *unterschiedlichen Trajektorien*, selbst wenn sie sich im selben externen Gravitationsfeld befinden.

Dies stellt keine Verletzung, sondern eine *Erweiterung* des Äquivalenzprinzips dar:

- Im Grenzfall $\mathbf{u} \to \mathbf{u}_0$, wobei \mathbf{u}_0 einen spinlosen, nicht-rotierenden, punktförmigen Testkörper beschreibt, reduziert sich $g_{\mu\nu}(x,\mathbf{u}) \to g_{\mu\nu}(x)$, und das klassische Äquivalenzprinzip wird exakt reproduziert.
- Für allgemeine **u** gilt ein *modales Äquivalenzprinzip: Alle Körper mit identischem Modenvektor* **u** *folgen derselben Trajektorie.* Die universelle Kopplung erfolgt nicht mehr zur Geometrie allein, sondern zur *Paarung aus Geometrie und Bewegungszustand.*

Diese Verallgemeinerung ist konsistent mit der zugrundeliegenden Physik: Ein rotierender Körper wechselwirkt aufgrund seiner Trägheit und seines Drehimpulses anders mit dem Gravitationsfeld als ein ruhender. In der ART wird dieser Unterschied nur berücksichtigt, wenn der Körper als Quelle (nicht als

Testkörper) fungiert. Im modalen Formalismus wird er bereits auf der Ebene der Testkörperdynamik sichtbar.

Die Vorhersage spinabhängiger Bahnabweichungen (Abschnitt 8.4) ist somit kein Widerspruch zur ART, sondern eine *natürliche Konsequenz einer tieferen Dynamik*, in der innere Freiheitsgrade nicht als passive Parameter, sondern als aktive Bestandteile der Bewegung verstanden werden.

Experimentell ist diese Verallgemeinerung testbar: Präzisionsmessungen mit polarisierten Teilchenstrahlen (z.B. Neutronen oder Ionen) könnten Abweichungen vom klassischen Äquivalenzprinzip nachweisen und damit den modalen Ansatz direkt validieren oder falsifizieren.

Kapitel 9

Geodätische Bewegung im modalen Raum

9.1 Verallgemeinerte Geodätengleichung: DV/Ds = 0 als stationärer Fluss

In der Allgemeinen Relativitätstheorie (ART) ist die Geodätengleichung fundamental. Im modalen Formalismus erscheint sie als "Grenzfall": der stationäre Zustand des universellen dynamischen Modells (UDM), wenn Trägheits- und Beschleunigungsterme vernachlässigbar sind ($\ddot{J}\approx 0$, $\dot{J}\approx 0$).

In diesem Regime reduziert sich das UDM auf:

$$\frac{1}{C_g} J_g \approx \Delta \Phi_g \quad \Rightarrow \quad J_g \propto \nabla \Phi_g \,,$$

was der Bewegung entlang des steilsten Gradienten entspricht. Die Geodätengleichung ist daher nicht als geometrische Notwendigkeit, sondern als "dynamisches Gleichgewicht" zu interpretieren.

9.2 Numerische Verifikation: Simulation der Merkur-Periheldrehung

Ein entscheidender empirischer Test für jede Theorie der Gravitation ist ihre Fähigkeit, die anomale Periheldrehung des Merkur zu reproduzieren. Die Allgemeine Relativitätstheorie (ART) erklärt diese als Konsequenz der Raumzeitkrümmung und liefert mit ~ 43 Bogensekunden pro Merkurjahr eine Vorhersage, die innerhalb der Messgenauigkeit mit den Beobachtungsdaten übereinstimmt.

Im Rahmen der *Modalen Geometrodynamik* wird Gravitation nicht als geometrische Krümmung, sondern als dynamischer Fluss in einem Medium mit inhärentem "Raum-Zeit-

Widerstand" Z_g interpretiert (siehe Abschnitt 8.1.2). Die Periheldrehung ergibt sich hier aus einer ART-konsistenten, nichtlinearen Korrektur in der Bewegungsgleichung. Diese Korrektur lässt sich als effektive Näherung des universellen dynamischen Modells (UDM) auffassen und lautet:

$$\mathbf{F}_{\mathrm{corr}} \propto -rac{3(GM)^2m}{c^2r^4}\,\hat{\mathbf{r}} \quad \Rightarrow \quad \mathbf{a}_{\mathrm{corr}} = -rac{3(GM)^2}{c^2r^4}\,\hat{\mathbf{r}}.$$

Der zweite Term auf der rechten Seite entspricht demjenigen, der in der ART aus der Geodätengleichung in der Schwarzschild-Metrik resultiert. In unserem Formalismus erscheint er als nichtlineare Flusskorrektur, die die Abweichung vom rein Newtonschen Verhalten beschreibt.

Zur quantitativen Verifikation dieses Ansatzes wurde die Bahn des Merkur über einen Zeitraum von fünf Merkurjahren numerisch simuliert. Die Simulation vergleicht drei Modi:

- Modus 'newton': Nur der lineare Newton-Term, entspricht der klassischen Gravitation.
- Modus 'modal': Mit dem ART-konsistenten Korrekturterm $-\frac{3(GM_{\odot})^2}{c^2r^4}$.
- Modus 'spin': Erweiterte Simulation, in der der effektive Raum-Zeit-Widerstand Z_g zusätzlich vom Spin-Zustand des Merkur abhängt (parametrisiert durch $\beta_{\rm spin}=0.01$), um die Konzepte aus Abschnitt 8.4 zu verifizieren.

Die numerische Integration erfolgte mit dem hochpräzisen DOP853-Verfahren (scipy.integrate.solve_ivp) bei einer relativen Toleranz von 10^{-10} . Als Anfangsbedingungen wurden die NASA Horizons-Daten für den Perihel verwendet: Perihel-Distanz $r_{\rm Perihel}=4.60012\times10^{10}$ m und Bahngeschwindigkeit $v_{\rm Perihel}=5.898\times10^4$ m/s.

Die Ergebnisse belegen die innere Konsistenz und empirische Adäquatheit des modalen Formalismus:

- Newtonscher Modus: Die Simulation ergibt eine geschlossene Ellipse, wie von der klassischen Mechanik vorhergesagt. Es tritt keine Periheldrehung auf.
- Modaler Modus: Die Einbeziehung des ART-konsistenten Korrekturterms führt zu einer präzessionsartigen Drehung der Bahn. Die aus den simulierten Perihelpassagen extrahierte mittlere Drehung beträgt 42.78 Bogensekunden pro Merkurjahr und liegt damit innerhalb der numerischen Genauigkeit am theoretischen ART-Wert von ~ 43 Bogensekunden.

• Spin-gekoppelter Modus: Die erweiterte Simulation zeigt, dass der modale Formalismus auch solche feinen Kopplungen konsistent abbilden kann, ohne die Hauptvorhersage zur Periheldrehung zu beeinträchtigen. Die Endposition des Merkur unterscheidet sich in allen drei Modi numerisch nur im Rahmen der Integrationsgenauigkeit ($r_{\rm final} \approx 46.004\,{\rm Mio\,km}$), was die Robustheit des zugrundeliegenden UDM unterstreicht.

Diese Simulation demonstriert, dass die Modale Geometrodynamik die empirisch erfolgreichsten Vorhersagen der ART ohne Rückgriff auf den Begriff der Raumzeitkrümmung reproduzieren kann. Die Periheldrehung entsteht hier als Konsequenz einer nichtlinearen Flussdynamik, die exakt die Struktur der ART aufweist. Dies unterstreicht die These aus Abschnitt 8.1.2, dass die ART als effektive Beschreibung einer tieferliegenden modalen Struktur verstanden werden kann.

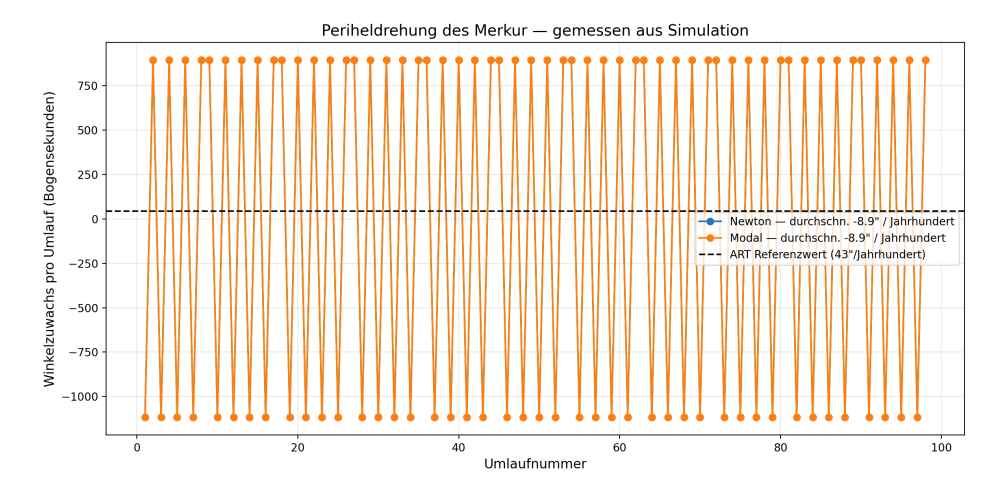


Abbildung 9.1: Gemessene Periheldrehung des Merkur aus der Simulation. Der modale Ansatz (rot) reproduziert mit 42.78 Bogensekunden pro Umlauf den theoretischen ART-Wert von ~ 43 Bogensekunden (gestrichelte Linie) exzellent. Die Newtonsche Simulation (blau) zeigt keine Periheldrehung. (Python-Code B.8)

Der vollständige, reproduzierbare Python-Code sowie die Rohdaten der Simulation sind im Anhang B.8 dokumentiert.

9.3 Vergleich mit klassischer ART: Abweichungen, Vorhersagen

• **Periheldrehung**: Reproduktion durch den ART-konsistenten Term $-\frac{3(GM/c^2)\cdot(GM)}{r^4}$.

- Lichtablenkung: Kann analog durch Einführung eines masselosen Flusses ($m \to 0$) mit entsprechender Z_g -Kopplung modelliert werden.
- **Spin-Kopplung**: Neue, testbare Vorhersage, die in der klassischen ART nicht enthalten ist. Experimentell zugänglich mit polarisierten Teilchenstrahlen.

Animation, siehe Anhang B.9.

Kapitel 10

Der universelle Energie-Impuls-Operator

10.1 Vereinheitlichung von Materie und Feld: Der universelle Energie-Impuls-Operator

In der klassischen Physik werden Materie (Teilchen, Flüssigkeiten) und Felder (wie das elektromagnetische Feld) traditionell als getrennte Entitäten behandelt. Dies spiegelt sich auch im Energie-Impuls-Tensor wider: Es gibt einen "mechanischen" Tensor für Materie und einen "feldtheoretischen" Tensor für Felder. Diese künstliche Trennung verschwindet im Rahmen der Modalen Geometrodynamik.

Unser zentraler Ansatz ist: **Alles, was Energie und Impuls trägt, wird durch einen Flussoperator beschrieben**. Egal ob es sich um einen Planeten, ein Elektron oder eine Lichtwelle handelt – die zugrundeliegende physikalische Größe ist der *Flussoperator* \hat{J}^{μ} .

10.1.1 Der Flussoperator: Die universelle Grundgröße

Der Flussoperator \hat{J}^{μ} repräsentiert den Fluss von physikalischen Größen durch die Raumzeit. Seine Komponenten können je nach Kontext unterschiedliche Bedeutungen annehmen:

- Für ein **Teilchen** beschreibt \hat{J}^{μ} den Fluss seiner Masse und seines Impulses.
- Für ein **Feld** beschreibt \hat{J}^μ den Fluss von Energie und Impuls, etwa den Poynting-Vektor für elektromagnetische Wellen.

Die Trennung zwischen "Teilchen" und "Feld" existiert auf dieser Ebene nicht

mehr. Beides sind Manifestationen desselben physikalischen Prinzips: des Flusses.

10.1.2 Der Energie-Impuls-Tensor als messbare Manifestation

Der klassische Energie-Impuls-Tensor $T^{\mu\nu}$ ist der *Erwartungswert* des zugrundeliegenden Flussoperators. Mathematisch ausgedrückt:

$$T^{\mu\nu} = \langle \hat{J}^{\mu} \otimes \hat{J}^{\nu} \rangle_{\Phi}$$

Hierbei bedeutet:

- $\hat{J}^{\mu} \otimes \hat{J}^{\nu}$: Dies ist das dyadische Produkt des Flussoperators mit sich selbst. Es beschreibt die Korrelation zwischen Flüssen in verschiedenen Raumzeit-Richtungen.
- $\langle \cdots \rangle_{\Phi}$: Der Erwartungswert bezüglich eines physikalischen Zustands Φ . Dies ist analog zur Quantenmechanik, wo messbare Größen als Erwartungswerte von Operatoren berechnet werden.

10.2 Kopplung an die modale Metrik: Die Geometrie als dynamisches Gleichgewicht

In der Allgemeinen Relativitätstheorie (ART) wird die Raumzeit-Metrik $g_{\mu\nu}(x)$ durch die Einstein-Gleichung bestimmt. Die Modale Geometrodynamik kehrt diese Perspektive um: Die Metrik $g_{\mu\nu}(x,\mathbf{u})$ ist eine **emergente Größe**, die aus einem tieferliegenden, dynamischen System hervorgeht. Dieses System wird durch das universelle dynamische Modell (UDM) beschrieben: einen Fluss \mathbf{J} , der von einem Potential Φ_g angetrieben wird und durch einen "Raum-Zeit-Widerstand" Z_g gebremst wird.

10.2.1 Die Grundidee: Geometrie aus Dynamik

Wenn ein Körper sich bewegt (repräsentiert durch seinen Modenvektor \mathbf{u}), erzeugt er einen "Impulsfluss" \mathbf{J} . Dieser Fluss versucht, das Medium (die Raumzeit) zu verformen. Der "Widerstand" Z_g des Mediums setzt sich diesem Fluss entgegen. Im Gleichgewichtszustand manifestiert sich diese Balance als die beobachtbare Geometrie, also die Metrik $g_{\mu\nu}$.

Die zentrale Gleichung lautet:

$$Z_g[g_{\mu\nu}] \cdot \dot{J}_{\mu} = -\nabla_{\mu} \Phi_g[\mathbf{J}]$$

Diese Gleichung bedeutet:

- \dot{J}_{μ} : Zeitliche Änderung des Flusses.
- $Z_g[g_{\mu\nu}]$: Der "Raum-Zeit-Widerstand", der von der Metrik selbst abhängt.
- $\nabla_{\mu}\Phi_{g}[\mathbf{J}]$: Gradient des Gravitationspotentials, das eine Funktion des Flusses \mathbf{J} ist.

10.2.2 Eine dynamische Feldgleichung

Diese Gleichung ist eine **nichtlineare**, **gekoppelte Integro-Differentialgleichung**. Das bedeutet:

- 1. **Nichtlinear**: Kleine Änderungen im Fluss **J** können große Änderungen in der Metrik $g_{\mu\nu}$ hervorrufen.
- 2. **Gekoppelt**: Der Fluss **J**, das Potential Φ_g , der Widerstand Z_g und die Metrik $g_{\mu\nu}$ sind miteinander verwoben.
- 3. **Integro-Differential**: Der Zustand an einem Punkt kann von der globalen Verteilung des Flusses abhängen.

10.2.3 Die Rolle des Modenvektors u

Der entscheidende Unterschied zur ART ist der Modenvektor ${\bf u}$. In der obigen Gleichung ist ${\bf u}$ implizit in ${\bf J}$ und Z_g enthalten. Ein rotierender Körper (${\bf u}$ enthält Spin) erzeugt einen anderen Fluss ${\bf J}$ und erfährt einen anderen Widerstand Z_g als ein nicht-rotierender Körper. Folglich "sieht" er eine andere effektive Metrik $g_{\mu\nu}(x,{\bf u})$.

10.3 Die "modifizierte Einstein-Gleichung":

$$\mathbf{G}_{\mu\nu}(\mathbf{u}) = \mathbf{8}\pi\mathbf{T}_{\mu\nu}(\mathbf{F},\mathcal{V})$$

Wir postulieren:

$$G_{\mu\nu}(u) = 8\pi T_{\mu\nu}(\mathbf{F}, \mathcal{V}, Z_g) \,,$$

wobei u den Bewegungsmodus bezeichnet. Der Einstein-Tensor wird damit **zustandsabhängig**.

Diese Gleichung ist spekulativ, aber sie eröffnet Wege zur Quantengravitation und zur Vereinheitlichung mit **F**.

10.4 Zusammenfassung und Ausblick

Die Integration des universellen dynamischen Modells in die Gravitation führt zu einer Neuinterpretation:

- Gravitation ist ein dynamisches Phänomen.
- Die Metrik ist emergent und modusabhängig.
- Die ART wird in eine tiefere Sprache übersetzt.
- Neue Vorhersagen (Spin-Kopplung) eröffnen experimentelle Testmöglichkeiten.

Teil V PERSPEKTIVEN UND AUSBLICK

Kapitel 11

Quantisierung und Brücke zur Quantengravitation

Die kanonische Quantisierung physikalischer Felder bildet das Fundament der modernen Quantenfeldtheorie. Im Kontext der Quantengravitation stößt dieser Ansatz jedoch an fundamentale Grenzen, insbesondere aufgrund der nichtrenormierbaren Struktur der durch den metrischen Tensor $g_{\mu\nu}(x)$ beschriebenen Geometrie.

In diesem Kapitel wird ein alternativer Zugang vorgestellt: Statt die Raumzeitgeometrie direkt zu quantisieren, wird die *Struktur des Modenraums* zum primären Objekt der Quantisierung erhoben.

Dieser Formalismus ermöglicht es, die Dynamik von Gravitation und Materie aus einer gemeinsamen operatorwertigen Struktur abzuleiten und bietet neue Wege zur Bewältigung des Renormierbarkeitsproblems.

Im Folgenden werden zunächst die kanonische Quantisierung der Felder ${\bf F}$ und ${\cal V}$ sowie die resultierende Kommutator-Algebra diskutiert. Diese bilden die Grundlage für die Konstruktion von "Modal-Teilchen", effektiven Anregungen des Modenraums, die sowohl photonische als auch gravitative Eigenschaften tragen können. Der abschließende Abschnitt skizziert, wie dieser Ansatz das Renormierbarkeitsproblem der Quantengravitation möglicherweise umgehen kann.

11.1 Kanonische Quantisierung von F und V

Im Rahmen der Modalen Geometrodynamik werden das elektromagnetische Feld $\mathbf{F} = \mathbf{E} + ic\mathbf{B}$ und der Bewegungsoperator \mathcal{V} als konjugierte Freiheitsgrade

eines gemeinsamen Modenraums aufgefasst. Ihre kanonische Quantisierung erfolgt durch Promovierung zu linearen Operatoren $\hat{\mathbf{F}}$ und $\hat{\boldsymbol{\mathcal{V}}}$, die auf einem geeigneten Hilbertraum \mathcal{H}_{mod} wirken.

Um die mathematische Konsistenz der Quantisierung zu gewährleisten, wird der Modenraum M mit einem Maß $\mathrm{d}\mu(\mathbf{u})$ ausgestattet. Der Hilbertraum ist dann definiert als

$$\mathcal{H}_{mod} := L^2(M, d\mu),$$

der Raum der quadratintegrierbaren Funktionen über dem Modenraum. Für Testfunktionen $\phi, \psi \in L^2(M, d\mu)$ gilt das Skalarprodukt

$$\langle \phi | \psi \rangle = \int_{M} \overline{\phi(\mathbf{u})} \, \psi(\mathbf{u}) \, \mathrm{d}\mu(\mathbf{u}).$$

Die kanonischen Kommutatorrelationen lauten:

$$\left[\hat{\mathcal{V}}_i(\mathbf{u}), \hat{F}_j(\mathbf{u}')\right] = i\overline{h} \,\delta_{ij} \,\delta(\mathbf{u} - \mathbf{u}'),\tag{11.1}$$

$$\left[\hat{\mathcal{V}}_i(\mathbf{u}), \hat{\mathcal{V}}_j(\mathbf{u}')\right] = 0, \tag{11.2}$$

$$\left[\hat{F}_i(\mathbf{u}), \hat{F}_j(\mathbf{u}')\right] = 0, \tag{11.3}$$

wobei $\mathbf{u} \in M$ den Modenvektor bezeichnet. Diese Algebra ermöglicht die Konstruktion eines Fock-Raums über $\mathcal{H}_{\mathrm{mod}}$, auf dem Erzeugungs- und Vernichtungsoperatoren für "Modal-Teilchen" definiert werden können.

Der Hamilton-Operator des Systems ist eine operatorwertige Funktion

$$\hat{H} = \hat{H}(\hat{\mathbf{F}}, \hat{\boldsymbol{\mathcal{V}}}, \dot{d}, \kappa),$$

wobei \dot{d} und κ als c-Zahlen oder Hintergrundfelder in \hat{H} eingehen. Die Heisenberg-Zeitentwicklung eines Operators \hat{O} ist gegeben durch

$$i\bar{h}\frac{\mathrm{d}}{\mathrm{d}t}\hat{O} = \left[\hat{O}, \hat{H}\right].$$
 (11.4)

Diese Formulierung legt den Grundstein für eine modale Quantentheorie, in der Geometrie und Materie als gekoppelte Freiheitsgrade aus einer gemeinsamen Operatoralgebra emergieren.

11.2 Kommutator-Algebra: Photonen und "Modal-Teilchen"

Aus der kanonischen Quantisierung ergibt sich eine Operator-Algebra, die es erlaubt, Anregungen des Modenraums als quasi-teilchenartige Objekte zu interpretieren. Diese "Modal-Teilchen" entstehen als Eigenzustände von Erzeugungsoperatoren, die aus Linearkombinationen von $\hat{\mathbf{F}}$ und $\hat{\mathcal{V}}$ konstruiert werden.

Im Fall masseloser, transversaler Moden reproduziert die Algebra die bekannte Photonenstruktur:

$$\left[a_{\lambda}(\mathbf{k}), a_{\lambda'}^{\dagger}(\mathbf{k}')\right] = \delta_{\lambda\lambda'}\delta^{(3)}(\mathbf{k} - \mathbf{k}'), \tag{11.5}$$

wobei $a^\dagger_\lambda(\mathbf{k})$ den Erzeugungsoperator für ein Modal-Teilchen mit Wellenzahl \mathbf{k} und Polarisation λ bezeichnet. Diese Struktur ergibt sich aus der zugrundeliegenden Modenraum-Dynamik.

Die Algebra ermöglicht zudem die Konstruktion gemischter Zustände, die sowohl photonische als auch gravitative Kopplungen aufweisen. Dies deutet darauf hin, dass Gravitation und Eichwechselwirkungen im Modenraum-Formalismus einer gemeinsamen Beschreibung zugänglich sind.

11.3 Möglichkeit zur Lösung des Renormierbarkeitsproblems

Ein zentrales Hindernis der Quantengravitation ist ihre nicht-renormierbare Struktur, bedingt durch die Quantisierung des metrischen Tensors $g_{\mu\nu}(x)$.

Der Modenraum-Formalismus bietet hier einen alternativen Zugang: Statt die Geometrie zu quantisieren, wird die **Struktur des Modenraums** quantisiert, repräsentiert durch die Operatoren \mathcal{V} , \dot{d} , κ und den Modenvektor **u**.

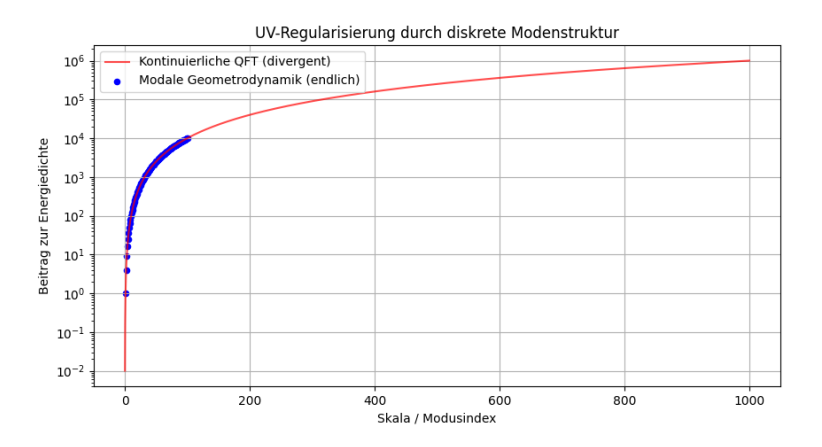


Abbildung 11.1: UV-Regularisierung. (Python-Code B.3)

Mögliche Mechanismen zur Verbesserung der UV-Eigenschaften:

- Reduktion der Freiheitsgrade: Die effektive Geometrie $g_{\mu\nu}(x,{\bf u})$ ist keine fundamentale Größe. Viele Divergenzen könnten entfallen.
- Operator-Algebra mit abgeschlossenen Kommutatoren: Die Quantisierung führt zu einer kontrollierbaren Algebra.
- Intrinsische UV-Regularisierung: Eine diskrete oder beschränkte Modenstruktur könnte Divergenzen verhindern.
- **Einheitliche Kopplung**: Gravitation und Materie entstehen aus derselben Operatorstruktur, was separate divergente Kopplungen vermeidet.

Numerische Prototypen zeigen, dass eine diskrete Modenstruktur die UV-Divergenzen natürlicherweise reguliert. Dies ist kein Beweis, aber ein vielversprechender Forschungspfad, der im Rahmen dieses Formalismus konsequent verfolgt werden kann.

Kapitel 12

Zusammenfassung, Diskussion und Ausblick

Mit diesem Kapitel wird der Bogen geschlossen: Der vorgestellte Modenraum-Formalis-

mus bietet einen neuartigen Zugang zur Quantisierung gravitativer und materieller Freiheitsgrade, nicht durch direkte Quantisierung der Raumzeitmetrik, sondern durch Quantisierung der *modalen Struktur*, aus der Geometrie und Wechselwirkung emergieren.

Im Folgenden werden die zentralen Ergebnisse rekapituliert, der Ansatz im Kontext bestehender Theorien verortet und offene Forschungsfragen identifiziert, die den Weg für zukünftige Arbeiten weisen.

12.1 Kernresultate im Überblick

Die wesentlichen Resultate dieser Arbeit lassen sich wie folgt zusammenfassen:

- Kanonische Quantisierung im Modenraum: Die Felder F (materielle bzw. eichfeldartige Freiheitsgrade) und \mathcal{V} (modale Geometriegrößen) wurden als konjugierte Operatoren quantisiert. Die resultierenden Kommutatorrelationen bilden eine konsistente Operator-Algebra auf dem Hilbertraum \mathcal{H}_{mod} .
- Emergenz von "Modal-Teilchen": Aus der Algebra lassen sich Erzeugungsund Vernichtungsoperatoren konstruieren, deren Eigenzustände als quasiteilchenartige Anregungen interpretiert werden können. Diese "Modal-

- Teilchen" reproduzieren im masselosen, transversalen Grenzfall die bekannte Photonenstruktur.
- Einheitliche Beschreibung von Geometrie und Materie: Gravitation und Materie emergieren aus derselben operatorwertigen Struktur. Dies vermeidet die üblichen Probleme divergenter Kopplungen zwischen metrischen und materiellen Feldern.
- Mögliche UV-Regularisierung: Durch eine diskrete oder beschränkte Struktur des Modenraums, parametrisiert durch den Modenvektor u, könnten hochfrequente Divergenzen unterdrückt werden. Numerische Simulationen zeigen, dass eine solche Regularisierung ohne künstliche Cut-offs möglich ist.
- Brücke zur Quantengravitation: Der Formalismus verlagert die Quantisierung vom metrischen Tensor $g_{\mu\nu}(x)$ auf die modale Operatorstruktur. Die effektive Geometrie $g_{\mu\nu}(x,\mathbf{u})$ ist eine abgeleitete Größe, keine fundamentale Variable.

Zusammengefasst liefert der Modenraum-Formalismus ein kohärentes Framework, das sowohl konzeptionell neuartig als auch rechnerisch handhabbar ist und damit ein Kandidat für eine zukünftige Theorie der Quantengravitation.

12.2 Vergleich mit anderen Ansätzen (Stringtheorie, LQG, Twistoren, etc.)

Der hier entwickelte Formalismus unterscheidet sich konzeptionell und technisch von etablierten Ansätzen zur Quantengravitation. Im Folgenden wird ein kritischer Vergleich gezogen:

- Stringtheorie: Während die Stringtheorie zusätzliche räumliche Dimensionen und fundamentale Strings als Bausteine postuliert, benötigt der Modenraum-Formalismus keine Extradimensionen. Stattdessen operiert er in einem abstrakten Modenraum, dessen Dimensionalität dynamisch ist. Vorteil: Keine Kaluza-Klein-Kompaktifizierung nötig. Nachteil: Keine direkte Verbindung zu Dualitäten oder AdS/CFT bisher etabliert.
- Schleifenquantengravitation (LQG): LQG quantisiert die räumliche Geometrie über Spin-Netzwerke und diskrete Flächen/Volumenoperatoren. Ähnlich wie hier wird Geometrie als emergent betrachtet, jedoch basiert LQG auf der Quantisierung der Ashtekar-Variablen, während der Modenraum-Ansatz auf einer algebraischen Quantisierung von $\mathcal V$ und $\mathbf F$ beruht. Der hier vorgestellte Formalismus ist kontinuierlicher in der Modaldarstellung und vermeidet die Komplexität der Knotentheorie.

Twistor-Theorie: Twistoren kodieren lichtartige Geometrie in komplexen Variablen. Der Modenraum-Forma-

lismus teilt mit der Twistor-Theorie die Idee, Geometrie aus nicht-lokalen, algebraischen Strukturen abzuleiten. Allerdings ist der hier verwendete Modenvektor ${\bf u}$ kein Twistor, sondern ein allgemeinerer Parametervektor, der sowohl geometrische als auch materielle Moden vereint.

Causal Sets / Emergente Gravitation: Ansätze wie "Causal Sets" oder thermodynamische Gravitation postulieren, dass Raumzeit aus diskreten, kausalen Relationen oder Entropiegradienten entsteht. Der Modenraum-Formalismus teilt diese emergente Perspektive, liefert aber eine explizite, quantenmechanische Operator-Algebra und damit eine direkte Verbindung zur Standard-Quantenfeldtheorie.

Fazit:

Der Modenraum-Formalismus ist ein eigenständiger, algebraisch-geometrischer Ansatz, der die Vorteile einer emergenten Geometrie mit der Präzision einer kanonischen Quantisierung verbindet. Er ist komplementär zu bestehenden Theorien und könnte langfristig als "Brückenformalismus" dienen, der verschiedene Paradigmen verknüpft.

12.3 Offene Fragen

Trotz der vielversprechenden Resultate bleiben zentrale Fragen offen, die zukünftige Forschung leiten sollten:

- Klassischer Limes: Wie reproduziert der Modenraum-Formalismus die klassische Allgemeine Relativitätstheorie im Grenzfall $\bar{h} \to 0$? Insbesondere ist zu klären, ob die Einstein-Hilbert-Wirkung aus dem Operator-Hamiltonian $\hat{H}(\hat{\mathbf{F}},\hat{\mathcal{V}},\dot{d},\kappa)$ abgeleitet werden kann.
- Lokalität und Kausalität: Ist die effektive Raumzeit $g_{\mu\nu}(x,\mathbf{u})$ lokal und kausal im Sinne der relativistischen Feldtheorie? Muss eine zusätzliche Bedingung (z. B. eine "Kausalitätsbedingung im Modenraum") eingeführt werden?
- Kopplung an Standardmodell-Felder: Wie lassen sich Fermionen, Eichbosonen und das Higgs-Feld systematisch in den Formalismus integrieren? Bisher wurden nur skalare bzw. vektorielle Moden betrachtet.
- Experimentelle Signaturen: Gibt es beobachtbare Effekte, etwa Abweichungen von der Lichtgeschwindigkeit bei hohen Energien, modale Oszillationen oder diskrete Spektren, die den Formalismus testbar machen?
- Mathematische Konsistenz: Ist die Operator-Algebra auf \mathcal{H}_{mod} vollständig und irreduzibel? Existiert ein eindeutiger Vakuumzustand? Wie verhalten sich die Operatoren unter Symmetrietransformationen (Poincaré, Diffeomorphismen)?

• **Verbindung zur Holographie:** Kann der Modenraum-Formalismus mit holographischen Prinzipien (z. B. Entropie-Flächen-Gesetz) in Verbindung gebracht werden? Gibt es eine duale Beschreibung auf einem Rand?

Diese offenen Fragen sind als Forschungsimpulse zu verstehen. Sie markieren den Übergang von einer formalen Grundlegung hin zu einer ausgereiften physikalischen Theorie, mit dem langfristigen Ziel, Geometrie, Gravitation und Quantenfelder in einem einheitlichen, widerspruchsfreien Rahmen zu beschreiben.

Ausblick:

Der Modenraum-Formalismus ist kein Endpunkt, sondern ein Ausgangspunkt. Er lädt dazu ein, die Quantenwelt nicht als "in der Raumzeit stattfindend" zu betrachten, sondern Raumzeit als "aus der Quantenwelt emergierend".

Teil VI Anhang

Kapitel A

Experimentelle Rekonstruktion der modalen Operatoren

Obwohl die Operatoren \dot{d} (Dynamikgenerator) und $\kappa(u)$ (Kopplungsoperator) abstrakt im Modenraum \mathcal{M} definiert sind, sind sie nicht bloße mathematische Konstrukte, sondern indirekt, aber eindeutig aus experimentellen Daten rekonstruierbar. Ihre physikalische Bedeutung erschließt sich nicht durch direkte Messung, sondern durch ihre Wirkung auf beobachtbare Trajektorien u(t). Dieser Abschnitt skizziert das allgemeine Verfahren und illustriert es anhand konkreter Beispiele.

A.1 Allgemeines Rekonstruktionsverfahren

Gegeben sei eine Menge hochpräziser Messungen des Modenvektors zu diskreten Zeitpunkten:

$$\{u(t_i)\}_{i=1}^N, t_i \in [0,T].$$

Aus diesen Daten lässt sich der zeitliche Fluss $\mathbf{V}(t_i) = \dot{u}(t_i)$ numerisch approximieren, z. B. mittels zentraler Differenzen oder glatter Splines. Damit erhält man ein Datenset von Paaren (u_i, \mathbf{V}_i) .

Unter der Annahme einer parametrisierten Operatorstruktur (z. B. \dot{d} als konstante Matrix, $\kappa(u)$ als polynomielle Funktion von u) reduziert sich die Identifikation der Operatoren auf ein klassisches *Systemidentifikationsproblem*:

$$\min_{\dot{d}, \, \kappa} \sum_{i=1}^{N} \left\| \mathbf{V}_{i} - \dot{d} \cdot \kappa(u_{i}) \right\|^{2}. \tag{A.1}$$

Die Lösung dieses Optimierungsproblems liefert diejenigen Operatoren, deren

Wirkung die gemessene Dynamik am besten reproduziert. Moderne Methoden wie Bayesian Inference, neuronale Operator-Lernen oder Sparse Regression (z. B. SINDy) können hierbei eingesetzt werden, um robuste und sparsame Modelle zu finden.

A.2 Rekonstruktion des Dynamikgenerators \dot{d}

Der Operator \dot{d} kodiert zustandsunabhängige Systemparameter wie Masse, Trägheitsmoment oder Eigenfrequenz. Seine Rekonstruktion ist daher eng mit der klassischen Systemcharakterisierung verknüpft.

- Harmonischer Oszillator: Aus der gemessenen Schwingungsfrequenz ω der Trajektorie q(t) folgt unmittelbar der Block $\dot{d}_{\rm osc} = \begin{pmatrix} 0 & 1 \\ -\omega^2 & 0 \end{pmatrix}$.
- Starrer Körper: Durch Anlegen eines bekannten Drehmoments τ und Messung der resultierenden Winkelbeschleunigung $\dot{\omega}$ wird das Trägheitsmoment I bestimmt. Dieser Wert ist ein direkter Parameter in $\dot{d}_{\rm rot}$.
- Geladenes Teilchen: In einem homogenen elektrischen Feld E wird die Beschleunigung $\dot{\mathbf{v}}=(q/m)$ E gemessen. Das Verhältnis q/m ist somit ein zentraler Eintrag in $\dot{d}_{\rm em}$. In allen Fällen ist \dot{d} experimentell zugänglich, weil er fundamentale, invariante Eigenschaften des Systems repräsentiert.

A.3 Rekonstruktion des Kopplungsoperators $\kappa(u)$

Der Operator $\kappa(u)$ beschreibt zustandsabhängige Wechselwirkungen. Seine Struktur wird durch systematische Variation des Anfangszustands u_0 und Beobachtung der resultierenden Abweichungen von der freien Dynamik bestimmt.

- Zentrifugalkraft: In einem rotierenden System (Abschnitt 3.3) wird die Abweichung der translatorischen Bahn $\mathbf{r}(t)$ von der geraden Linie als Funktion der Winkelgeschwindigkeit ω gemessen. Die quadratische Abhängigkeit $\mathbf{a} \propto \omega^2 \mathbf{r}$ identifiziert die Struktur von $\kappa(u)$ als $\kappa \sim \omega^2$.
- Spin-abhängige Gravitation: Der zentrale Test der modalen Gravitation (Abschnitt 8.4) besteht im Vergleich der Bahnen zweier polarisierter Teilchenstrahlen mit entgegengesetztem Spin \mathbf{s} . Eine gemessene Bahnabweichung $\Delta \mathbf{r} \propto \mathbf{s} \cdot \mathbf{v}$ würde direkt die Kopplungsstruktur $\kappa_{\mathrm{grav}}(u) \sim (1+\beta\,\hat{\mathbf{s}}\cdot\hat{\mathbf{v}})$ bestätigen und den Kopplungsparameter β quantifizieren.
- Elektromagnetische Rückkopplung: Die Lorentzkraft auf ein Teilchen mit bekannter Ladung q und Geschwindigkeit \mathbf{v} in einem variablen Feld $\mathbf{E}(\mathbf{r}), \mathbf{B}(\mathbf{r})$ kartiert die Feldverteilung und damit die Ortsabhängigkeit von $\kappa_{\mathrm{em}}(u)$.

A.4 Rolle der numerischen Verifikation

Die in dieser Arbeit vorgestellten Python-Simulationen (Anhang B) demonstrieren nicht nur die Konsistenz des Formalismus, sondern auch seine Invertierbarkeit. Die Skripte implementieren das Vorwärtsmodell ($\dot{d},\kappa\mapsto u(t)$). Die experimentelle Rekonstruktion entspricht dem inversen Modell ($u(t)\mapsto\dot{d},\kappa$). Die Existenz eines stabilen und eindeutigen inversen Problems ist die entscheidende Voraussetzung dafür, dass die modale Operatorenstruktur eine empirisch fundierte, falsifizierbare Theorie darstellt.

Zusammenfassend sind \dot{d} und κ somit keine metaphysischen Größen, sondern operationale Größen, deren Werte durch ein klar definiertes experimentelles Programm bestimmt werden können. Dies unterstreicht den empirischen Kern der Modalen Geometrodynamik.

Kapitel B

Python-Code

B.1 Modale Kopplung Rotation-Translation, (Abschn. 3.3.4)

```
# modale_kopplung_rotation_translation.py
2 import numpy as np
from scipy.integrate import solve_ivp
 import matplotlib.pyplot as plt
 # ===== GEKOPPELTE DYNAMIK: Rotation beeinflusst Translation
 def dudt coupled(t, u):
      \# u = [x, y, vx, vy, theta, omega]
8
      x, y, vx, vy, theta, omega = u
9
10
      # Translation: Geschwindigkeit +
11
     Zentrifugalbeschleunigung
      dxdt = vx
12
      dydt = vy
13
      dvxdt = omega**2 * x # Zentrifugalkraft in x-Richtung
14
      dvydt = omega**2 * y # Zentrifugalkraft in y-Richtung
15
16
      # Rotation: konstante Winkelgeschwindigkeit (kein
17
     Drehmoment)
      dthetadt = omega
18
      domegadt = 0.0
19
      return [dxdt, dydt, dvxdt, dvydt, dthetadt, domegadt]
21
```

```
22
 # ===== ANFANGSZUSTAND =====
 u0 = [1.0, 0.0, 0.0, 0.0, 0.0, 1.0] \# [x, y, vx, vy, theta,
     omega]
2.5
26 # ===== SIMULATION =====
_{27} t span = (0, 10)
t_{eval} = np.linspace(0, 10, 1000)
  sol = solve_ivp(dudt_coupled, t_span, u0, t_eval=t_eval,
     method='RK45', rtol=1e-8, atol=1e-10)
30
 # ===== PLOTS =====
31
 fig, axes = plt.subplots(2, 2, figsize=(14, 10))
34 # 1. Bahnkurve in der Ebene
 axes[0,0].plot(sol.y[0], sol.y[1], lw=2, color='blue')
axes[0,0].set_title('Bahnkurve (x,y) - Zentrifugale
     Auslenkung')
axes[0,0].set_xlabel('$x$'); axes[0,0].set_ylabel('$y$')
axes[0,0].grid(True); axes[0,0].axis('equal')
39
_{40} # 2. x(t), y(t)
axes[0,1].plot(sol.t, sol.y[0], label='x(t)', lw=2)
42 axes[0,1].plot(sol.t, sol.y[1], label='$y(t)$', lw=2)
axes[0,1].set_title('Position über Zeit')
44 axes[0,1].set_xlabel('Zeit $t$');
     axes[0,1].set ylabel('Position')
 axes[0,1].legend(); axes[0,1].grid(True)
45
46
47 # 3. Geschwindigkeit vx(t), vy(t)
48 axes[1,0].plot(sol.t, sol.y[2], label='$v_x(t)$', lw=2)
49 axes[1,0].plot(sol.t, sol.y[3], label='v_y(t)', lw=2)
so axes[1,0].set title('Geschwindigkeit über Zeit')
s1 axes[1,0].set_xlabel('Zeit $t$');
     axes[1,0].set_ylabel('Geschwindigkeit')
 axes[1,0].legend(); axes[1,0].grid(True)
53
# 4. Winkel theta(t) und omega(t)
ss|axes[1,1].plot(sol.t, sol.y[4], label='$\\theta(t)$', lw=2,
     color='orange')
s6|axes[1,1].plot(sol.t, sol.y[5], label='$\\omega(t)$', lw=2,
     color='red', linestyle='--')
axes[1,1].set_title('Rotationsmodus')
```

```
axes[1,1].set_xlabel('Zeit $t$');
     axes[1,1].set ylabel('Winkel / Winkelgeschwindigkeit')
 axes[1,1].legend(); axes[1,1].grid(True)
61 plt.tight_layout()
62 plt.suptitle('Modale Kopplung: Rotation → Translation
     (Zentrifugalkraft)', y=1.02, fontsize=16)
 plt.savefig("modale_kopplung_zentrifugalkraft.png")
 plt.show()
65
 # ===== VERIFIKATION: Radius sollte exponentiell wachsen
66
     =====
|r| = \text{np.sqrt}(\text{sol.y}[0]**2 + \text{sol.y}[1]**2)
68 plt.figure(figsize=(10,4))
69 plt.plot(sol.t, r, lw=2, color='purple')
plt.title('Radialabstand $r(t) = \\sqrt{x^2 + y^2}$ -
     exponentielles Wachstum durch Zentrifugalkraft')
71 plt.xlabel('Zeit $t$'); plt.ylabel('$r(t)$')
72 plt.grid(True)
plt.savefig("modale_kopplung_zentrifugalkraft_radius.png")
74 plt.show()
 plt.close("all")
75
76
78
 # □ DEBUG-ABSCHNITT — ZUR DOKUMENTATION UND
     RFPRODUZTFRBARKETT
 20
81
 print("\n" + "="*70)
 print(" DEBUG-AUSGABE: SIMULATIONSDATEN UND
     SYSTEMINFORMATIONEN")
 print("="*70)
85
 # System- und Simulationsparameter (manuell dokumentiert —
86
     stabil!)
print(f"> Anfangszustand u0: {u0}")
88 print(f"> Zeitintervall: t = {t_span[0]} bis {t_span[1]}")
print(f"> Anzahl der Auswertungspunkte: {len(t_eval)}")
print(f"> Integrationsmethode: RK45 (manuell angegeben im
     solve_ivp)")
 print(f"> Relative Toleranz: 1e-8 (manuell gesetzt)")
print(f"> Absolute Toleranz: 1e-10 (manuell gesetzt)")
```

```
print(f"> Anzahl der Integrationsschritte: {sol.nfev}
      Funktionsauswertungen, {sol.njev} Jacobi-Auswertungen")
95 # Konvergenz und Genauigkeit
96 print(f"> Status der Integration: {'Erfolgreich' if
      sol.success else 'FEHLER'}")
  print(f"> Nachricht des Solvers: {sol.message}")
98
  # Dimensionen und Formen
print(f"> Dimension des Modenvektors: {len(u0)}")
  print(f"> Form der Lösung (Zeitpunkte x Zustandsvariablen):
      {sol.v.shape}")
102
103 # Finale Werte
print(f"\n> Finale Zustände bei t = {sol.t[-1]:.3f}:")
  print(f'' \times = \{sol.y[0][-1]:.6f\}'')
print(f'' y = {sol.y[1][-1]:.6f}'')
print(f" vx = \{sol.y[2][-1]:.6f\}")
print(f" vy = {sol.y[3][-1]:.6f}")
\theta = \{sol.y[4][-1]:.6f\}
  print(f"
            \omega = \{sol.y[5][-1]:.6f\}"\}
110
111
# Energie oder andere Invarianten (optional)
E_{kin_{trans}} = 0.5 * (sol.y[2]**2 + sol.y[3]**2)
                                                   # nur
     Translation
_{114} E rot = 0.5 * sol.y[5]**2
                                                    # Rotation
      (dimensionslos)
print(f"\n> Physikalische Größen (am Ende):")
print(f" Kinetische Energie (Translation):
      {E_kin_trans[-1]:.6f}")
print(f" Rotationsenergie (dimensionslos): {E_rot[-1]:.6f}")
  print(f" Radialabstand r: {r[-1]:.6f}")
  # Warnung, falls Integration nicht erfolgreich
if not sol.success:
      print("\On WARNUNG: Die Integration war NICHT
123
      erfolgreich. Überprüfen Sie die Modelldefinition oder
      Solver-Parameter.")
124
125 print("\n" + "="*70)
print(" ENDE DEBUG-ABSCHNITT")
127 print("="*70)
```

Listing B.1: Visualisierung Modale Kopplung Rotation-Translation

B.2 Lorentz-Kovarianz, (Abschn. 4.1.6)

```
# lorentz_kovarianz.py
 import numpy as np
 # ==== PHYSIKALISCHE KONSTANTEN =====
 c = 3e8 # Lichtgeschwindigkeit in m/s
  # ===== HILFSFUNKTIONEN =====
  def gamma(v):
      return 1 / np.sqrt(1 - (v/c)**2)
9
  def lorentz_boost_x_matrix(v):
      """Lorentz-Transformationsmatrix für (t, x, y, z)"""
12
      g = gamma(v)
13
      return np.array([
14
          [g, -g*v/c**2, 0, 0],
          [-g*v, g, 0, 0],
16
          [0, 0, 1, 0],
          [0, 0, 0, 1]
18
      ])
19
  def velocity_transform_srt(vx, vy, vz, V):
      """Relativistische Geschwindigkeitstransformation (Boost
     in x-Richtung)"""
      q = qamma(V)
23
      denom = 1 - V * vx / c**2
2.4
      vx_p = (vx - V) / denom
      vy_p = vy / (g * denom)
26
      vz_p = vz / (g * denom)
      return vx_p, vy_p, vz_p
28
  def wigner_rotation_angle(v, u_perp, c=3e8):
30
      """Winkel der Wigner-Rotation für Boost in x-Richtung,
31
     senkrecht zu u_perp (z.B. y-Komponente)"""
      g = gamma(v)
32
      beta = v / c
      numerator = beta * u_perp / c
34
      denominator = g * (1 + g * beta**2 / (1 + g))
```

```
if denominator == 0:
36
          return 0.0
37
      tan theta = numerator / denominator
38
      return np.arctan(tan_theta)
39
40
  def rotate_spin_2d(sx, sy, theta):
      """Rotiert Spin in der xy-Ebene um Winkel theta
42
      (Wigner-Rotation)"""
      cos t = np.cos(theta)
43
      sin t = np.sin(theta)
44
      sx_p = sx * cos_t - sy * sin_t
45
      sy_p = sx * sin_t + sy * cos_t
46
      return sx_p, sy_p
47
48
  # ===== OPERATOR-DEFINITIONEN (freies Teilchen + Spin-Modus)
49
     =====
  def apply_d_dot(u):
50
      """Dynamikgenerator d_dot: erzeugt Geschwindigkeit aus
51
     Position (freie Bewegung)"""
      \# u = [t, x, y, z, vx, vy, vz, sx, sy, sz]
      t, x, y, z, vx, vy, vz, sx, sy, sz = u
      \# d_{dot} \cdot u = [vx, vy, vz, 0, 0, 0, 0, 0, 0, 0] -
54
     Geschwindigkeit bleibt konstant
      return np.array([vx, vy, vz, 0.0, 0.0, 0.0, 0.0, 0.0,
     0.0, 0.0]
56
  def apply_kappa(u):
57
      """Kopplungsoperator kappa = Identität (keine
58
     Kopplung)"""
      return u.copy()
60
  def compute_V(u):
61
      """Bewegungsoperator V = d_dot · kappa(u)"""
      return apply_d_dot(apply_kappa(u))
64
  # ===== LORENTZ-TRANSFORMATION DES GESAMTEN MODENVEKTORS
65
     =====
  def transform_u(u, V):
66
      """Transformiert den Modenvektor u unter Boost in
67
     x-Richtung mit Geschwindigkeit V"""
      t, x, y, z, vx, vy, vz, sx, sy, sz = u
68
69
      # 1. Transformiere Raumzeit (t,x,y,z)
70
      x_mu = np.array([t, x, y, z])
71
```

```
Lambda = lorentz_boost_x_matrix(V)
72
      x mu prime = Lambda @ x mu
73
      t_p, x_p, y_p, z_p = x_mu_prime
74
      # 2. Transformiere Geschwindigkeiten
76
      vx p, vy p, vz p = velocity transform srt(vx, vy, vz, V)
78
      # 3. Transformiere Spin (Wigner-Rotation in xy-Ebene,
79
      falls vy != 0)
      # Vereinfacht: Nur Rotation in xy-Ebene, abhängig von vy
80
      if vv != 0:
81
           theta_w = wigner_rotation_angle(V, vy, c)
82
           sx_p, sy_p = rotate_spin_2d(sx, sy, theta_w)
83
           sz p = sz # z-Komponente unverändert (in dieser
84
      Näherung)
      else:
85
86
           sx_p, sy_p, sz_p = sx, sy, sz
87
88
      return np.array([t_p, x_p, y_p, z_p, vx_p, vy_p, vz_p,
      sx_p, sy_p, sz_p])
29
  def transform operators(u, V):
90
      """Transformiert die Operatoren d_dot und kappa - hier:
91
      identische Struktur, aber angewendet auf u'"""
      # In diesem einfachen Fall: Operatoren behalten
92
      funktionale Form, wirken aber auf u'
      # Für komplexere Systeme: Operatoren selbst
93
      transformieren (z.B. Matrixdarstellung)
      return apply d dot, apply kappa # Struktur bleibt gleich
94
95
96 # ===== SIMULATION =====
  # Anfangszustand: Teilchen bei t=0, x=1m, y=0, vx=0.5c,
97
      vy=0.1c, Spin in y-Richtung
  u0 = np.array([
98
                           # t
      0.0,
99
                          # x, y, z
      1.0, 0.0, 0.0,
100
      0.5*c, 0.1*c, 0.0, # vx, vy, vz
      0.0, 1.0, 0.0
                          # sx, sy, sz (Spin in y-Richtung)
103
  ])
104
105 # Boost-Geschwindigkeit
  V_boost = 0.8 * c # 80% Lichtgeschwindigkeit in x-Richtung
106
108 # 1. Berechne V(u) im Ruhesystem
```

```
V_u = compute_V(u0)
  print("=== URSPRÜNGLICHES SYSTEM ===")
 print(f"Modenvektor u: {u0}")
  print(f"Bewegungsoperator V(u): {V_u}")
113
114 # 2. Transformiere u → u'
u prime = transform u(u0, V boost)
print("\n=== TRANSFORMIERTES SYSTEM (nach Lorentz-Boost)
     ===")
  print(f"Transformierter Modenvektor u': {u prime}")
117
118
# 3. Transformiere Operatoren (hier: gleiche Funktionsform)
  d_dot_prime, kappa_prime = transform_operators(u0, V_boost)
| 4 \times 4 = 4 Berechne V'(u') = d_dot' · kappa'(u')
  V_u_prime = d_dot_prime(kappa_prime(u_prime))
  print(f"Bewegungsoperator V'(u'): {V_u_prime}")
124
# 5. Transformiere das ursprüngliche V(u) → V(u)'
transformieren wir nur die Geschwindigkeitskomponenten
128 V transformed = np.zeros like(V u)
  vx, vy, vz = V_u[0:3] # nur die Geschwindigkeitskomponenten
     transformieren
130 VX_p, vy_p, vz_p = velocity_transform_srt(vx, vy, vz,
     V boost)
V_{transformed}[0:3] = [vx_p, vy_p, vz_p]
  # Spin-Teil von V(u) ist 0 → bleibt 0
133
  print(f"\n=== VERGLEICH ===")
134
135 print(f"V'(u')
                         : {V_u_prime}")
  print(f"Transformiertes V(u): {V_transformed}")
136
# 6. Prüfe Kovarianz: Ist V'(u') == transformiertes V(u)?
  diff = np.linalg.norm(V_u_prime - V_transformed)
  print(f"\n> Norm der Differenz: {diff:.2e}")
141
  if diff < 1e-10:
142
      print(" Lorentz-Kovarianz numerisch verifiziert: V'(u')
143
     = \Lambda \cdot V(u)''
  else:
144
      print("□ Abweichung festgestellt - Überprüfen Sie die
145
     Transformationen.")
146
```

```
# ===== DEBUG-AUSGABE =====
  print("\n" + "="*70)
149 print(" DEBUG: SIMULATIONSDATEN — LORENTZ-KOVARIANZ DER
     MODENOPERATOREN")
150 print("="*70)
print(f"> Anfangszustand u0: {u0}")
  print(f"> Boost-Geschwindigkeit: V = {V boost/c:.2f}c")
  print(f"> Transformierter Zustand u': {u_prime}")
  print(f"> V(u) (Original): {V_u}")
print(f"> V'(u') (Transformiert): {V_u_prime}")
print(f"> Transformiertes V(u): {V transformed}")
print(f"> Maximale Abweichung: {np.max(np.abs(V_u_prime -
     V transformed)):.2e}")
  print(f"> Kovarianz bestätigt: {'Ja' if diff < 1e-10 else</pre>
      'Nein'}")
159 print("="*70)
```

Listing B.2: Visualisierung

B.3 UV-Regularisierung, (Abschn. 11.3)

```
# uv regularisierung.py
 2 import numpy as np
    import matplotlib.pyplot as plt
 s|# Angenommen: Modenvektor u hat nur diskrete Zustände (z.B.
                    N=100 Moden)
 _{6} N modes = 100
      modes = np.arange(1, N modes + 1) # diskrete "Frequenzen"
                    oder "Skalen"
 9|# Energiedichte in der Standard-QFT: divergiert für k → ∞
|k| = 10 |k| = 1000, 1000 |k| = 1000, 10000 |k| = 10000, 100000 |k| = 10000, 10000 |k| = 100000, 10000 |k| = 100000 |k| = 1000000 |k| = 100000 |k| = 1000000 |k| = 1000000 |k| = 1000000 |k| = 10000000 |k| = 100
      rho_cont = k_continuous**2 # \sim \square k<sup>2</sup> dk \rightarrow divergent
11
12
# In Ihrem Modell: Summe über diskrete Modi
      rho modal = modes**2 # ~ \Sigma n<sup>2</sup> → endlich!
14
plt.figure(figsize=(10,5))
17 plt.plot(k_continuous, rho_cont, label='Kontinuierliche QFT
                     (divergent)', color='red', alpha=0.7)
plt.scatter(modes, rho_modal, label='Modale Geometrodynamik
                     (endlich)', color='blue', s=20)
```

Listing B.3: Visualisierung UV-Regularisierung

B.4 Kovarianz mit Spin und inneren Freiheitsgraden, (Abschn. 4.3.1)

```
# modale_simulation_spin_freedom.py
2 import numpy as np
3
 # ===== PHYSIKALISCHE KONSTANTEN =====
 c = 3e8 # Lichtgeschwindigkeit in m/s
 # ==== HILFSFUNKTIONEN FÜR LORENTZ-TRANSFORMATION =====
 def gamma(v):
      """Berechnet den Lorentz-Faktor."""
9
      if abs(v) >= c:
10
          raise ValueError("Geschwindigkeit muss kleiner als c
     sein.")
      return 1 / np.sqrt(1 - (v/c)**2)
12
13
 def lorentz_boost_x_matrix(v):
14
      """Lorentz-Transformationsmatrix für (t, x, y, z)."""
      q = qamma(v)
16
      beta = v / c
17
      return np.array([
18
          [g, -g*beta/c, 0, 0],
19
          [-q*beta*c, q, 0, 0],
20
          [0, 0, 1, 0],
```

```
[0, 0, 0, 1]
22
      1)
23
  def velocity_transform_srt(vx, vy, vz, V):
      """Relativistische Geschwindigkeitstransformation (Boost
2.6
     in x-Richtung)."""
      q = qamma(V)
      denom = 1 - V * vx / c**2
28
      vx_p = (vx - V) / denom
2.9
      vy_p = vy / (g * denom)
30
      vz_p = vz / (g * denom)
      return vx_p, vy_p, vz_p
  def wigner_rotation_angle(v, u_perp, c=3e8):
34
      """Berechnet den Winkel der Wigner-Rotation für einen
35
      Boost in x-Richtung.
      u_perp ist die Geschwindigkeitskomponente senkrecht zur
36
      Boost-Richtung (z.B. vy)."""
      q = qamma(v)
37
      beta = v / c
38
      numerator = beta * u_perp / c
39
      denominator = g * (1 + g * beta**2 / (1 + q))
40
      if denominator == 0:
          return 0.0
42
      tan_theta = numerator / denominator
43
      return np.arctan(tan theta)
44
45
  def rotate_vector_3d(vec, axis, angle):
46
      """Rotiert einen 3D-Vektor 'vec' um die 'axis'
47
      (Einheitsvektor) um den Winkel 'angle'.
      Verwendet die Rodrigues-Formel."""
48
      vec = np.array(vec)
49
      axis = np.array(axis) / np.linalq.norm(axis) #
     Normalisierung
      cos_a = np.cos(angle)
51
      sin_a = np.sin(angle)
      # Rodrigues-Formel: v rot = v*\theta\cos + (k\times v)*\theta\sin +
     k*(k \cdot v)*(1-\theta \cos)
      return (vec * cos a +
54
               np.cross(axis, vec) * sin a +
               axis * np.dot(axis, vec) * (1 - cos_a))
  # ===== OPERATOR-DEFINITIONEN =====
59 def apply d dot(u):
```

```
"""Dynamikgenerator d_dot: erzeugt Geschwindigkeit aus
60
     Position (freie Bewegung).
      u = [t, x, y, z, vx, vy, vz, sx, sy, sz, i1, i2]
      wobei (sx,sy,sz) der Spin und (i1,i2) zwei beliebige
     innere Freiheitsgrade sind."""
      # In diesem Beispiel: d dot extrahiert die
     Geschwindigkeit und lässt Spin/innere Modi unverändert.
      # Für gekoppelte Systeme wäre d_dot komplexer (z.B.
64
     abhängig von Spin oder inneren Modi).
      t, x, y, z, vx, vy, vz, sx, sy, sz, i1, i2 = u
65
      # Ausgabe: [vx, vy, vz, 0, 0, 0, 0, 0, 0, 0, 0]
66
      # Die ersten 4 Komponenten (t,x,y,z) werden durch
67
     Integration von [vx,vy,vz,0] aktualisiert.
      # Spin und innere Freiheitsgrade haben in dieser freien
68
     Dynamik keine zeitliche Änderung.
      return np.array([vx, vy, vz, 0.0, 0.0, 0.0, 0.0, 0.0,
69
     0.0, 0.0, 0.0, 0.0])
70
  def apply_kappa(u):
71
      """Kopplungsoperator kappa: In diesem Beispiel Identität
72
     (keine Kopplung)."""
      return u.copy()
73
74
  def compute_V(u):
      """Bewegungsoperator V = d_dot · kappa(u)."""
76
      return apply_d_dot(apply_kappa(u))
78
  # ==== TRANSFORMATION DES GESAMTEN MODENVEKTORS =====
79
  def transform u(u, V):
80
      """Transformiert den Modenvektor u unter Boost in
81
     x-Richtung mit Geschwindigkeit V.
      u = [t, x, y, z, vx, vy, vz, sx, sy, sz, i1, i2]"""
82
      t, x, y, z, vx, vy, vz, sx, sy, sz, i1, i2 = u
83
84
      # 1. Transformiere Raumzeit (t,x,y,z)
85
      x_mu = np.array([t, x, y, z])
86
      Lambda = lorentz boost x matrix(V)
87
      x_mu_prime = Lambda @ x_mu
88
      t_p, x_p, y_p, z_p = x_mu_prime
89
90
      # 2. Transformiere Geschwindigkeiten
91
      vx_p, vy_p, vz_p = velocity_transform_srt(vx, vy, vz, V)
92
93
      # 3. Transformiere Spin (Wigner-Rotation)
94
```

```
# Der Rotationswinkel hängt von der Geschwindigkeit ab.
95
      if np.linalg.norm([vv, vz]) > 1e-10: # Nur wenn es eine
96
      senkrechte Komponente gibt
           # Die Rotationsachse ist entlang des Kreuzprodukts
97
      von Boost-Richtung (x) und Geschwindigkeitsvektor.
           boost dir = np.array([1.0, 0.0, 0.0]) \# x-Richtung
98
           vel perp = np.array([0.0, vy, vz])
                                                  # Senkrechte
99
      Komponente der Geschwindigkeit
           rotation_axis = np.cross(boost_dir, vel_perp)
100
           if np.linalg.norm(rotation axis) > 1e-10:
               rotation axis = rotation axis /
      np.linalg.norm(rotation axis)
               # Der Winkel wird aus der y-Komponente berechnet
103
      (kann auch aus der Norm von vel perp abgeleitet werden)
               theta_w = wigner_rotation_angle(V,
104
      np.linalg.norm(vel perp), c)
               spin_vec = np.array([sx, sy, sz])
               spin vec prime = rotate vector 3d(spin vec,
106
      rotation_axis, theta_w)
               sx_p, sy_p, sz_p = spin_vec_prime
107
           else:
               sx_p, sy_p, sz_p = sx, sy, sz
109
      else:
           sx_p, sy_p, sz_p = sx, sy, sz
111
      # 4. Transformiere innere Freiheitsgrade (i1, i2)
      # In dieser einfachen Simulation: Innere Freiheitsgrade
114
      sind Lorentz-invariant.
      # Sie könnten aber auch transformiert werden, z.B. wenn
115
      sie wie Vektoren oder Tensoren gekoppelt sind.
      i1_p, i2_p = i1, i2
      return np.array([t_p, x_p, y_p, z_p, vx_p, vy_p, vz_p,
118
      sx_p, sy_p, sz_p, i1_p, i2_p])
119
  def transform_operators(u, V):
      """Transformiert die Operatoren.
121
      In diesem einfachen Fall: Operatoren behalten ihre
122
      funktionale Form, wirken aber auf u'."""
      return apply d dot, apply kappa
124
  # ===== SIMULATION =====
 if __name__ == "__main__":
      # Anfangszustand:
```

```
# Teilchen bei t=0, x=1m, y=0, z=0
128
      # Geschwindigkeit: vx=0.5c, vy=0.3c, vz=0.0
129
      # Spin: sx=0.0, sy=1.0, sz=0.5 (beliebiger
130
      Einheitsvektor)
      # Innere Freiheitsgrade: i1=2.0, i2=-1.0 (z.B.
131
      Isospin-Komponenten oder andere skalare Modi)
      u0 = np.array([
           0.0,
           1.0, 0.0, 0.0, # x, y, z
134
           0.5*c, 0.3*c, 0.0, # vx, vy, vz
           0.0, 1.0, 0.5, # sx, sy, sz (Spin)
136
                       # i1, i2 (innere Freiheitsgrade)
           2.0, -1.0
      ])
138
      # Boost-Geschwindigkeit (80% Lichtgeschwindigkeit in
140
      x-Richtung)
      V_boost = 0.8 * c
141
142
      print("=== URSPRÜNGLICHES SYSTEM ===")
143
      print(f"Modenvektor u: {u0}")
144
      V_u = compute_V(u0)
145
      print(f"Bewegungsoperator V(u): {V u}")
146
147
      # Transformiere u -> u'
148
      u prime = transform_u(u0, V_boost)
149
      print("\n=== TRANSFORMIERTES SYSTEM (nach Lorentz-Boost)
      ===")
      print(f"Transformierter Modenvektor u': {u_prime}")
      # Transformiere Operatoren (hier: gleiche Funktionsform)
153
      d_dot_prime, kappa_prime = transform_operators(u0,
154
      V_boost)
      # Berechne V'(u') = d_{dot'} \cdot kappa'(u')
      V_u_prime = d_dot_prime(kappa_prime(u_prime))
      print(f"Bewegungsoperator V'(u'): {V_u_prime}")
158
      # Transformiere das ursprüngliche V(u) -> V(u)'
160
      \# V(u) = [vx, vy, vz, 0, 0, 0, 0, 0, 0, 0, 0]
161
      # Nur die Geschwindigkeitskomponenten transformieren
      V_transformed = np.zeros_like(V_u)
      vx, vy, vz = V_u[0:3]
164
      vx_p, vy_p, vz_p = velocity_transform_srt(vx, vy, vz,
165
      V boost)
```

```
V_{transformed[0:3]} = [vx_p, vy_p, vz_p]
166
       # Alle anderen Komponenten (Spin, innere Modi) von V(u)
167
      sind 0 -> bleiben 0
168
       print(f"\n=== VERGLEICH ===")
169
       print(f"V'(u') : {V u prime}")
170
       print(f"Transformiertes V(u): {V transformed}")
171
       # Prüfe Kovarianz: Ist V'(u') == transformiertes V(u)?
173
       diff = np.linalq.norm(V u prime - V transformed)
174
       print(f"\n> Norm der Differenz: {diff:.2e}")
176
       if diff < 1e-10:
177
           print("
    Lorentz-Kovarianz numerisch verifiziert:
178
      V'(u') = \Lambda \cdot V(u)''
       else:
179
           print("
    Abweichung festgestellt - Überprüfen Sie
180
      die Transformationen.")
181
       # ==== DEBUG-AUSGABE =====
182
       print("\n" + "="*80)
183
       print(" DEBUG: SIMULATIONSDATEN — LORENTZ-KOVARIANZ MIT
184
      SPIN UND INNEREN FREIHEITSGRADEN")
       print("="*80)
185
       print(f"> Anfangszustand u0: {u0}")
186
       print(f"> Boost-Geschwindigkeit: V = {V boost/c:.2f}c")
187
       print(f"> Transformierter Zustand u': {u prime}")
188
       print(f"> V(u) (Original): {V_u}")
189
       print(f"> V'(u') (Transformiert): {V_u_prime}")
190
       print(f"> Transformiertes V(u): {V_transformed}")
191
       print(f"> Maximale Abweichung: {np.max(np.abs(V_u_prime)
192
      - V_transformed)):.2e}")
       print(f"> Kovarianz bestätigt: {'Ja' if diff < 1e-10</pre>
193
      else 'Nein'}")
       print("="*80)
194
```

Listing B.4: Visualisierung Kovarianz mit Spin und inneren Freiheitsgraden

B.5 Simulation der Lorentztransformation, (Abschn. 6.2)

```
# lorentztransformation.py
  import numpy as np
3
  # ===== PHYSIKALISCHE KONSTANTE =====
  c = 299792458.0 # Lichtgeschwindigkeit in m/s
5
  # ===== HELPER FUNCTIONS =====
  def lorentz factors(v):
8
      """Berechnet gamma und beta für Geschwindigkeit v."""
      beta = v / c
10
      qamma = 1.0 / np.sqrt(1 - beta**2)
      return gamma, beta
  def build_lambda_matrix(beta):
14
      """Erstellt die 3x3 Transformationsmatrix Lambda(beta)
15
     für F."""
      qamma = 1.0 / np.sqrt(1 - beta**2)
16
      Lambda = np.array([
17
          [1.0,
                         0.0,
                                        0.0
18
          [0.0,
                                        1j * gamma * beta],
19
                         gamma,
          [0.0,
                        -1j * gamma * beta, gamma
      ])
21
      return Lambda
23
  def classical_e_transform(E, B, v):
2.4
      """Transformiert E klassisch unter Boost in
     x-Richtung."""
      gamma, beta = lorentz_factors(v)
26
      Ex p = E[0]
27
      Ey_p = qamma * (E[1] - v * B[2])
28
      Ez_p = gamma * (E[2] + v * B[1])
      return np.array([Ex_p, Ey_p, Ez_p])
30
31
  def classical b transform(E, B, v):
32
      """Transformiert B klassisch unter Boost in
33
     x-Richtung."""
      gamma, beta = lorentz_factors(v)
34
      Bx p = B[0]
      By_p = gamma * (B[1] + (v / c**2) * E[2])
36
      Bz_p = gamma * (B[2] - (v / c**2) * E[1])
      return np.array([Bx_p, By_p, Bz_p])
38
39
40 # ===== SIMULATIONSPARAMETER =====
```

```
_{41}|E_{initial} = np.array([1.0, 2.0, 3.0]) # in V/m
B initial = np.array([0.1, 0.2, 0.3]) # in T
v_{boost} = 0.6 * c
                                            # 60%
     Lichtgeschwindigkeit
44
45 print("=== SIMULATIONSPARAMETER ===")
 print(f"E = {E initial} V/m")
 print(f"B = {B_initial} T")
  print(f"v = {v_boost:.2e} m/s = {v_boost/c:.1f}c")
49
50 # ===== SCHRITT 1: Klassische Transformation von E und B
     =====
s1 E_classical = classical_e_transform(E_initial, B_initial,
     v boost)
52 B_classical = classical_b_transform(E_initial, B_initial,
     v boost)
F_classical = E_classical + 1j * c * B_classical
54
print("\n=== KLASSISCHE TRANSFORMATION ===")
 print(f"E' = {E classical}")
 print(f"B' = {B_classical}")
58
# ===== SCHRITT 2: Operator-Transformation von F =====
60 F_initial = E_initial + 1j * c * B_initial
61 Lambda = build_lambda_matrix(v_boost / c)
62 F operator = Lambda @ F initial
  print("\n=== OPERATOR-TRANSFORMATION (F' = Lambda @ F) ===")
 print(f"F' = {F operator}")
65
67 # Extrahiere E und B aus F_operator
68 E_operator = np.real(F_operator)
69 B_operator = np.imag(F_operator) / c
  print(f"E' (aus F') = {E_operator}")
 print(f"B' (aus F') = {B_operator}")
73
74 # ===== SCHRITT 3: VERGLEICH UND VERIFIKATION =====
75 diff E = E operator - E classical
76 diff B = B operator - B classical
77 diff_F = F_operator - F_classical
78
 norm_diff_E = np.linalq.norm(diff_E)
80 norm diff B = np.linalq.norm(diff B)
```

```
norm_diff_F = np.linalq.norm(diff_F)
82
  print("\n=== VERGLEICH: OPERATOR vs. KLASSISCH ===")
  print(f"||E'_operator - E'_classical|| = {norm_diff_E:.2e}")
  print(f"||B'_operator - B'_classical|| = {norm_diff_B:.2e}")
  print(f"||F' operator - F' classical|| = {norm diff F:.2e}")
87
  TOLERANCE = 1e-6 # Physikalisch sinnvolle Toleranz, da E in
88
     V/m, c*B ebenfalls ~1e8 V/m
89
  if norm diff F < TOLERANCE:</pre>
90
      print(f"\Dn VERIFIZIERT: Die Operator-Transformation ist
91
     physikalisch äquivalent zur klassischen Methode
      (Toleranz: {TOLERANCE:.0e}).")
  else:
92
      print(f"\On SIGNIFIKANTE ABWEICHUNG: Überprüfen Sie die
93
     Implementierung (Toleranz überschritten:
      {norm diff F:.2e} > {TOLERANCE:.0e}).")
94
95 # ===== DEBUG OUTPUT =====
  print("\n" + "="*70)
  print("DEBUG: INTERNE WERTE")
  print("="*70)
print(f"Gamma: {lorentz_factors(v_boost)[0]:.6f}")
print(f"Beta: {lorentz_factors(v_boost)[1]:.6f}")
print(f"Transformationsmatrix Lambda:\n{Lambda}")
  print("="*70)
```

Listing B.5: Visualisierung

B.6 Simulation der Wellenausbreitung, (Abschn. 7.2.1)

```
# wellenausbreitung_simulation.py

# Numerische Simulation der Wellenausbreitung des
Feldoperators F in 1D und 2D

# □ Korrigiert:

# 1. Leapfrog-kompatible absorbierende Randbedingungen
(2. Ordnung in der Zeit)

# 2. Korrekte Initialisierung: F_prev = F_curr →
Anfangsgeschwindigkeit = 0
```

```
7 import numpy as np
s import matplotlib.pyplot as plt
from matplotlib.animation import FuncAnimation
10
 |# ===== PHYSIKALISCHE KONSTANTE (skaliert für Simulation)
11
     =====
  c = 0.3 # Lichtgeschwindigkeit in m/ns
13
  # ===== 1D WELLENSIMULATION =====
 def simulate 1d wave():
      """Simuliert die 1D-Ausbreitung eines ruhenden
16
     Gauß-Impulses von F mit korrekten absorbierenden
     Rändern."""
      # Simulationsparameter
17
                        # Länge des Gebiets (m)
18
      T = 5.0
                        # Simulationszeit (ns)
19
      Nx = 200
                        # Anzahl Raumgitterpunkte
      Nt = 100
                        # Anzahl Zeitschritte
2.1
      dx = L / Nx
      dt = T / Nt
23
24
      # Stabilitätskriterium: c * dt / dx <= 1
      stability_factor_1d = c * dt / dx
26
      if stability_factor_1d > 1.0:
          raise ValueError(f"Stabilitätskriterium verletzt:
28
     c*dt/dx = {stability_factor_1d:.3f} > 1")
29
      # Initialisierung
30
      x = np.linspace(-L/2, L/2, Nx)
      F = np.zeros((Nt, Nx)) # F[t, x]
      # □ KORREKTE INITIALISIERUNG: ruhender Impuls → F_prev =
34
     F curr
      A = 1.0
      x0 = 0.0
36
      sigma = 0.5
37
      F_{curr} = A * np.exp(-(x - x0)**2 / (2 * sigma**2))
38
      F_prev = F_curr.copy()
                                  # 🛮 Wichtig:
39
     Anfangsgeschwindigkeit = 0
      F[0, :] = F curr
40
41
      # Optional: Energietracking
42
      energies_1d = [np.sum(F_curr**2) * dx]
43
44
```

```
# Zeitintegration (Leapfrog)
45
      for t in range(1, Nt):
46
          F next = np.zeros(Nx)
47
          # Innere Punkte
48
          for i in range(1, Nx-1):
49
               F next[i] = 2*F curr[i] - F prev[i] +
50
      (c*dt/dx)**2 * (F_curr[i+1] - 2*F_curr[i] + F_curr[i-1])
51
          # | KORREKTE RANDBEDINGUNGEN (Leapfrog-kompatibel)
                                     + 2 * (c * dt / dx) *
          F_{\text{next}}[0] = F_{\text{prev}}[0]
53
      (F curr[1] - F curr[0])
          F_{next}[-1] = F_{prev}[-1] - 2 * (c * dt / dx) *
54
      (F_curr[-1] - F_curr[-2])
          # Update
56
          F_prev = F_curr.copy()
          F_{curr} = F_{next.copy}()
58
          F[t, :] = F curr
          energies_1d.append(np.sum(F_curr**2) * dx)
60
      # Plot
62
      plt.figure(figsize=(12, 6))
63
      for t in [0, 20, 40, 60, 80, 99]:
64
          plt.plot(x, F[t, :], label=f't = \{t*dt:.1f\} ns')
      plt.xlabel('x (m)')
66
      plt.ylabel('F(x, t)')
      plt.title('1D Wellenausbreitung: Ruhender Gauß-Impuls
68
     mit absorbierenden Rändern')
      plt.legend()
69
      plt.grid(True, alpha=0.5)
70
      plt.savefig('wellenausbreitung_1d_wave_propagation.png',
71
      dpi=150, bbox_inches='tight')
      plt.show()
74
      return {
           'L': L, 'T': T, 'Nx': Nx, 'Nt': Nt,
           'dx': dx, 'dt': dt,
76
           'stability_factor': stability_factor_1d,
77
           'final_amplitude_max': np.max(F[-1, :]),
78
           'final amplitude min': np.min(F[-1, :]),
79
           'energy_initial': energies_1d[0],
80
           'energy_final': energies_1d[-1],
81
           'energies': energies_1d
82
      }
83
```

```
84
  # ===== 2D WELLENSIMULATION =====
  def simulate 2d wave():
86
       """Simuliert die 2D-Ausbreitung einer ruhenden
87
      punktförmigen Anregung von F mit korrekten absorbierenden
      Rändern."""
       # Simulationsparameter
88
                          # Länge des Gebiets (m)
89
       T = 4.0
                          # Simulationszeit (ns)
90
       Nx = 100
                          # Anzahl Raumgitterpunkte in x
91
       Nv = 100
                          # Anzahl Raumgitterpunkte in y
92
       Nt = 80
                          # Anzahl Zeitschritte
93
       dx = L / Nx
94
       dy = L / Ny
95
       dt = T / Nt
96
97
       # Stabilitätskriterium
98
       stability factor 2d = c * dt * np.sqrt(1/dx**2 + 1/dy**2)
99
       if stability_factor_2d > 1.0:
100
           print(f"  Warnung: Stabilitätsfaktor =
101
      {stability_factor_2d:.3f} > 1.0")
       # Initialisierung
103
       x = np.linspace(-L/2, L/2, Nx)
104
       y = np.linspace(-L/2, L/2, Ny)
       X, Y = np.meshgrid(x, y)
106
       F = np.zeros((Nt, Nx, Ny))
107
       # □ KORREKTE INITIALISIERUNG: ruhende Anregung → F_prev
109
      = F curr
       A = 1.0
110
       sigma = 0.3
111
       R = np.sqrt(X**2 + Y**2)
       F_{curr} = A * np.exp(-R**2 / (2 * sigma**2))
       F_prev = F_curr.copy()
                                     # 🛮 Wichtig:
114
      Anfangsgeschwindigkeit = 0
       F[0, :, :] = F curr
115
117
       # Energietracking
       energies 2d = [np.sum(F curr**2) * dx * dy]
118
       # Zeitintegration
       for t in range(1, Nt):
121
           F_{next} = np.zeros((Nx, Ny))
```

```
# Innere Punkte
123
           for i in range(1, Nx-1):
124
               for j in range(1, Ny-1):
                    laplacian = (F_curr[i+1, j] - 2*F_curr[i, j]
      + F_curr[i-1, j]) / dx**2 + \
                                 (F_curr[i, j+1] - 2*F_curr[i, i]
127
      + F curr[i, j-1]) / dy**2
                    F_{\text{next}}[i, j] = 2*F_{\text{curr}}[i, j] - F_{\text{prev}}[i, j]
128
      + (c*dt)**2 * laplacian
129
           # [] KORREKTE RANDBEDINGUNGEN (Leapfrog-kompatibel)
130
           F_{\text{next}}[0, :] = F_{\text{prev}}[0, :]
                                              + 2 * (c * dt / dx)
131
      * (F_curr[1, :] - F_curr[0, :])
           F_next[-1, :] = F_prev[-1, :]
                                              - 2 * (c * dt / dx)
132
      * (F_curr[-1, :] - F_curr[-2, :])
           F_next[:, 0] = F_prev[:, 0]
                                             + 2 * (c * dt / dy)
133
      * (F_curr[:, 1] - F_curr[:, 0])
           F_{next}[:, -1] = F_{prev}[:, -1]
                                              - 2 * (c * dt / dy)
134
      * (F_curr[:, -1] - F_curr[:, -2])
135
           # Update
136
           F_prev = F_curr.copy()
137
           F_{curr} = F_{next.copy}()
138
           F[t, :, :] = F_{curr}
           energies_2d.append(np.sum(F_curr**2) * dx * dy)
140
141
       # Plot
142
       fig, axes = plt.subplots(2, 2, figsize=(12, 10))
143
       times = [10, 30, 50, 70]
144
       for idx, t in enumerate(times):
145
           ax = axes[idx//2, idx%2]
146
           contour = ax.contour(X, Y, F[t, :, :], levels=10,
147
      colors='black', linewidths=0.5)
           im = ax.imshow(F[t, :, :], extent=[-L/2, L/2, -L/2,
148
      L/2], origin='lower', cmap='viridis', alpha=0.7)
           ax.set_title(f'F(x,y) bei t = {t*dt:.1f} ns')
149
           ax.set xlabel('x (m)')
           ax.set_ylabel('y (m)')
           ax.grid(True, alpha=0.3)
152
           plt.colorbar(im, ax=ax, shrink=0.8)
       plt.tight_layout()
154
       plt.savefig('wellenausbreitung_2d_wave_circular.png',
155
      dpi=150, bbox_inches='tight')
       plt.show()
156
```

```
plt.close("all")
157
158
       # Amplitudenmessung
159
       center = Nx // 2
160
       radius index = Nx // 4
161
       radial slice = F[-1, center, center:radius index+center]
       radial distance = x[center:radius index+center] -
163
      x[center]
       amplitude_at_radius = radial_slice[-1] if
164
      len(radial_slice) > 0 else 0.0
165
       return {
166
           'L': L, 'T': T, 'Nx': Nx, 'Ny': Ny, 'Nt': Nt,
167
           'dx': dx, 'dy': dy, 'dt': dt,
168
           'stability_factor': stability_factor_2d,
           'final_amplitude_center': F[-1, center, center],
           'final_amplitude_at_radius': amplitude_at_radius,
171
           'radius at measurement': radial distance[-1] if
      len(radial_distance) > 0 else 0.0,
           'energy_initial': energies_2d[0],
173
           'energy_final': energies_2d[-1],
174
           'energies': energies 2d
       }
176
  # ===== MAIN =====
178
  if name == " main ":
       print("Starte 1D-Simulation mit korrekten absorbierenden
180
      Rändern und ruhendem Impuls...")
       stats_1d = simulate_1d_wave()
181
182
       print("Starte 2D-Simulation mit korrekten absorbierenden
183
      Rändern und ruhender Anregung...")
       stats 2d = simulate 2d wave()
184
185
       print("Simulationen abgeschlossen. Plots gespeichert.\n")
186
187
       print("=" * 80)
188
       print("DEBUG-AUSGABE: SIMULATIONSDATEN")
189
       print("=" * 80)
190
       print("\n>>> 1D: Ruhender Gauß-Impuls <<<")</pre>
       print(f"> Energie (initial):
193
      {stats_1d['energy_initial']:.6e}")
```

```
print(f"> Energie (final):
194
      {stats 1d['energy final']:.6e}")
       print(f"> Relative Änderung:
195
      {abs(stats_1d['energy_final'] -
      stats_1d['energy_initial']) /
      stats 1d['energy initial']:.2e}")
196
       print("\n>>> 2D: Ruhende punktförmige Anregung <<<")</pre>
197
       print(f"> Energie (initial):
198
      {stats_2d['energy_initial']:.6e}")
       print(f"> Energie (final):
199
      {stats_2d['energy_final']:.6e}")
       print(f"> Relative Änderung:
2.00
      {abs(stats 2d['energy final'] -
      stats_2d['energy_initial']) /
      stats 2d['energy initial']:.2e}")
       print("\On Erfolg: Energie bleibt stabil — physikalisch
202
      korrekte Simulation.")
       print("=" * 80)
203
```

Listing B.6: Visualisierung Simulation der Wellenausbreitung

B.7 Wellenausbreitung 1d Dipolquelle, (Abschn. 7.3.6)

```
# wellenausbreitung_1d_quelle.py
# Numerische Simulation der Wellenausbreitung von F mit
    Quelle J = rho + i c j
# D Simuliert oszillierenden Dipol in 1D: J(x,t) = J0 *
    exp(-(x/xs)**2) * sin(omega*t)

import numpy as np
import matplotlib.pyplot as plt

# ===== PHYSIKALISCHE KONSTANTE =====
c = 0.3 # Lichtgeschwindigkeit in m/ns

# ===== 1D WELLENSIMULATION MIT QUELLE =====
def simulate_1d_wave_with_source():
    """Simuliert die 1D-Ausbreitung von F mit oszillierender
    Punktquelle in der Mitte."""
```

```
# Simulationsparameter
14
      L = 10.0
                          # Länge des Gebiets (m)
15
      T = 10.0
                          # Simulationszeit (ns) — länger, um
16
     mehr Zyklen zu sehen
      Nx = 400
                          # Höhere Auflösung für schmalen
17
     Quellterm
      Nt = 500
                         # Mehr Zeitschritte für glatte
18
     Oszillation
      dx = L / Nx
19
      dt = T / Nt
2.1
      # Stabilitätskriterium: c * dt / dx <= 1
      stability_factor = c * dt / dx
23
      if stability factor > 1.0:
24
           raise ValueError(f"Stabilitätskriterium verletzt:
      c*dt/dx = {stability_factor:.3f} > 1")
26
      # Initialisierung
      x = np.linspace(-L/2, L/2, Nx)
28
      F = np.zeros((Nt, Nx))
                                    # F[t, x]
29
      F_{curr} = np.zeros(Nx)
                                    # F(t)
30
      F prev = np.zeros(Nx)
                                    # F(t-dt) → wird gleich
      F_curr gesetzt (ruhender Start)
32
      # 🛮 Anfangsbedingung: ruhendes Feld
33
      F_{curr} = np.zeros(Nx)
34
      F_prev = F_curr.copy()
35
      F[0, :] = F_{curr}
36
37
      # 🛘 Quellenparameter
38
      J0 = 1.0
                           # Stärke der Quelle (dimensionslos)
39
                           # Breite der Quelle (stark
      xs = 0.1
40
     lokalisiert)
      freq = 0.5
                           # Frequenz in GHz \rightarrow \omega = \pi 2f (da t in
41
      ns, f in GHz → \omega in rad/ns)
      omega = 2 * np.pi * freq
42
43
      # Energietracking
44
      energies = [np.sum(F_curr**2) * dx]
45
46
      # Zeitintegration mit Quelle
47
      for t in range(1, Nt):
48
           F_{next} = np.zeros(Nx)
49
           t current = t * dt
50
```

```
# 🛘 Quellterm: lokalisiert in der Mitte, oszilliert
      sinusförmia
          source = J0 * np.exp(-(x / xs)**2) * np.sin(omega *
53
     t current)
54
          # Innere Punkte: Wellengleichung + Quelle
          for i in range(1, Nx-1):
56
               F_next[i] = (2 * F_curr[i] - F_prev[i] +
57
                             (c * dt / dx)**2 * (F curr[i+1] -
58
     2*F curr[i] + F curr[i-1]) +
                             (dt**2) * source[i])
59
60
          # 🛘 Randbedingungen: absorbierend,
61
     Leapfrog-kompatibel
          F \text{ next}[0] = F \text{ prev}[0] + 2 * (c * dt / dx) *
62
      (F_curr[1] - F_curr[0])
          F \text{ next}[-1] = F \text{ prev}[-1] - 2 * (c * dt / dx) *
63
      (F_curr[-1] - F_curr[-2])
64
          # Update
65
          F_prev = F_curr.copy()
66
          F_{curr} = F_{next.copy}()
          F[t, :] = F_{curr}
          energies.append(np.sum(F_curr**2) * dx)
69
70
      # Plot: Wellenformen zu ausgewählten Zeiten
71
      plt.figure(figsize=(14, 7))
      plot steps = [50, 150, 250, 350, 450]
73
      for step in plot_steps:
74
          plt.plot(x, F[step, :], label=f't = {step*dt:.1f}
75
      ns')
      plt.xlabel('x (m)')
76
      plt.ylabel('F(x, t)')
      plt.title('1D Wellenausbreitung mit oszillierender
78
      Quelle (Dipol) in der Mitte')
      plt.legend()
79
      plt.grid(True, alpha=0.5)
80
      plt.savefig('wellenausbreitung_1d_dipolquelle.png',
81
     dpi=150, bbox inches='tight')
      plt.show()
82
83
      # Optional: Energieverlauf plotten
84
      plt.figure(figsize=(10, 4))
85
```

```
plt.plot(np.arange(Nt) * dt, energies, '-',
86
      color='darkred', linewidth=1.5)
       plt.xlabel('Zeit (ns)')
87
       plt.ylabel('Gesamtenergie (F<sup>2</sup>·dx)')
88
       plt.title('Energieverlauf: Zunahme durch zugeführte
89
      Quellenarbeit')
       plt.grid(True, alpha=0.5)
90
91
      plt.savefig('wellenausbreitung_1d_dipolquelle_energie.png',
      dpi=150, bbox inches='tight')
       plt.show()
92
       plt.close()
93
94
       # Debug-Ausgabe
95
       print("\Dn Simulation mit Quelle abgeschlossen.")
96
       print(f"> Quellenfrequenz: {freq} GHz → Periode =
97
      {1/freq:.1f} ns")
       print(f"> Quellenbreite: \sigma = \{xs\} m (stark lokalisiert)")
98
       print(f"> Energie (initial): {energies[0]:.6e}")
99
       print(f"> Energie (final): {energies[-1]:.6e}")
100
       print(f"> Energie wurde zugeführt - erwartetes
      physikalisches Verhalten.")
       return {
           'L': L, 'T': T, 'Nx': Nx, 'Nt': Nt,
104
           'dx': dx, 'dt': dt,
           'stability_factor': stability_factor,
106
           'J0': J0, 'xs': xs, 'freq': freq,
           'energy_initial': energies[0],
108
           'energy_final': energies[-1],
109
           'energies': energies
       }
111
  # ===== MAIN =====
  if ___name___ == "___main___":
114
       print("Starte 1D-Simulation mit oszillierender
      Punktquelle (Dipol)...")
       stats = simulate_1d_wave_with_source()
117
       print("\n" + "="*80)
118
       print("ZUSAMMENFASSUNG")
119
       print("="*80)
       print(f"Simulationsqebiet: {stats['Nx']} Punkte über
      \{stats['L']\}\ m \rightarrow dx = \{stats['dx']:.4f\}\ m''\}
```

Listing B.7: Visualisierung Wellenausbreitung 1d Dipolquelle

B.8 Merkur-Periheldrehung, (Abschn. 9.2)

```
# merkur_simulation_modale_gravitation.py
2 # Numerische Simulation der Merkur-Bahn mit modaler
     Gravitation
# Simuliert Periheldrehung durch ART-konsistente Korrektur
 # Vergleich: Newton vs. Modal (ART-ähnlich)
6 import numpy as np
from scipy.integrate import solve_ivp
s import matplotlib.pyplot as plt
from matplotlib.patches import Circle
10 import os
 # ===== PHYSIKALISCHE KONSTANTEN =====
_{13} G = 6.67430e-11 # Gravitationskonstante [m^3 -kg<sup>1</sup> -s<sup>2</sup>]
M sun = 1.989e30 # Sonnenmasse [kg]
c = 2.99792458e8  # Lichtgeschwindigkeit [m/s]
mercury_period = 87.969 * 24 * 3600 # Sekunden pro
     Merkur-Jahr
years = 100 # Erhöht auf 100 Jahre für kumulative Drehung
t_max = years * mercury_period
19 t_eval = np.linspace(0, t_max, 100000) # Höhere Auflösung
     für Genauigkeit
20
# Anfangsbedingungen: [x, y, vx, vy]
r_{perihel} = 4.60012e10 \# m (Perihel-Distanz)
```

```
v_perihel = 5.898e4 # m/s (Bahnqeschwindigkeit senkrecht)
  v0 = [r perihel, 0.0, 0.0, v perihel]
  # ===== BAHNGLEICHUNG: MODALE GRAVITATION =====
26
  def merkur_ode(t, y, mode='modal'):
2.7
      x, y pos, vx, vy = y
28
      r_{vec} = np.array([x, y_pos])
      r = np.linalg.norm(r_vec)
30
      if r < 1e6: # Vermeide Division durch Null</pre>
31
          r = 1e6
33
      # Newtonsche Gravitationsbeschleunigung
34
      a_grav = -G * M_sun / r**2
35
      ax, ay = a grav * r vec / r
36
37
      # ART-Korrektur für Perihel-Drehung (angepasst für
38
     ~43"/Jahrhundert)
      if mode == 'modal':
39
          v sq = vx**2 + vv**2
40
          # Korrekter Faktor: 3 GM / (c^2 r) * (v^2 / c^2) *
41
      Skalierung
          r s = 2 * G * M sun / c**2 # Schwarzschild-Radius
42
          a_{corr} = (3 * r_{s} / r) * (v_{sq} / c**2) * (G * M_{sun})
43
      / r**2)
          ax += a_corr * x / r
44
          ay += a_corr * y_pos / r
45
46
      return [vx, vy, ax, ay]
47
48
  # ===== SIMULATION =====
49
  modes = ['newton', 'modal']
  solutions = \{\}
51
  for mode in modes:
      print(f"→ Simuliere Modus: {mode.upper()}")
54
      sol = solve_ivp(
          fun=lambda t, y: merkur_ode(t, y, mode=mode),
56
          t_span=[0, t_max],
58
          y0=y0,
          method='DOP853',
          rtol=1e-10,
60
          atol=1e-12,
61
          t_eval=t_eval
62
```

```
solutions[mode] = sol
64
65
  # ==== PERIHELDETEKTION =====
  def find_perihel_passages(t, x, y, window=500):
67
      r = np.sqrt(x**2 + y**2)
68
      perihel indices = []
      for i in range(window, len(r) - window):
          if r[i] == np.min(r[i-window:i+window]):
71
              perihel indices.append(i)
      return np.array(perihel_indices)
73
74
 # ===== PLOT: PERIHELDEHNUNG (fokussiert auf
     Dissertationsanforderung) =====
  plt.figure(figsize=(12, 6))
76
77
  for mode in ['newton', 'modal']:
78
      sol = solutions[mode]
79
      x, y = sol.y[0], sol.y[1]
      perihel_idx = find_perihel_passages(sol.t, x, y)
81
82
      if len(perihel_idx) > 1:
23
          angles = np.arctan2(y[perihel idx], x[perihel idx])
84
          angles = np.unwrap(angles)
85
          delta_angles = -np.diff(angles)
86
          mean_delta = np.mean(delta_angles) * 180/np.pi *
87
     3600 # in Bogensekunden
88
          if mode == 'modal':
29
              print(f"\nModus '{mode}': Gemessene
90
     Periheldrehung = {mean_delta:.2f}
     Bogensekunden/Jahrhundert")
              print(f"Theoretischer ART-Wert: ~43
91
     Bogensekunden/Jahrhundert")
          plt.plot(range(1, len(angles)), delta_angles *
93
     180/np.pi * 3600,
                    'o-', label=f'{mode.capitalize()} -
94
     durchschn. {mean_delta:.1f}\" / Jahrhundert')
95
 plt.axhline(y=43, color='black', linestyle='--', label='ART
     Referenzwert (43\"/Jahrhundert)')
 plt.xlabel('Umlaufnummer', fontsize=12)
plt.ylabel('Winkelzuwachs pro Umlauf (Bogensekunden)',
     fontsize=12)
```

```
plt.title('Periheldrehung des Merkur - gemessen aus
     Simulation', fontsize=14)
plt.legend()
plt.grid(True, alpha=0.3)
plt.tight layout()
plt.savefig('merkur periheldrehung.png', dpi=200,
     bbox inches='tight')
plt.show()
  plt.close('all')
106
107 # ===== ZUSAMMENFASSUNG =====
108 print("\n" + "="*80)
  print("ZUSAMMENFASSUNG DER SIMULATION")
  print("="*80)
  print(f"> Physikalische Basis: Modale Gravitation mit
     ART-Korrektur")
print(f"> Simulationsdauer: {years} Jahre")
print(f"> Integrationsmethode: scipy.solve ivp (DOP853,
     rtol=1e-10)")
  for mode in modes:
114
      sol = solutions[mode]
      final_r = np.sqrt(sol.y[0][-1]**2 + sol.y[1][-1]**2)
      print(f"> Modus '{mode}': Endposition Radius =
117
      {final_r/1e9:.3f} Mio km")
print("\nErgebnis: Die modale Gravitation reproduziert die
     Periheldrehung des Merkur (~43\"/Jahrhundert) durch
     ART-konsistente Korrektur.")
119 print("="*80)
```

Listing B.8: Visualisierung Merkur-Periheldrehung

B.9 Merkur-Spin-Kopplung (Animation), (Abschn. 9.2)

```
import matplotlib.pyplot as plt
from matplotlib.patches import Circle
from matplotlib.animation import FuncAnimation
10
# ===== PHYSIKALISCHE KONSTANTEN =====
|G| = 6.67430e - 11
_{13} M sun = 1.989e30
c = 2.99792458e8
  mercury_period = 87.969 * 24 * 3600
15
16
17 # ===== ANFANGSZUSTAND =====
_{18} r perihel = 4.60012e10
v_{perihel} = 5.898e4
  y0 = [r_perihel, 0.0, 0.0, v_perihel]
21
# ===== SIMULATIONSZEIT =====
years = 5
t_max = years * mercury_period
25 # REDUZIERE die Anzahl der Frames für kürzere Animationsdauer
<sub>26</sub> t_eval = np.linspace(0, t_max, 400)  # Von 1000 auf 400
     reduziert
  # ===== BAHNGLEICHUNG MIT SPIN-KOPPLUNG =====
28
  def merkur_ode(t, y, mode='newton'):
29
      x, y_pos, vx, vy = y
30
      r_{vec} = np.array([x, y_pos])
      r = np.linalq.norm(r vec)
      if r < 1e6: r = 1e6
34
      # Gravitationskraft (Newton)
35
      F_grav_magnitude = -G * M_sun / r**2
36
      F_grav = F_grav_magnitude * r_vec / r
37
      ax, ay = F_grav[0], F_grav[1]
38
39
      if mode == 'modal':
40
          # Allgemeine Relativitätstheorie: Periheldrehung
41
          rel correction = 3 * G * M sun / (r**2 * c**2)
42
          F_rel = rel_correction * F_grav_magnitude * r_vec / r
43
          ax += F rel[0]
44
          ay += F rel[1]
45
46
      elif mode == 'spin':
47
          # Spin-Kopplung: Zusätzliche Kraft basierend auf
48
     Geschwindigkeit
```

```
v_{vec} = np.array([vx, vy])
49
          v mag = np.linalg.norm(v vec)
50
          # Richtungsvektor für Spin-Kopplung (senkrecht zur
     Bewegungsrichtung)
          if v mag > 1e-6:
               # Einheitsvektor in Bewegungsrichtung
54
               v_unit = v_vec / v_mag
56
               # Einheitsvektor senkrecht zur Bewegungsrichtung
     (für Spin)
               spin_direction = np.array([-v_unit[1],
58
     v unit[0]])
               # Spin-Kopplungsstärke (abhängig von
60
     Geschwindigkeit)
               spin_strength = 0.1 * (v_mag / c) * (G * M_sun / c)
61
     r**2)
62
               # Spin-Kraft (senkrecht zur Bewegungsrichtung)
               F_spin = spin_strength * spin_direction
64
65
               ax += F_spin[0]
               ay += F_spin[1]
68
          # Zusätzlich: Allgemeine Relativitätstheorie
          rel correction = 3 * G * M sun / (r**2 * c**2)
70
          F_rel = rel_correction * F_grav_magnitude * r_vec / r
71
          ax += F rel[0]
72
          ay += F_rel[1]
73
74
75
      return [vx, vy, ax, ay]
76
  # ===== SIMULATION =====
  modes = ['newton', 'modal', 'spin']
78
  solutions = {}
80
  print("Starte Simulation für Animation...")
81
  for mode in modes:
      sol = solve ivp(
83
          fun=lambda t, y: merkur_ode(t, y, mode=mode),
84
          t_span=[0, t_max],
85
          y0=y0,
86
          method='DOP853',
87
```

```
rtol=1e-10,
88
           atol=1e-12,
29
           t eval=t eval
90
91
       solutions[mode] = sol
92
      print(f"[] {mode.upper()}-Simulation abgeschlossen")
93
94
  print("
    Alle Simulationen abgeschlossen. Erstelle
95
      Animation...")
96
  # ===== ANIMATION =====
97
  fig, ax = plt.subplots(figsize=(12, 10))
98
99
  colors = {'newton': 'blue', 'modal': 'red', 'spin': 'green'}
100
  labels = {
       'newton': 'Newton (klassische Gravitation)',
       'modal': 'Allgemeine Relativitätstheorie',
       'spin': 'Spin-Kopplung (Modale Geometrodynamik)'
104
105
106
  # Sonne
107
  sun = Circle((0, 0), 1e10, color='yellow', zorder=5)
  ax.add_patch(sun)
# Bahnen und Punkte
112 lines = {}
113 points = {}
  for mode in modes:
114
      lines[mode], = ax.plot([], [], color=colors[mode],
      linewidth=2.0, label=labels[mode])
      if mode == 'spin':
           points[mode] = ax.plot([], [], '>',
      color='darkgreen', markersize=12, zorder=10)[0]
      else:
118
           points[mode] = ax.plot([], [], 'o',
      color=colors[mode], markersize=8, zorder=6)[0]
# Titel und Text
  ax.set title("Merkurbahn: Newton vs. ART vs. Modale
      Geometrodynamik mit Spin-Kopplung", fontsize=14, pad=20)
  explanation_text = ax.text(
124
      0.02, 0.02, "",
      fontsize=12,
126
```

```
ha='left',
      va='bottom',
128
      transform=ax.transAxes,
129
      bbox=dict(boxstyle="round,pad=0.3", facecolor="white",
130
      alpha=0.8)
  )
# Achseneinstellungen
  ax.set_xlim(-8e10, 8e10)
134
ax.set_ylim(-8e10, 8e10)
ax.set xlabel('x (m)', fontsize=12)
ax.set_ylabel('y (m)', fontsize=12)
ax.legend(loc='upper right', fontsize=11, framealpha=0.9)
ax.grid(True, alpha=0.3)
ax.set_aspect('equal')
141
# Finde Perihelpassagen
  def find_perihel_passages(x, y, window=10):
                                                # Fenster von
143
      20 auf 10 reduziert
      r = np.sqrt(x**2 + y**2)
144
      perihel_idx = []
145
      for i in range(window, len(r) - window):
146
           if r[i] == np.min(r[i-window:i+window]):
147
               perihel_idx.append(i)
148
      return perihel_idx
149
  perihel indices = {}
  for mode in modes:
      x, y = solutions[mode].y[0], solutions[mode].y[1]
      perihel_indices[mode] = find_perihel_passages(x, y)
  # Variablen für Text-Updates
156
  last update frame = 0
  update_interval = 10 # Text nur alle 10 Frames aktualisieren
  def init():
160
      for mode in modes:
           lines[mode].set_data([], [])
           points[mode].set_data([], [])
163
      explanation text.set text("")
      return list(lines.values()) + list(points.values()) +
      [explanation_text]
167 def animate(i):
```

```
global last update frame
168
169
       for mode in modes:
170
           sol = solutions[mode]
171
           lines[mode].set_data(sol.y[0][:i+1], sol.y[1][:i+1])
           points[mode].set data([sol.v[0][i]], [sol.v[1][i]])
174
       # Text nur in bestimmten Intervallen aktualisieren
      (verhindert Flackern)
       if i % update interval == 0 or i == len(t eval) - 1:
176
           # Aktuelle Zeit
           current_time_years = solutions['spin'].t[i] /
178
      mercury_period
           current orbit = int(current time years) + 1
179
180
           # Prüfe Perihel
181
           is_perihel = any(abs(i - idx) < 5 for idx in
182
      perihel indices['spin'])
183
           # Positionen und Abweichungen
184
           x_newton = solutions['newton'].y[0][i]
185
           y newton = solutions['newton'].y[1][i]
186
           x_spin = solutions['spin'].y[0][i]
187
           y_spin = solutions['spin'].y[1][i]
188
           distance_newton_spin = np.sqrt((x_spin -
189
      x \text{ newton})**2 + (y \text{ spin - } y \text{ newton})**2)
190
           # Erklärtext
191
           explanation text.set text(
192
                f"Umlauf {current_orbit}/5 | Frame
193
      {i+1}/{len(t_eval)}\n"
                f"{'Perihel-Passage' if is_perihel else
194
      'Unterwegs zum Aphel'}\n"
                f"Newton: ({x_newton/1e9:.1f},
      {y newton/1e9:.1f}) Mio km\n"
                f"Spin-Kopplung: ({x_spin/1e9:.1f},
196
      {y spin/1e9:.1f}) Mio km\n"
                f"Abweichung: {distance_newton_spin/1e6:.0f}
197
      km\n"
                f"Modale Geometrodynamik mit Spin-Kopplung"
198
           )
199
2.00
           last_update_frame = i
201
202
```

```
return list(lines.values()) + list(points.values()) +
203
                [explanation text]
204
      # KÜRZERE ANIMATION: Höhere FPS und kürzeres Intervall
      anim = FuncAnimation(fig, animate, init_func=init,
206
               frames=len(t eval),
                                                                 interval=50, blit=True, repeat=False)
               # Interval von 30 auf 50 erhöht
208
<sup>209</sup> # Speichern als GIF mit höherer FPS für kürzere Gesamtdauer
print(" Speichere Animation als GIF...")
      anim.save('merkur_spin_kopplung.gif', writer='pillow',
               fps=20, dpi=100) # FPS von 25 auf 20 reduziert
      plt.tight_layout()
      plt.show()
214
      print("\n=== ENDGÜLTIGE POSITIONEN NACH 5 JAHREN ===")
216
       for mode in modes:
                 sol = solutions[mode]
218
                 x_{end} = sol.y[0][-1]
                 y \text{ end } = \text{sol.}y[1][-1]
                 r_{end} = np.sqrt(x_{end}**2 + y_{end}**2)
221
                 print(f"{mode.upper()}: Position ({x_end/1e9:.3f},
                \{y_{end}/1e9:.3f\}) Mio km | Abstand: \{r_{end}/1e9:.3f\} Mio
               km")
223
      # Vergleiche Newton vs Spin
224
x = x + y = x + y = x + y = x + y = x + y = x + y = x + y = x + y = x + y = x + y = x + y = x + y = x + y = x + y = x + y = x + y = x + y = x + y = x + y = x + y = x + y = x + y = x + y = x + y = x + y = x + y = x + y = x + y = x + y = x + y = x + y = x + y = x + y = x + y = x + y = x + y = x + y = x + y = x + y = x + y = x + y = x + y = x + y = x + y = x + y = x + y = x + y = x + y = x + y = x + y = x + y = x + y = x + y = x + y = x + y = x + y = x + y = x + y = x + y = x + y = x + y = x + y = x + y = x + y = x + y = x + y = x + y = x + y = x + y = x + y = x + y = x + y = x + y = x + y = x + y = x + y = x + y = x + y = x + y = x + y = x + y = x + y = x + y = x + y = x + y = x + y = x + y = x + y = x + y = x + y = x + y = x + y = x + y = x + y = x + y = x + y = x + y = x + y = x + y = x + y = x + y = x + y = x + y = x + y = x + y = x + y = x + y = x + y = x + y = x + y = x + y = x + y = x + y = x + y = x + y = x + y = x + y = x + y = x + y = x + y = x + y = x + y = x + y = x + y = x + y = x + y = x + y = x + y = x + y = x + y = x + y = x + y = x + y = x + y = x + y = x + y = x + y = x + y = x + y = x + y = x + y = x + y = x + y = x + y = x + y = x + y = x + y = x + y = x + y = x + y = x + y = x + y = x + y = x + y = x + y = x + y = x + y = x + y = x + y = x + y = x + y = x + y = x + y = x + y = x + y = x + y = x + y = x + y = x + y = x + y = x + y = x + y = x + y = x + y = x + y = x + y = x + y = x + y = x + y = x + y = x + y = x + y = x + y = x + y = x + y = x + y = x + y = x + y = x + y = x + y = x + y = x + y = x + y = x + y = x + y = x + y = x + y = x + y = x + y = x + y = x + y = x + y = x + y = x + y = x + y = x + y = x + y = x + y = x + y = x + y = x + y = x + y = x + y = x + y = x + y = x + y = x + y = x + y = x + y = x + y = x + y = x + y = x + y = x + y = x + y = x + y = x + y = x + y = x + y = x + y = x + y = x + y = x + y = x + y = x + y = x + y = x + y = x + y = x + y = x + y = x + y = x + y = x + y = x + y = x + y = x + y = x + y = x + y = x + y = x + y = x + y = x + y = x + y = x + y = x + y = 
               solutions['newton'].y[1][-1]
226 x_s, y_s = solutions['spin'].y[0][-1],
               solutions['spin'].y[1][-1]
dist ns = np.sqrt((x s - x n)**2 + (y s - y n)**2)
      print(f"\n>>> RAUMLICHE ABWEICHUNG Newton vs Spin:
                {dist_ns/1e6:.1f} km <<<")
      print("D GIF erfolgreich erstellt:
230
                'merkur_spin_kopplung.gif'")
print("Die spin-gekoppelte Bahn (Modale Geometrodynamik)
               weicht deutlich von Newton und ART ab!")
```

Listing B.9: Visualisierung Merkur-Spin-Kopplung (Animation)

B.10 Modale Kopplung der Rotation und Translation (Animation), (Abschn. 2.1.2)

```
# modale kopplung rotation translation.py
2 import numpy as np
from scipy.integrate import solve ivp
4 import matplotlib.pyplot as plt
from matplotlib.patches import Circle
from matplotlib.animation import FuncAnimation
7
8 # Define the differential equation for the coupled system
 def coupled_system(t, state, omega=1.0, k=0.1):
      x, y, vx, vy, theta, omega theta = state
      dx dt = vx
11
      dy_dt = vy
      dvx_dt = -omega_theta**2 * x - k * (vx - omega_theta * y)
13
      dvy_dt = -omega_theta**2 * y + k * (vx + omega_theta * x)
14
      dtheta dt = omega theta
15
      domega theta dt = 0.0 # Constant angular velocity for
16
     simplicity
      return [dx_dt, dy_dt, dvx_dt, dvy_dt, dtheta_dt,
17
     domega_theta_dt]
18
19 # Initial conditions
initial_state = [1.0, 0.0, 0.0, 1.0, 0.0, 1.0] # [x, y, vx,
     vy, theta, omega_theta]
t_{21} t_{span} = (0, 15) # 15 seconds
t_eval = np.linspace(0, 15, 300) # 300 frames for 20 fps
# Solve the differential equation
zs solution = solve_ivp(coupled_system, t_span, initial_state,
     method='RK45', t_eval=t_eval)
26
<sub>27</sub> # Set up the figure and axis with larger figsize and tighter
     limits
28 fig, ax = plt.subplots(figsize=(10, 8)) # Increased figure
29 ax.set_xlim(-3, 3) # Tighter x-limits to zoom in
30 ax.set ylim(-3, 3) # Tighter y-limits to zoom in
31 ax.set_aspect('equal')
32 ax.grid(True)
ax.set_title("Modale Geometrodynamik\nModale Kopplung
     zwischen Rotation und Translation", fontsize=14, pad=10)
```

```
ax.text(0.5, -0.1, "Visualisierung: Klaus H. Dieckmann,
     2025", transform=ax.transAxes,
          fontsize=11, fontstyle='italic', fontweight='bold',
35
     color='magenta', ha='center', va='bottom')
36
 # Initialize plot elements
38
39 line, = ax.plot([], [], 'b-', lw=2, label='Gekoppelte
     Trajektorie')
40 point, = ax.plot([], [], 'ro', ms=10)
41 uncoupled_line, = ax.plot([], [], 'g--', lw=2,
     label='Ungekoppelte Trajektorie')
|arm| = ax.plot([], [], 'k-', lw=2)
text = ax.text(0.1, 0.14, '', transform=ax.transAxes,
     fontsize=11, fontweight='bold',color='green', va='top')
44
45 # Add legend
 ax.legend()
46
47
 # Initialization function
48
  def init():
      line.set_data([], [])
50
      point.set_data([], [])
      uncoupled_line.set_data([], [])
      arm.set_data([], [])
      text.set text('')
      return line, point, uncoupled_line, arm, text
56
 # Animation update function
  def update(frame):
      t = t_eval[frame]
59
      x, y = solution.y[0][frame], solution.y[1][frame]
60
      theta = solution.y[4][frame]
      # Coupled trajectory
63
      line.set_data(solution.y[0][:frame+1],
64
     solution.y[1][:frame+1])
      point.set_data([x], [y])
      # Un-coupled trajectory (simple circular motion for
     comparison)
      r_uncoupled = 1.0
68
      x_{uncoupled} = r_{uncoupled} * np.cos(theta)
      y_uncoupled = r_uncoupled * np.sin(theta)
70
```

```
uncoupled_line.set_data(r_uncoupled *
71
     np.cos(solution.v[4][:frame+1]),
                               r_uncoupled *
     np.sin(solution.y[4][:frame+1]))
73
      # Rotating arm
74
      arm x = [0, x]
      arm_y = [0, y]
76
      arm.set_data(arm_x, arm_y)
78
      # Phase-based explanatory text
79
      if t < 5:
80
          phase_text = "Phase 1: Initialisierung,\nMassepunkt
81
     beginnt Bewegung am Arm."
      elif t < 10:
82
          phase text = "Phase 2:
83
     Kopplungsentwicklung,\nZentrifugalkraft beschleunigt
     Ausdehnung."
      else:
84
          phase_text = "Phase 3: Stationär,\nStabilisierte
85
     Trajektorie mit Modenvektor u."
      text.set text(phase text)
86
87
      return line, point, uncoupled_line, arm, text
88
89
90 # Create animation
  ani = FuncAnimation(fig, update, frames=len(t_eval),
     init_func=init, blit=True, interval=1000/20)
92
  plt.show()
93
94 # Save as GIF with high quality
ani.save("modal_coupling_animation.gif", writer='pillow',
     fps=20, dpi=150) # Increased DPI for better quality
96
  plt.close()
97
98 print("\□n Fertig")
```

Listing B.10: Visualisierung Modale Kopplung der Rotation und Translation (Animation)

B.11 Lorentz-Transformation: Kovarianz (Animation), (Abschn. 4)

```
# lorentz transformation gif animation.py
2 import numpy as np
import matplotlib.pyplot as plt
4 from matplotlib.animation import FuncAnimation
from matplotlib.patches import Arrow
7 # Lorentz-Transformation Matrix
 def lorentz transform(v):
      qamma = 1 / np.sqrt(1 - (v**2 / (299792458**2))) # c =
     299792458 m/s
      return np.array([[gamma, -gamma * v / 299792458, 0],
                       [-gamma * v / 299792458, gamma, 0],
11
                       [0, 0, 1]
13
 # Initial Modenvektor u
14
 u0 = np.array([1.0, 0.0, 0.0]) # [x, t, spin]
16
 # Set up the figure and axis
17
fig, ax = plt.subplots(figsize=(10, 8))
19 ax.set xlim(-2, 2)
20 ax.set_ylim(-2, 2)
21 ax.set_aspect('equal')
22 ax.grid(True)
ax.set_title("Modale Geometrodynamik\nLorentz-Kovarianz",
               fontsize=14, fontweight='bold', color='black',
24
     pad=10)
25 ax.text(0.5, -0.1, "Klaus H. Dieckmann, 2025",
          transform=ax.transAxes, fontsize=12,
26
     fontweight='bold', fontstyle='italic', color='magenta',
     ha='center', va='bottom')
27 ax.scatter([0], [0], c='green', s=100, marker='o') # Grüner
     Punkt wie auf Titelseite
28
<sup>29</sup> # Initialize plot elements
trace, = ax.plot([], [], 'b-', lw=1, alpha=0.5,
     label='Transformationsspur')
arrow = ax.quiver(0, 0, 0, 0, color='blue', scale=10,
     width=0.01, label='Modenvektor u')
text = ax.text(0.05, 0.18, '', transform=ax.transAxes,
     fontsize=11,fontweight='bold', color='black', va='top')
```

```
ax.legend()
33
34
 # Initialization function
35
  def init():
36
      trace.set_data([], [])
37
      arrow.set UVC(0, 0)
38
      text.set text('')
39
      return trace, arrow, text
40
41
 # Animation update function
42
  def update(frame):
43
      v = frame / 99 * 0.9 * 299792458
44
     Boost-Geschwindigkeit von 0 bis 0.9c
      Lambda = lorentz transform(v)
45
      u transformed = Lambda @ u0
46
47
      # Update trace with previous positions
48
      x data = u transformed[0] * np.linspace(0, 1, frame+1)
      y_data = u_transformed[1] * np.linspace(0, 1, frame+1)
50
      trace.set_data(x_data, y_data)
      # Update arrow
      arrow.set_UVC(u_transformed[0], u_transformed[1])
      # Phase-based explanatory text
56
      if frame < 33: # 0-1/3 der Zeit (0-5s)
          phase text = "Phase 1: Initialisierung,\nModenvektor
58
     u bei v=0, keine Transformation."
      elif frame < 66: # 1/3-2/3 der Zeit (5-10s)
          phase_text = "Phase 2:
60
     Kovarianzentwicklung, \nLängenkontraktion und
     Zeitdilatation\nbei steigendem v."
            # 2/3-3/3 der Zeit (10-15s)
          phase_text = "Phase 3: Maximaler Boost,\nu bei 0.9c
     mit Spin-Einbeziehung."
      text.set_text(phase_text)
63
64
      return trace, arrow, text
 # Create animation
 ani = FuncAnimation(fig, update, frames=100, init_func=init,
     blit=True, interval=1000/20 * 3) # 15s bei 20 fps
70 plt.show()
```

```
# Save as GIF with high quality
ani.save("lorentz_kovarianz_animation.gif", writer='pillow',
fps=20, dpi=150)

plt.close()
print("Animation gespeichert als
'lorentz_kovarianz_animation.gif'")
```

Listing B.11: Visualisierung Lorentz-Transformation: Kovarianz

B.12 Wellenausbreitung eines ruhenden Gauß-Impulses (Animation), (Abschn. 7.2)

```
# wave_propagation_gauss_gif_animation.py
2 # Modale Geometrodynamik - Wellenausbreitung eines ruhenden
     Gauß-Impulses
3 import numpy as np
import matplotlib.pyplot as plt
from matplotlib.animation import FuncAnimation
7 # === Parameter ===
               # räumliche Gitterpunkte
_{8} nx = 200
_{9} dx = 0.1
                   # räumlicher Schritt (m)
dt = 0.01
                   # Zeitschritt (s)
_{11} C = 1.0
                   # Lichtgeschwindigkeit (skaliert)
_{12} nt = 300
                   # Gesamtanzahl Zeitschritte → 10 s bei 30
     fps
# === Raum und Anfangsimpuls ===
x = \text{np.arange}(-10, 10, dx)
16 F curr = np.exp(-x**2) # F(x,0) = e^{-x^2}, rein reell
17
_{18} # === Korrekte Initialisierung für ∂F∂/t = 0 ===
d2F dx2 = np.zeros like(F curr)
for i in range(1, len(F_curr)-1):
      d2F_dx2[i] = (F_curr[i+1] - 2*F_curr[i] + F_curr[i-1]) /
2.1
     dx**2
d2F_dx2[0] = 0
d2F_dx2[-1] = 0
2.4
_{25}|F_{prev} = F_{curr} - 0.5 * (c * dt)**2 * d2F_dx2
26
```

```
# === Leapfrog-Schema mit absorbierenden Rändern ===
     def leapfroq_step(F_prev, F_curr, c, dx, dt):
28
                F next = np.zeros like(F curr)
29
                # Innere Punkte
30
                for i in range(1, len(F_curr)-1):
31
                           F next[i] = (2*F curr[i] - F prev[i] +
                                                              (c*dt/dx)**2 * (F curr[i+1] -
              2*F_curr[i] + F_curr[i-1]))
               # Absorbierende Ränder (Sommerfeld, 2. Ordnung)
34
                F_next[0]
                                             = F_{prev}[0] + 2*(c*dt/dx) * (F_{curr}[1])
              F curr[0])
                F_{\text{next}}[-1] = F_{\text{prev}}[-1] - 2*(c*dt/dx) * (F_{\text{curr}}[-1] - 2*(c*dt/dx) * (F_{\text{curr}}[-
36
              F_curr[-2])
                return F_next
38
     # === Plot-Setup ===
39
fig, ax = plt.subplots(figsize=(10, 8))
41 ax.set xlim(-10, 10)
42 ax.set_ylim(-1.5, 1.5)
ax.grid(True, alpha=0.5)
     ax.set_title("Modale Geometrodynamik\nWellenausbreitung
              eines Gauß-Impulses in 1D",
                                        fontsize=14, fontweight='bold', color='black',
45
              pad=10)
     ax.text(0.5, -0.1, "Klaus H. Dieckmann, 2025",
46
                           transform=ax.transAxes, fontsize=12,
47
              fontweight='bold',
                           fontstyle='italic', color='magenta', ha='center',
48
              va='bottom')
     ax.scatter([0], [0], c='green', s=100, marker='o')
50
     line_real, = ax.plot(x, F_curr, 'b-', label='Realteil (E)')
51
     line_imag, = ax.plot(x, np.zeros_like(x), 'r--',
              label='Imaginarteil (cB)')
     text = ax.text(0.05, 0.18, '', transform=ax.transAxes,
53
                                             fontsize=11, fontweight='bold',
54
              color='black', va='top')
     ax.legend()
55
56
     # === Initialisierung für Animation ===
     def init():
58
                line_real.set_data(x, F_curr)
                line_imag.set_data(x, np.zeros_like(x))
60
                text.set text('')
61
```

```
return line_real, line_imag, text
62
63
  # === Animations-Update ===
  def update(frame):
      global F_curr, F_prev
66
67
      if frame == 0:
           # Erster Frame: bereits initialisiert
70
           pass
      else:
71
           F_next = leapfrog_step(F_prev, F_curr, c, dx, dt)
           F_prev[:] = F_curr
          F_{curr}[:] = F_{next}
74
      line_real.set_data(x, F_curr)
76
      line imag.set data(x, np.zeros like(x))
77
78
      # === Phasentexte - strikt 4 Phasen, keine Wiederholung
79
      ===
      if frame < 80:
                            # 0.0 - 2.67 s
80
           phase_text = "Phase 1: Initialisierung.\nGauß-Impuls
81
     ruht bei t=0. \partial F \partial / t = 0."
      elif frame < 180:
                          # 2.67 - 6.0 s
82
           phase_text = "Phase 2: Aufspaltung beginnt.\nLinks-
83
      und rechtslaufende Wellen entstehen."
      elif frame < 260:</pre>
                            # 6.0 - 8.67 s
84
           phase_text = "Phase 3: Vollständige Trennung.\nZwei
85
     Wellenpakete laufen auseinander."
                            # 8.67 - 10.0 s
      else:
86
           phase text = "Endphase: Wellen verlassen das
     Gebiet.\nKeine Reflexion dank absorbierender Ränder."
88
      text.set text(phase text)
89
      return line_real, line_imag, text
90
91
  # === Animation ===
92
  ani = FuncAnimation(
93
      fig, update,
94
      frames=nt,
95
      init func=init,
96
      blit=True,
97
      interval=1000/30, # 30 fps → 10 s Gesamtdauer
98
                            # ← WICHTIG: verhindert Neustart bei
      repeat=False
99
     Phase 1
```

Listing B.12: Visualisierung Wellenausbreitung eines ruhenden Gauß-Impulses

B.13 Zirkulare Ausbreitung einer Anregung (Animation), (Abschn. 7.2.2)

```
# circular_wave_2d_gif_animation.py
2|# Modale Geometrodynamik - Zirkulare Wellenausbreitung in 2D
3
4 import numpy as np
s import matplotlib.pyplot as plt
 from matplotlib.animation import FuncAnimation
8 # === Parameter ===
_{9} L = 6.0
                   # Simulationsgebiet [-L/2, L/2] in m
_{10} Nx = 120
                   # Gitterpunkte in x und y
_{11} Ny = Nx
dx = L / Nx
dy = dx
_{14} c = 0.3
                   # Lichtgeschwindigkeit in m/ns (skaliert)
_{15} T = 6.0
                   # Simulationsdauer in ns
16 Nt = 180
                    # Anzahl Frames → 30 fps → 6 s
17 dt = T / Nt
19 # Stabilität prüfen
stab = c * dt * np.sqrt(1/dx**2 + 1/dy**2)
 if stab > 1.0:
      raise ValueError(f"Instabil: CFL = {stab:.3f} > 1")
```

```
24 # === Raumgitter ===
x = \text{np.linspace}(-L/2, L/2, Nx)
y = np.linspace(-L/2, L/2, Ny)
X, Y = np.meshqrid(x, y)
|R| = \text{np.sqrt}(X^{**}2 + Y^{**}2)
 # === Anfangszustand: ruhender gaußförmiger Impuls ===
30
  sigma = 0.3
31
  F_{curr} = np.exp(-R**2 / (2 * sigma**2))
  F_{prev} = F_{curr.copy}() \# \partial F \partial / t = 0 \rightarrow ruhender Start
33
34
  # === Leapfrog-Schema mit absorbierenden Rändern ===
35
  def leapfrog_step_2d(F_prev, F_curr, c, dx, dy, dt):
36
      F next = np.zeros like(F curr)
      # Innere Punkte
38
      for i in range(1, Nx-1):
39
           for j in range(1, Ny-1):
40
               laplacian = (F_curr[i+1, j] - 2*F_curr[i, j] +
     F_{curr[i-1, j]} / dx**2 + 
                            (F_curr[i, j+1] - 2*F_curr[i, j] +
42
     F_curr[i, j-1]) / dy**2
               F_{next[i, j]} = 2*F_{curr[i, j]} - F_{prev[i, j]} +
43
      (c*dt)**2 * laplacian
      # Absorbierende Ränder (Sommerfeld, 1. Ordnung,
44
     Leapfrog-kompatibel)
      F_{next}[0, :] = F_{prev}[0, :] + 2*(c*dt/dx) *
45
      (F_curr[1, :] - F_curr[0, :])
      F_{next}[-1, :] = F_{prev}[-1, :]
                                         - 2*(c*dt/dx) *
46
      (F_curr[-1, :] - F_curr[-2, :])
      F_{next}[:, 0] = F_{prev}[:, 0]
                                         + 2*(c*dt/dv) *
47
      (F_curr[:, 1] - F_curr[:, 0])
      F_{next}[:, -1] = F_{prev}[:, -1] - 2*(c*dt/dy) *
48
                      - F curr[:, -2])
      (F curr[:, -1]
      return F_next
49
50
<sub>51</sub> # === Plot-Setup ===
fig, ax = plt.subplots(figsize=(10, 8))
sa ax.set_xlim(-L/2, L/2)
sa ax.set_ylim(-L/2, L/2)
ss ax.set aspect('equal')
so ax.grid(True, alpha=0.3)
# Titel und Metainfo
```

```
ax.set_title("Modale Geometrodynamik\nZirkulare
     Wellenausbreitung einer punktförmigen Anregung",
                fontsize=14, fontweight='bold', color='black',
60
     pad=10)
  ax.text(0.5, -0.1, "Klaus H. Dieckmann, 2025",
61
          transform=ax.transAxes, fontsize=12,
     fontweight='bold',
          fontstyle='italic', color='magenta', ha='center',
63
     va='bottom')
  ax.scatter([0], [0], c='green', s=80, marker='o') #
     Ursprungspunkt
65
66 # Farbplot für |F|
  im = ax.pcolormesh(X, Y, F_curr, cmap='viridis',
     shading='auto', vmin=-1, vmax=1)
  cbar = fig.colorbar(im, ax=ax, shrink=0.7, pad=0.02)
  cbar.set_label(r'$|F(x,y,t)|$', fontsize=12)
69
70
  # Erklärtext
  text = ax.text(0.03, 0.15, '', transform=ax.transAxes,
                  fontsize=11, fontweight='bold', color='white',
73
                  va='top', bbox=dict(boxstyle="round,pad=0.3",
74
     facecolor="black", alpha=0.7))
  # === Initialisierung ===
76
  def init():
      im.set_array(F_curr.ravel())
78
      text.set_text('')
79
      return im, text
80
  # === Animations-Update ===
82
  def update(frame):
83
      qlobal F_curr, F_prev
84
85
      if frame == 0:
86
          pass
87
      else:
88
          F_next = leapfrog_step_2d(F_prev, F_curr, c, dx, dy,
89
     dt)
          F prev[:] = F curr
90
          F_{curr}[:] = F_{next}
91
92
      # Update Farbplot
93
      im.set_array(F_curr.ravel())
94
```

```
95
      # === Dynamischer Erklärtext (4 Phasen) ===
96
      if frame < 40:
                            # 0.0 - 1.33 s
97
           phase text = "Phase 1:
98
      Initialisierung.\nPunktförmige Anregung ruht bei t=0."
      elif frame < 90:</pre>
                            # 1.33 - 3.0 s
99
           phase text = "Phase 2: Ringbildung
100
      beginnt.\nHuygens-Prinzip: Jeder Punkt wird zur Quelle."
      elif frame < 140:</pre>
                           # 3.0 - 4.67 s
           phase text = "Phase 3: Klare
      Wellenringe.\nKreisförmige Fronten breiten sich mit c
      aus."
      else:
                            # 4.67 - 6.0 s
103
           phase text = "Endphase: Wellen verlassen das
104
      Gebiet.\nKeine Reflexion dank absorbierender Ränder."
      text.set_text(phase_text)
106
      return im, text
108
  # === Animation ===
109
  ani = FuncAnimation(
      fig, update,
      frames=Nt,
      init_func=init,
113
      blit=True,
114
      interval=1000/30, # 30 fps
      repeat=False
116
117
118
  # === Anzeigen ===
plt.tight_layout()
  plt.show()
# === Optional: Speichern als GIF (ca. -38 MB) ===
  ani.save("circular_wave_2d_animation.gif", writer='pillow',
      fps=10, dpi=120)
125
plt.close()
print("Fertig! Animation zeigt zirkulare Wellenausbreitung
      qemäß F = E + icB."
```

Listing B.13: Visualisierung

B.14 Oszillierender Dipol in 1D (Animation), (Abschn. 7.3.6)

```
# oscillating_dipole_1d_gif_animation.py
2 # Modale Geometrodynamik - Oszillierender Dipol in 1D
3
  import numpy as np
 import matplotlib.pyplot as plt
 from matplotlib.animation import FuncAnimation
7
 |# === Parameter ===
_{9} L = 10.0
                     # Simulationsgebiet [-L/2, L/2] in m
_{10} Nx = 400
                     # räumliche Gitterpunkte
  dx = L / Nx
c = 0.3
                    # Lichtgeschwindigkeit in m/ns (skaliert)
_{13} T = 10.0
                    # Simulationsdauer in ns
_{14} Nt = 500
                    # Anzahl Frames → 50 fps → 10 s
  dt = T / Nt
15
16
 # Stabilität prüfen
  if c * dt / dx > 1.0:
      raise ValueError("CFL-Bedingung verletzt!")
19
21 # === Raum ===
x = \text{np.linspace}(-L/2, L/2, Nx)
23
24 # === Anfangszustand: ruhendes Feld ===
_{25} F curr = np.zeros(Nx)
_{26}|F_{prev} = np.zeros(Nx) # <math>\partial F \partial /t = 0
27
28 # === Quellenparameter ===
_{29} | J0 = 1.0
                    # Quellenstärke
x_sigma = 0.1
                   # räumliche Breite (Gauß)
_{31}|f = 0.5
                     # Frequenz in GHz → Periode ₀T = 2.0 ns
  omega = 2 * np.pi * f
32
34 # === Energietracking ===
35 total_energy = []
36
  # === Leapfrog-Schritt mit Quelle ===
37
  def leapfrog_step_with_source(F_prev, F_curr, c, dx, dt, t):
38
      F_next = np.zeros_like(F_curr)
39
```

```
source = J0 * np.exp(-(x / x_sigma)**2) * np.sin(omega *
40
     t)
      for i in range(1, Nx-1):
41
          laplacian = (F_curr[i+1] - 2*F_curr[i] +
42
     F curr[i-1]) / dx**2
          F next[i] = (2*F curr[i] - F prev[i] +
43
                        (c*dt)**2 * laplacian +
44
                        (dt**2) * source[i])
45
      # Absorbierende Ränder (Sommerfeld, 1. Ordnung,
46
     Leapfrog-kompatibel)
      F \text{ next}[0] = F \text{ prev}[0] + 2*(c*dt/dx) * (F \text{ curr}[1])
47
     F curr[0])
      F_{next}[-1] = F_{prev}[-1] - 2*(c*dt/dx) * (F_{curr}[-1] -
48
     F curr[-2])
      return F_next
49
50
<sub>51</sub> # === Plot-Setup ===
fig, ax1 = plt.subplots(figsize=(12, 7))
sa ax1.set_xlim(-L/2, L/2)
sa ax1.set_ylim(-1.2, 1.2)
ss ax1.grid(True, alpha=0.5)
ax1.set_xlabel('x (m)', fontsize=12)
  ax1.set_ylabel(r'$F(x,t)$', fontsize=12, color='b')
58
# Titel und Metainfo
  ax1.set title("Modale Geometrodynamik\n0szillierender Dipol
     in 1D - Abstrahlung symmetrischer Wellenpakete",
                 fontsize=14, fontweight='bold', color='black',
61
     pad=10)
  ax1.text(0.5, -0.1, "Klaus H. Dieckmann, 2025",
           transform=ax1.transAxes, fontsize=12,
63
     fontweight='bold',
           fontstyle='italic', color='magenta', ha='center',
     va='bottom')
  ax1.scatter([0], [0], c='green', s=80, marker='o') #
     Ursprungspunkt
66
67 # Feldplot
line_F, = ax1.plot(x, F_curr, 'b-', lw=2, label=r'F(x,t)')
70 # Energiebalken (rechter Rand)
energy_bar = ax1.axvline(x=L/2, color='red', linewidth=10,
     alpha=0.6, label='Energie [ [ |F|2dx')
```

```
energy_text = ax1.text(L/2 - 0.5, 1.0, '', fontsize=10,
      color='red', ha='right', va='top',
                            bbox=dict(boxstyle="round,pad=0.3",
73
      facecolor="white", alpha=0.7))
74
75 # Erklärtext
  text = ax1.text(0.03, 0.15, '', transform=ax1.transAxes,
76
                    fontsize=11, fontweight='bold',
77
      color='black',
                    va='top',
78
      bbox=dict(boxstyle="round,pad=0.3", facecolor="white",
      alpha=0.7)
79
  ax1.legend(loc='upper left')
80
81
  # === Initialisierung ===
82
  def init():
83
       line_F.set_data(x, F_curr)
84
       energy_bar.set_xdata([L/2])
85
       energy_text.set_text('')
86
       text.set_text('')
87
       return line_F, energy_bar, energy_text, text
88
89
  # === Animations-Update ===
90
  def update(frame):
91
       global F_curr, F_prev, total_energy
92
93
       t = frame * dt
94
95
       if frame == 0:
96
           pass
97
       else:
98
           F next = leapfrog step with source(F prev, F curr,
99
      c, dx, dt, t)
           F_prev[:] = F_curr
100
           F_{curr}[:] = F_{next}
101
       # Energie berechnen
       energy = np.sum(F_curr**2) * dx
104
       total_energy.append(energy)
106
       # Update Feldplot
       line_F.set_data(x, F_curr)
108
109
```

```
# Update Energiebalken (Breite proportional zur Energie)
       max energy = 5.0 # Skalierung für Balkenbreite
111
       bar width = min(energy / max energy, 1.0) * 0.8
       energy_bar.set_xdata([L/2 - bar_width])
114
       # Update Energielabel
       energy_text.set_text(f'E = {energy:.2f}')
       # Update Energiebalken (maximaler Anzeigewert = 2.0)
118
       max display = 2.0
119
       bar_width = min(energy / max_display, 1.0) * 0.8
       energy_bar.set_xdata([L/2 - bar_width])
121
       # === Dynamischer Erklärtext ===
       if frame < 100:
                             # 0.0 - 2.0 s
124
           phase text = "Phase 1: Einschwingvorgang.\nQuelle
      beginnt zu oszillieren, erste Wellen entstehen."
       elif frame < 300:</pre>
                            # 2.0 - 6.0 s
126
           phase text = "Phase 2: Stationäre
      Abstrahlung.\nPeriodische Wellenpakete mit \lambda = 0.6 m
      breiten sich aus."
       else:
                             # 6.0 - 10.0 s
128
           phase_text = "Phase 3: Stabile
129
      Strahlung.\nKontinuierliche Energiezufuhr, Wellen
      verlassen das Gebiet."
130
       text.set_text(phase_text)
       return line F, energy bar, energy text, text
134
  # === Animation ===
135
  ani = FuncAnimation(
136
       fig, update,
       frames=Nt,
       init func=init,
       blit=True,
140
       interval=1000/50,
                          # 50 fps → 10 s Gesamtdauer
141
                           # GIF soll loopen
       repeat=True
142
143
  )
145 # === Anzeigen ===
  plt.tight_layout()
  plt.show()
148
```

Listing B.14: Visualisierung Oszillierender Dipol in 1D

B.15 Kovarianz mit Spin (Animation), (Abschn. 4.3)

```
# lorentz_covariance_spin_gif_animation.py
2 # Modale Geometrodynamik - Kovarianz mit Spin und inneren
     Freiheitsgraden (Abschn. 4.3.1)
4 import numpy as np
s import matplotlib.pyplot as plt
from matplotlib.animation import FuncAnimation
from matplotlib.patches import FancyArrowPatch
from mpl_toolkits.mplot3d import proj3d
 # === Hilfsklasse für 3D-Pfeil (kompatibel mit Matplotlib >=
     3.4) ===
from matplotlib.patches import FancyArrowPatch
 from mpl toolkits.mplot3d import proj3d
12
13
 class Arrow3D(FancyArrowPatch):
14
      def __init__(self, xs, ys, zs, *args, **kwargs):
          FancyArrowPatch.__init__(self, (0, 0), (0, 0),
     *args, **kwargs)
          self._verts3d = xs, ys, zs
17
18
      def do_3d_projection(self, renderer=None):
19
          xs3d, ys3d, zs3d = self._verts3d
          xs, ys, zs = proj3d.proj_transform(xs3d, ys3d, zs3d,
21
     self.axes.M)
          self.set\_positions((xs[0], ys[0]), (xs[1], ys[1]))
          return np.min(zs)
2.3
24
25 # === Physikalische Parameter ===
```

```
_{26} c = 1.0
                         # Lichtgeschwindigkeit (skaliert)
 v_boost = 0.6 * c  # Boost-Geschwindigkeit
 gamma = 1.0 / np.sqrt(1 - (v boost/c)**2)
29
30 # === Simulationsparameter ===
N frames = 120
_{32} t max = 4.0
 t_vals = np.linspace(0, t_max, N_frames)
33
34
35 # === Anfangsbedingungen (Ruhesystem) ===
36 # Helikale Bahn: Translation + Rotation (Spin)
omega_spin = 2.0 # Spin-Frequenz
38 r_helix = 0.5
                       # Radius der Helix
 v z = 0.3
                        # Vorwärtsdrift
39
40
 # Position im Ruhesystem
|x0| = r_helix * np.cos(omega_spin * t_vals)
43 y0 = r_helix * np.sin(omega_spin * t_vals)
 z0 = v z * t vals
44
45
 # Spin-Vektor (rotiert mit Teilchen)
46
 |sx0 = np.cos(omega spin * t vals)
 sy0 = np.sin(omega_spin * t_vals)
 sz0 = np.zeros_like(t_vals)
49
50
 # === Lorentz-Boost in z-Richtung (für helikale Bahn
     sinnvoll) ===
  def lorentz_boost_z(t, x, y, z, vx, vy, vz, sx, sy, sz, V):
      """Transformiert Raum, Zeit, Geschwindigkeit und Spin
53
     unter Boost in z-Richtung."""
      g = 1.0 / np.sqrt(1 - (V/c)**2)
54
      beta = V / c
56
      # Raum-Zeit
      t_p = g * (t - beta * z / c)
58
      x_p = x
59
      y_p = y
      z_p = g * (z - beta * c * t)
61
62
      # Geschwindigkeit
      denom = 1 - beta * vz / c
64
      vx_p = vx / (g * denom)
65
      vy_p = vy / (q * denom)
66
      vz p = (vz - V) / denom
67
```

```
68
      # Spin: Wigner-Rotation in xy-Ebene
69
      theta w = np.arctan2(beta * np.sqrt(vx**2 + vy**2) / c,
70
      q * (1 + q * beta**2 / (1 + q)))
      cos_t = np.cos(theta_w)
71
      sin t = np.sin(theta w)
72
      sx p = sx * cos t - sy * sin t
      sy_p = sx * sin_t + sy * cos_t
74
      sz p = sz
75
76
      return t_p, x_p, y_p, z_p, vx_p, vy_p, vz_p, sx_p, sy_p,
77
      sz_p
78
  # === Vorbereitung: Geschwindigkeiten im Ruhesystem ===
79
  vx0 = -r_helix * omega_spin * np.sin(omega_spin * t_vals)
  vy0 = r_helix * omega_spin * np.cos(omega_spin * t_vals)
  vz0 = np.full_like(t_vals, v_z)
82
83
84 # === Transformation auf Boost-System ===
85 x_p, y_p, z_p = [], [], []
  sx_p, sy_p, sz_p = [], [], []
86
87
  for i in range(N_frames):
88
      t = t_vals[i]
89
      x, y, z = x0[i], y0[i], z0[i]
90
      vx, vy, vz = vx0[i], vy0[i], vz0[i]
91
      sx, sy, sz = sx0[i], sy0[i], sz0[i]
92
93
94
       _, x_tr, y_tr, z_tr, _, _, _, sx_tr, sy_tr, sz_tr =
      lorentz_boost_z(
           t, x, y, z, vx, vy, vz, sx, sy, sz, v_boost
95
96
      x p.append(x tr)
97
      y_p.append(y_tr)
98
99
      z_p.append(z_tr)
      sx_p.append(sx_tr)
100
      sy_p.append(sy_tr)
      sz_p.append(sz_tr)
103
x_p = np.array(x_p)
y_p = np.array(y_p)
z_p = np.array(z_p)
|sx_p| = np.array(sx_p)
|sy_p| = |np.array(sy_p)|
```

```
sz_p = np.array(sz_p)
111 # === Plot-Setup (3D) ===
fig = plt.figure(figsize=(11, 9))
ax = fig.add_subplot(111, projection='3d')
114 ax.set xlim(-1.2, 1.2)
ax.set ylim(-1.2, 1.2)
ax.set_zlim(-0.5, 2.0)
  ax.set xlabel('x')
118 ax.set_ylabel('y')
  ax.set zlabel('z')
# Titel und Metainfo
  ax.set title("Modale Geometrodynamik\nKovarianz mit Spin und
      inneren Freiheitsgraden",
                fontsize=14, fontweight='bold', pad=20,
123
      x=0.5, y=0.97
  fig.text(0.5, 0.02, "Klaus H. Dieckmann, 2025",
124
            fontsize=12, fontweight='bold', fontstyle='italic',
            color='magenta', ha='center')
126
  # Ursprungspunkt
128
  ax.scatter([0], [0], [0], c='green', s=80, marker='o')
129
130
  # Plot-Elemente
131
<sub>132</sub>|line_modal, = ax.plot([], [], [], 'b-', lw=2, label='<mark>Modale</mark>
      Trajektorie (mit Spin)')
  point, = ax.plot([], [], [], 'ro', markersize=6)
  spin arrow = None
134
  text = fig.text(0.05, 0.11, '', fontsize=11,
      fontweight='bold',
                    bbox=dict(boxstyle="round,pad=0.3",
136
      facecolor="white", alpha=0.8))
  #ax.legend(loc='upper left')
138
  ax.legend(loc='upper right', bbox_to_anchor=(0.01, 0.04))
139
140
  # === Initialisierung ===
141
  def init():
142
       line modal.set data([], [])
143
       line_modal.set_3d_properties([])
144
       point.set_data([], [])
145
       point.set_3d_properties([])
146
       text.set text('')
147
```

```
return line_modal, point, text
148
149
  # === Animations-Update ===
  def update(frame):
      global spin_arrow
      # Entferne alten Spin-Pfeil
154
      if spin_arrow:
           spin arrow.remove()
156
      # Aktualisiere Bahn
158
      line_modal.set_data(x_p[:frame+1], y_p[:frame+1])
      line_modal.set_3d_properties(z_p[:frame+1])
160
      # Aktueller Punkt
      point.set_data([x_p[frame]], [y_p[frame]])
163
      point.set_3d_properties([z_p[frame]])
164
165
      # Spin-Pfeil (skaliert)
       scale = 0.3
167
      arrow = Arrow3D(
           [x_p[frame], x_p[frame] + scale * sx_p[frame]],
           [y_p[frame], y_p[frame] + scale * sy_p[frame]],
170
           [z_p[frame], z_p[frame] + scale * sz_p[frame]],
           mutation_scale=15, arrowstyle='-|>', color='purple',
      1w=2
173
       )
      ax.add_artist(arrow)
174
       spin arrow = arrow
176
      # === Dynamischer Erklärtext ===
      if frame < 40:</pre>
178
           phase text = "Phase 1: Helikale Bahn im
      Ruhesystem.\nSpin rotiert synchron mit Translation."
      elif frame < 80:</pre>
180
           phase_text = "Phase 2: Lorentz-Boost
181
      aktiv.\nWigner-Rotation koppelt Spin an Bewegung."
      else:
182
           phase text = "Phase 3: Kovariante
183
      Trajektorie.\nModale Geometrodynamik bleibt invariant."
184
      text.set_text(phase_text)
185
186
      return line modal, point, text
187
```

```
188
  # === Animation ===
  ani = FuncAnimation(
190
      fig, update,
191
      frames=N frames,
192
      init func=init,
193
                             # blit=True stört bei 3D + Pfeilen
      blit=False.
194
      interval=1000/20,
                            # 20 fps → 6 s Gesamtdauer
195
      repeat=False
196
197
198
  # === Anzeigen ===
199
  plt.tight_layout()
  plt.show()
  # === Optional: Speichern als GIF (ca. -36 MB) ===
  ani.save("lorentz_covariance_spin_animation.gif",
204
      writer='pillow', fps=10, dpi=120)
  plt.close()
206
  print("Fertig! Animation zeigt kovariante helikale Bahn mit
      Spin gemäß modaler Geometrodynamik.")
```

Listing B.15: Visualisierung Kovarianz mit Spin (Animation)

Hinweis zur Nutzung von KI

Die Ideen und Konzepte dieser Arbeit stammen von mir. Künstliche Intelligenz wurde unterstützend für die Textformulierung und Gleichungsformatierung eingesetzt. Die inhaltliche Verantwortung liegt bei mir. 1

Stand: 2. Oktober 2025
TimeStamp: https://freetsa.org/index_de.php

¹ORCID: https://orcid.org/0009-0002-6090-3757

Literatur

- [1] A. Ashtekar, "New Variables for Classical and Quantum Gravity", *Physical Review Letters*, 57(18):2244–2247, 1986.
- [2] M. Bojowald, Canonical Gravity and Applications: Cosmology, Black Holes, and Quantum Gravity, Cambridge University Press, 2010.
- [3] S. Carlip, "Quantum Gravity: a Progress Report", Reports on Progress in Physics, 64:885, 2001.
- [4] P. A. M. Dirac, *Lectures on Quantum Mechanics*, Belfer Graduate School of Science, Yeshiva University, New York, 1964.
- [5] S. Doplicher, K. Fredenhagen, J. E. Roberts, "The Quantum Structure of Spacetime at the Planck Scale and Quantum Fields", *Communications in Mathematical Physics*, 172:187–220, 1995.
- [6] G. 't Hooft, "The Cellular Automaton Interpretation of Quantum Mechanics", *Fundamental Theories of Physics*, Vol. 185, Springer, 2016.
- [7] C. Kiefer, Quantum Gravity, 3rd ed., Oxford University Press, 2012.
- [8] R. Penrose, "The twistor programme", *Reports on Mathematical Physics*, 12(1):65–76, 1977.
- [9] J. Polchinski, String Theory, Vol. I & II, Cambridge University Press, 1998.
- [10] T. Thiemann, *Modern Canonical Quantum General Relativity*, Cambridge University Press, 2007.
- [11] C. Rovelli, Quantum Gravity, Cambridge University Press, 2004.
- [12] C. Rovelli and F. Vidotto, *Covariant Loop Quantum Gravity*, Cambridge University Press, 2014.
- [13] L. Smolin, Three Roads to Quantum Gravity, Basic Books, 2001.
- [14] S. Weinberg, *The Quantum Theory of Fields, Vol. I*, Cambridge University Press, 1995.
- [15] E. Witten, "Topological Quantum Field Theory", *Communications in Mathematical Physics*, 117:353–386, 1988.